



REQUISITO  
Conhecer Estática

# Equilíbrio limite Segurança contra ELU

$$F = \text{Resistência}(R) / \text{Solicitação}(S)$$

$$\text{ruptura, ELU} \Rightarrow (R/S)_{\text{ELU}} = F_{\text{rup}} = 1$$



# Fator de segurança global

---

$$F = \text{Resist\^encia}(R) / \text{Solicita\~ao}(S)$$

$$\text{ruptura, ELU} \Rightarrow R/S = F_{rup} = 1$$

Procura-se, portanto, um  $F_{proj} > 1$ , redutor de resist\^encias ou multiplicador de a\~oes, que garanta **equil\^brio** com **seguran\~a**

$$\left(\frac{R}{S}\right)_{proj} = F_{proj} > 1 \quad \frac{R}{(S \times F_{proj})} < 1 \quad \text{ou} \quad \frac{R/F_{proj}}{S} < 1$$

Usualmente esse  $F_{proj}$  \u00e9 denominado simplesmente F, fator de seguran\~a



# Introdução

Terzaghi, K. (Theoretical Soil Mechanics, 1943)

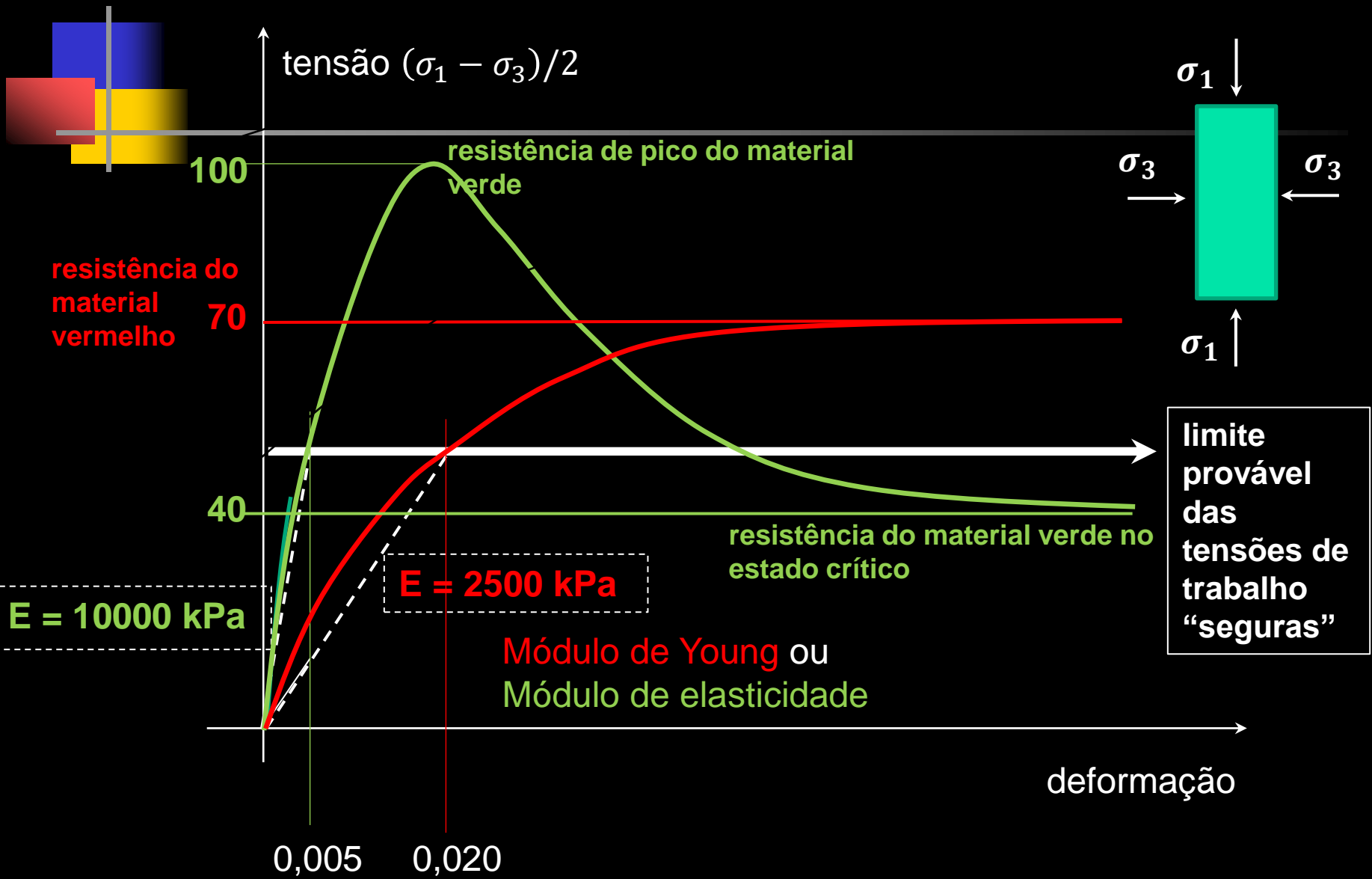
Os problemas de Engenharia Geotécnica:

- Problemas de **elasticidade**: modelo elástico linear (parâmetros de deformabilidade:  $E, \nu$ ) **ELS**
- Problemas de **estabilidade**: modelo rígido-plástico (parâmetros de resistência:  $c', \phi', s_u$ ) **ELU**
- Água (e seu fluxo)
  - Permanente – Laplace
  - Transiente
    - Adensamento
      - + **elasticidade** => compressibilidade ( $C_r, p_a, C_c, c_v$ )
      - + **estabilidade** => resistência não drenada (parâmetro de resistência:  $s_u$ )
    - Fluxo saturado-não saturado (sucção)

# Filmes de rupturas (ELU)

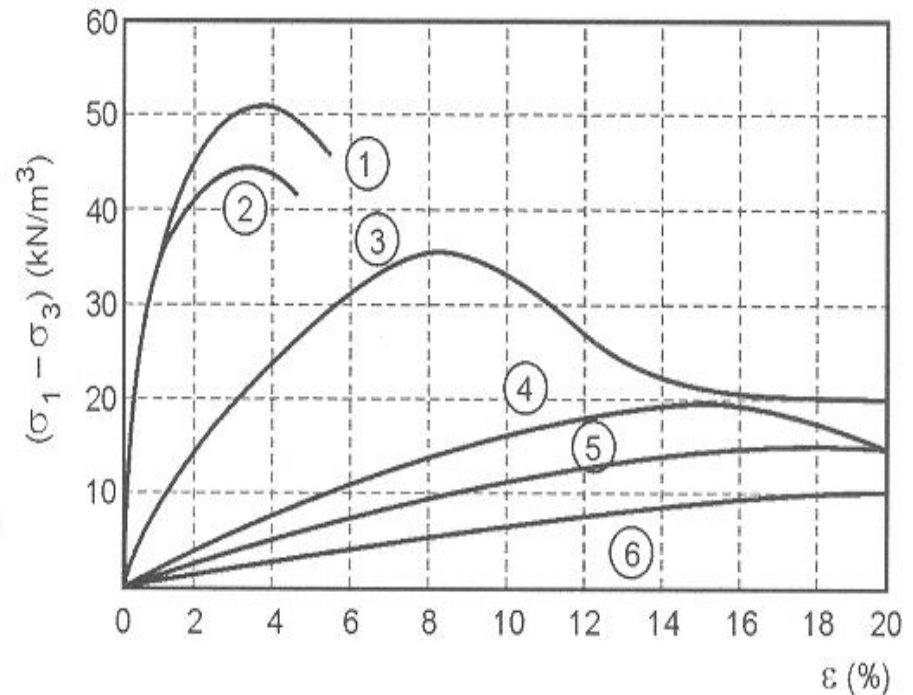
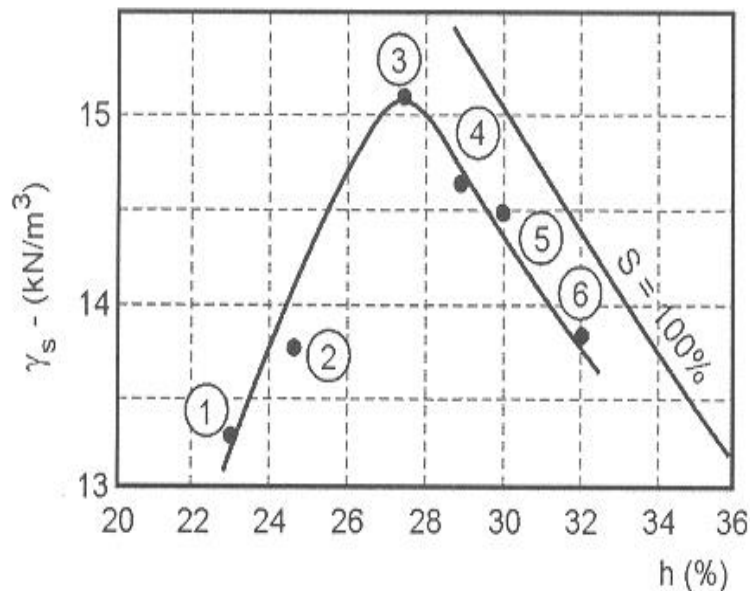
- [http://www.youtube.com/watch?v=aPpKd49MknA&playnext=1&list=PL0DCA5ABF8AEB8AA2&feature=results\\_main](http://www.youtube.com/watch?v=aPpKd49MknA&playnext=1&list=PL0DCA5ABF8AEB8AA2&feature=results_main)
- [http://www.youtube.com/watch?v=sQo\\_sVlsSBA](http://www.youtube.com/watch?v=sQo_sVlsSBA)
- [http://www.youtube.com/watch?v=Ny94aGWOPw&feature=fv\\_wrel](http://www.youtube.com/watch?v=Ny94aGWOPw&feature=fv_wrel)
- <https://www.youtube.com/watch?v=XRc6pikwKZo>
- <http://www.youtube.com/watch?v=mknStAMia0Q>
- <https://www.youtube.com/watch?v=wN3R5yIi7fc>
- <https://www.youtube.com/watch?v=IM6B2p47k2Q>
- [https://www.reddit.com/r/CatastrophicFailure/comments/byyfs\\_/cracked\\_road\\_collapses\\_into\\_a\\_construction\\_site/](https://www.reddit.com/r/CatastrophicFailure/comments/byyfs_/cracked_road_collapses_into_a_construction_site/)
- <https://youtu.be/XLoWG70JpMo>

# Resistência (e deformabilidade)



# Resistência = f(compactação)

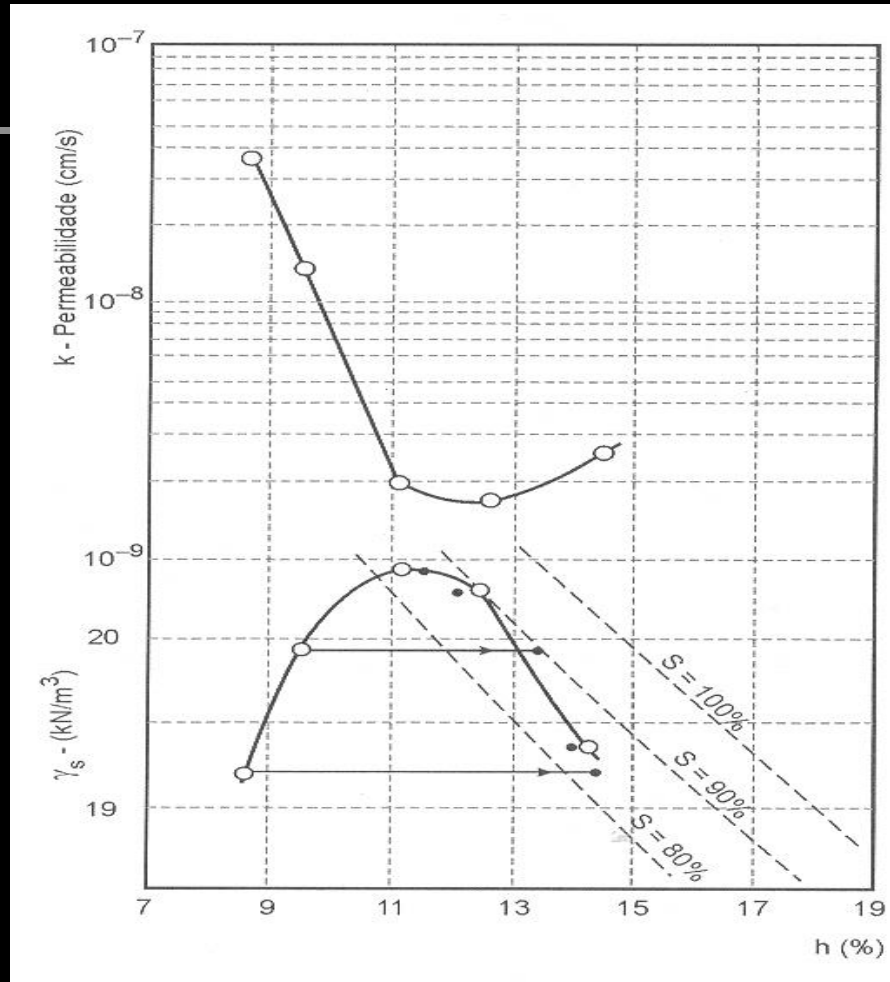
## Deformabilidade = f(compactação)



**FIGURA 6.9**

Material compactado diferentemente em diversas zonas da barragem propicia diferentes propriedades mecânicas para atender aos requisitos de projeto

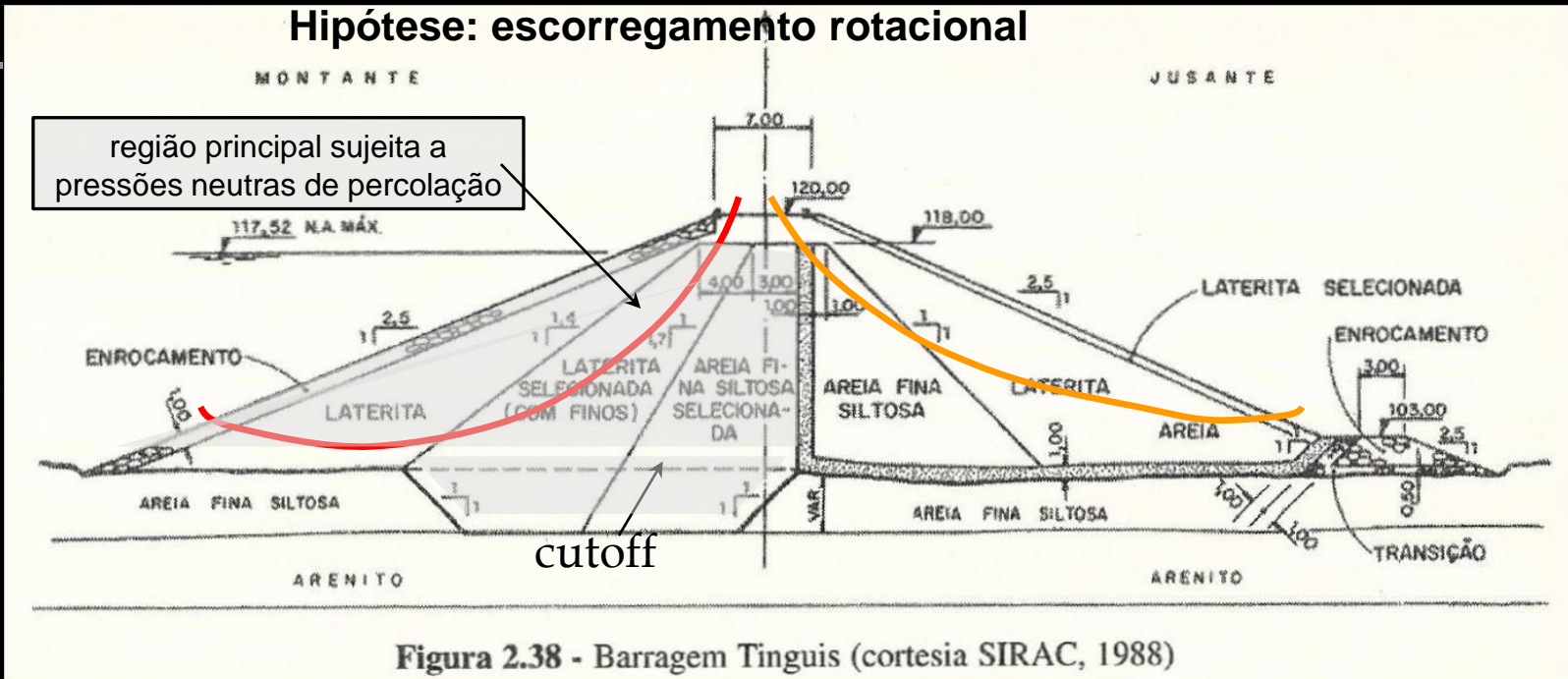
# Permeabilidade = f(compactação)



Material compactado diferentemente em diversas zonas da barragem propicia diferentes propriedades mecânicas para atender aos requisitos de projeto

# Estabilidade de taludes de barragem

## Hipótese: escorregamento rotacional



Fator de segurança (F) depende de:

1. Forma e localização das superfícies críticas
2. Resistência
  - parâmetros de resistência dos materiais

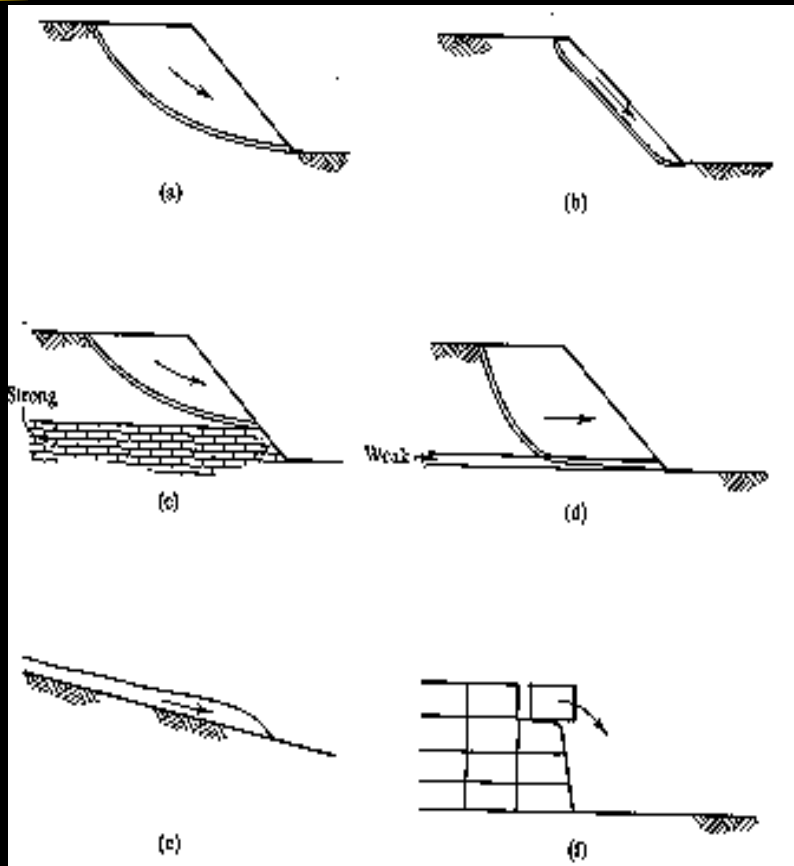
3. Solicitações

- peso específico dos materiais
- pressões neutras (de percolação e excessos de poropressão)

4. Processo de cálculo



# Alguns modos de ruína típicos de taludes (simplificações 2D)



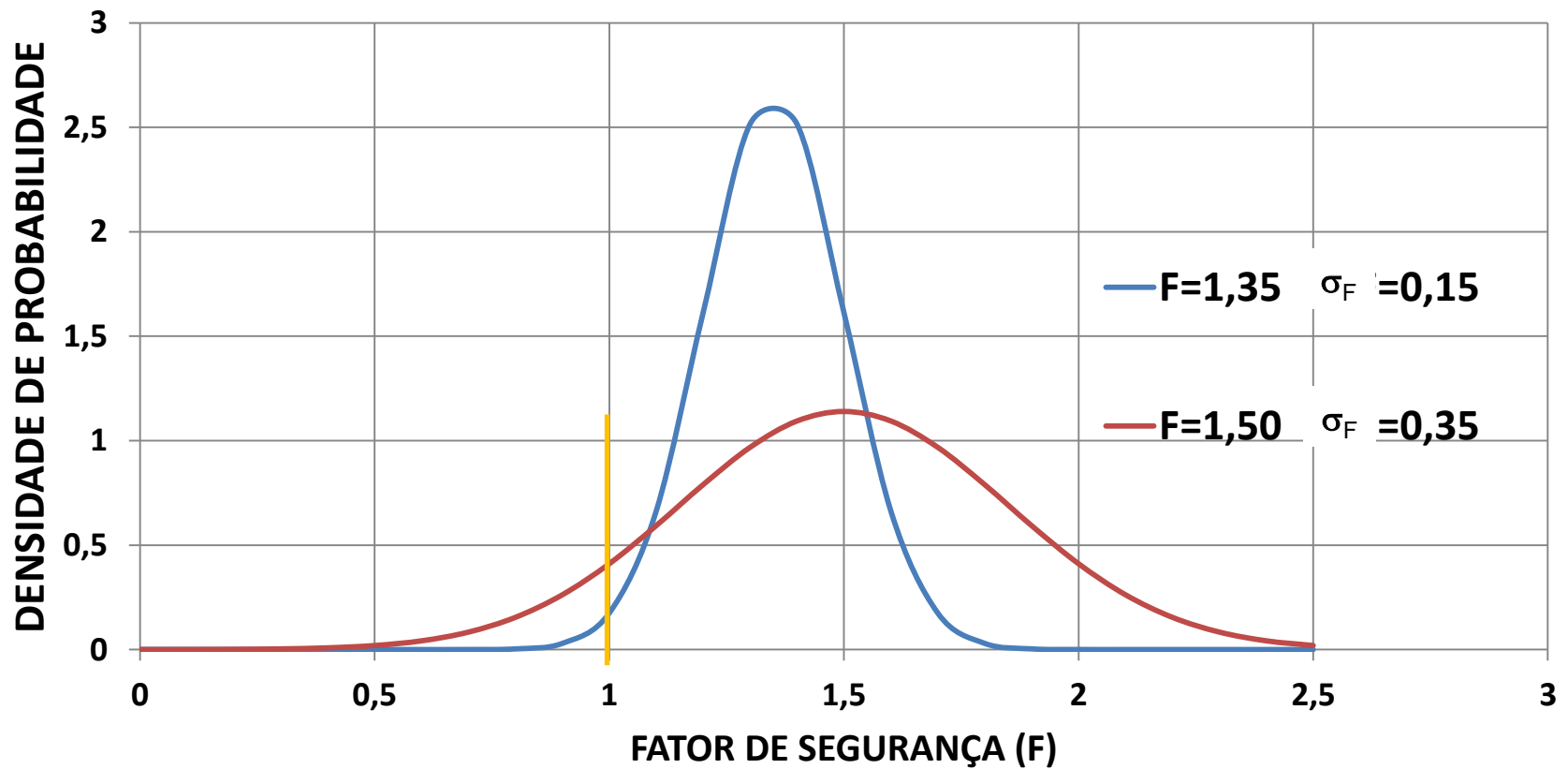
- **Escorregamentos**
  - a) rotacional
  - b) translacional
  - c) limitado por camada resistente
  - d) condicionado por camada fraca
- **Corridas de massa**
  - e) corrida de lama
- **Rastejo**
- **Outros**
  - f) tombamento

# Lições da observação de rupturas

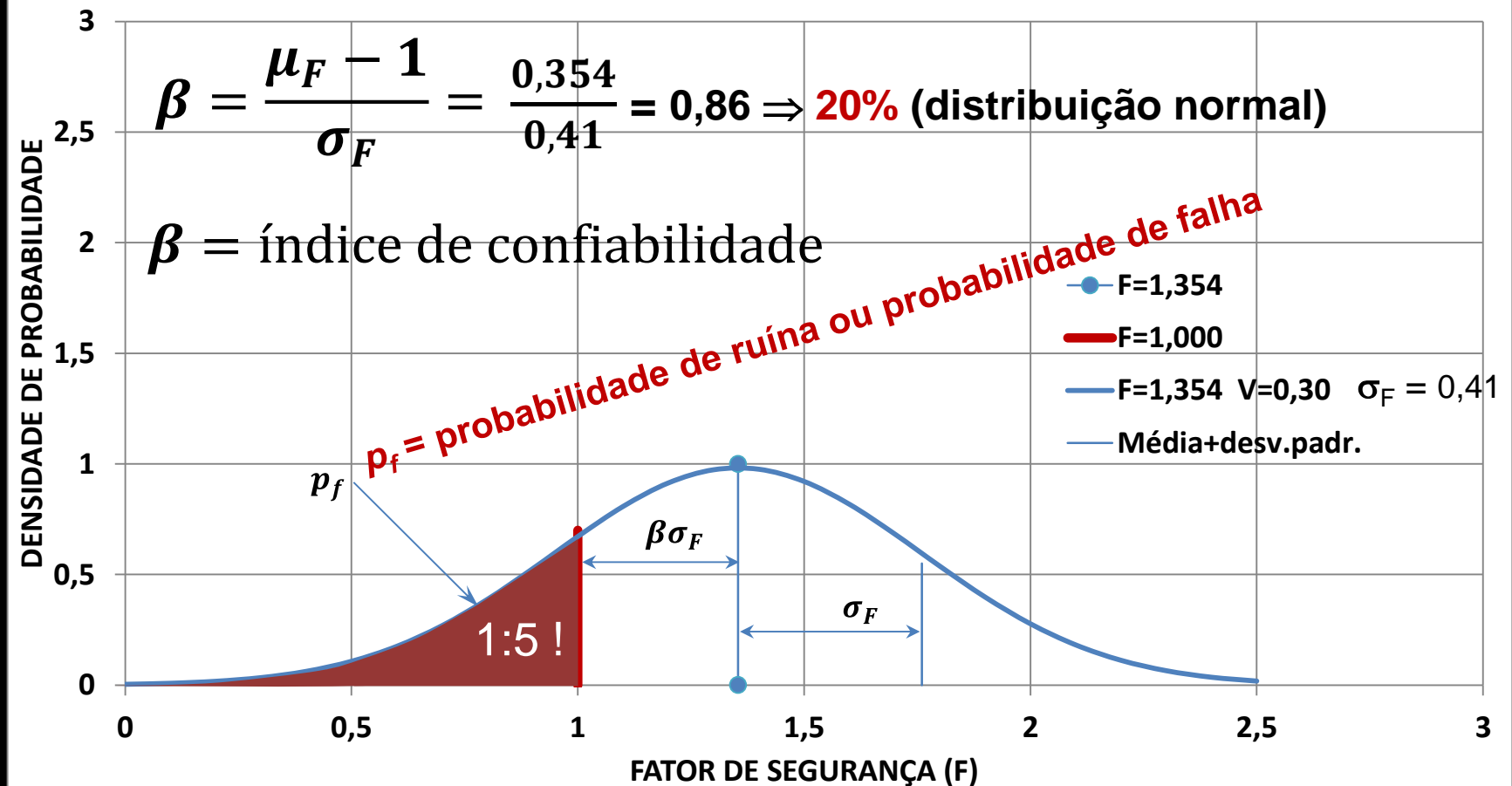
- Para o projeto
  - Modos de ruína (como pode romper?)
  - Investigação do solo é barata!
  - Monitoramento é barato!
  - Probabilidade de ruína nunca é nula
  - Consequências podem ser graves
- Para a operação
  - Plano de contingência salva vidas

Alto  
**RISCO**

# E a variabilidade?



# Distribuição? $\Rightarrow p_f$





# CONCEITO BÁSICO

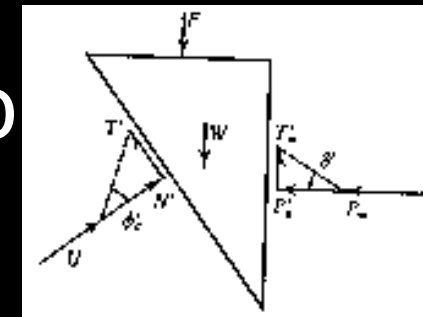
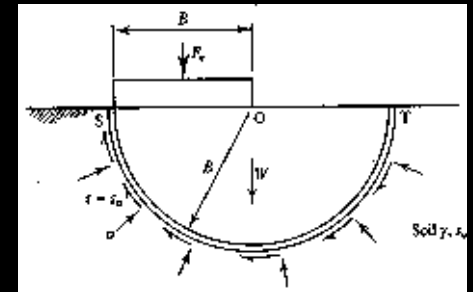
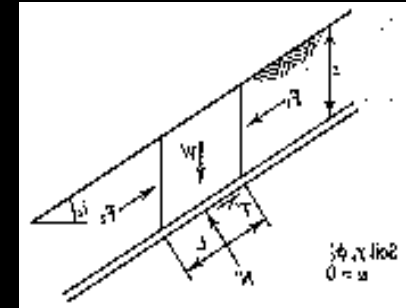
---

Exemplo: segurança de talude (barragem, encosta, etc.) de terra ou de rocha

**ELU**

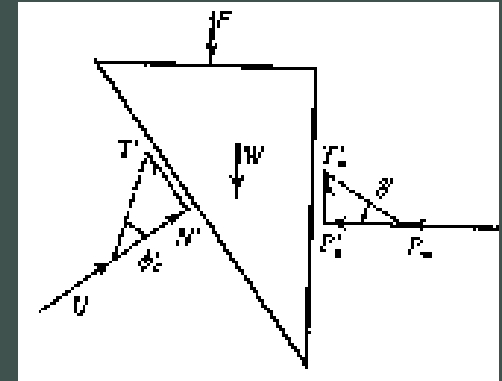
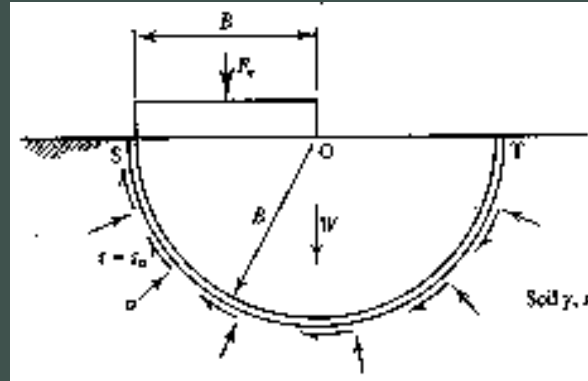
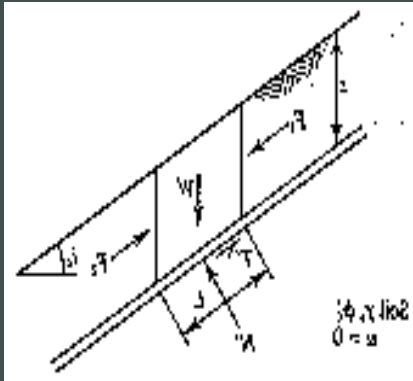
# Problemas de estabilidade típicos (ELU)

- Estabilidade de taludes (barragens, encostas, cortes, aterros)
- Resistência última de fundações
- Empuxos sobre muros de arrimo



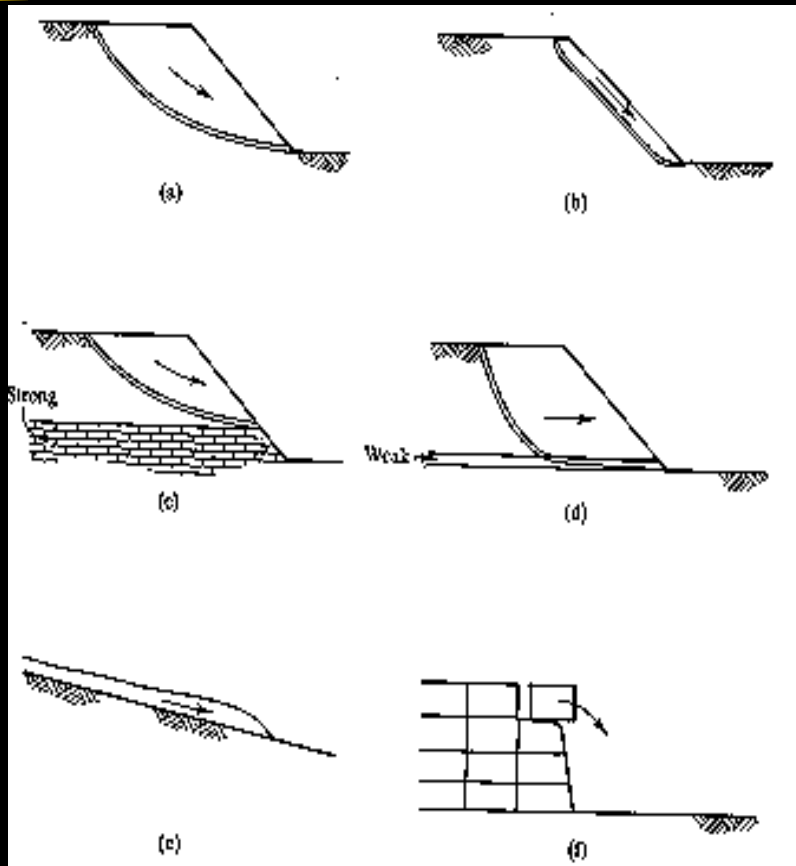
# Pontos em comum: o que conhecer, em todos os casos

- Modo de ruína: superfícies de escorregamento, condicionantes geológico-geotécnicos



- Solicitações (tensões) na(s) superfície(s)
- Resistências (tensões) na(s) superfície(s)

# Alguns modos de ruína (ELU) típicos de taludes (simplificações 2D)

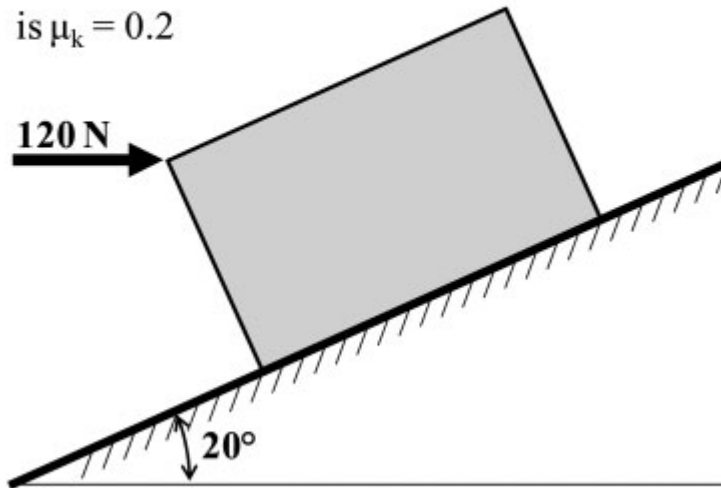


- **Escorregamentos**
  - a) rotacional
  - b) translacional
  - c) limitado por camada resistente
  - d) condicionado por camada fraca
- **Corridas de massa**
  - e) corrida de lama
- **Rastejo**
- **Outros**
  - f) tombamento



# Bloco deslizando

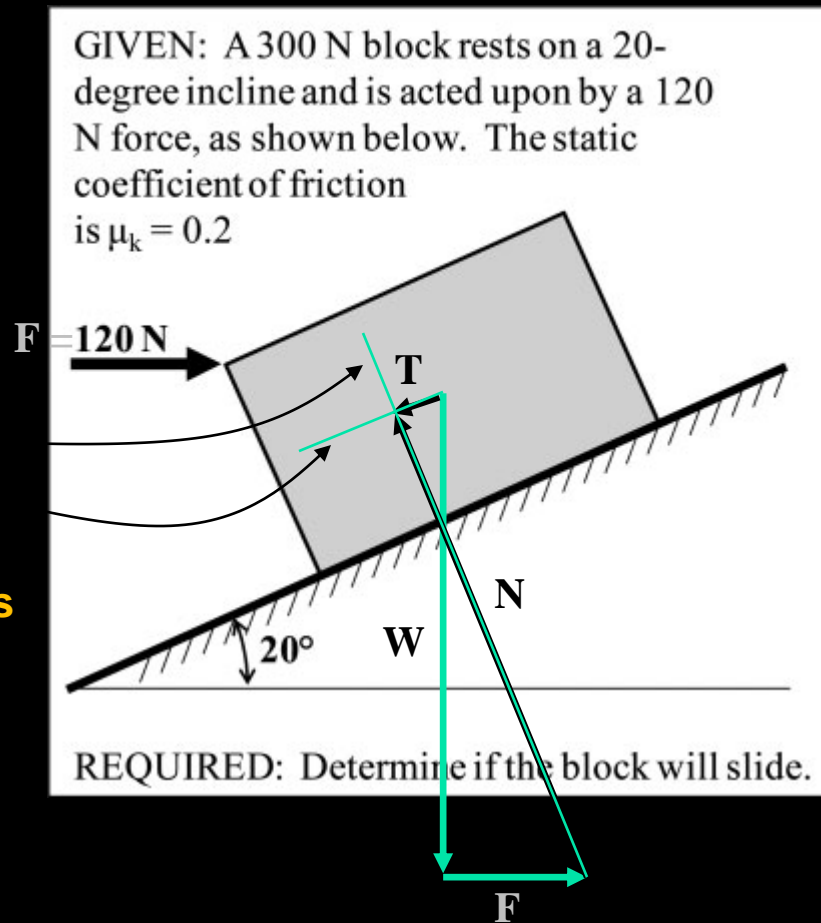
GIVEN: A 300 N block rests on a 20-degree incline and is acted upon by a 120 N force, as shown below. The static coefficient of friction is  $\mu_k = 0.2$



REQUIRED: Determine if the block will slide.

# Bloco deslizando

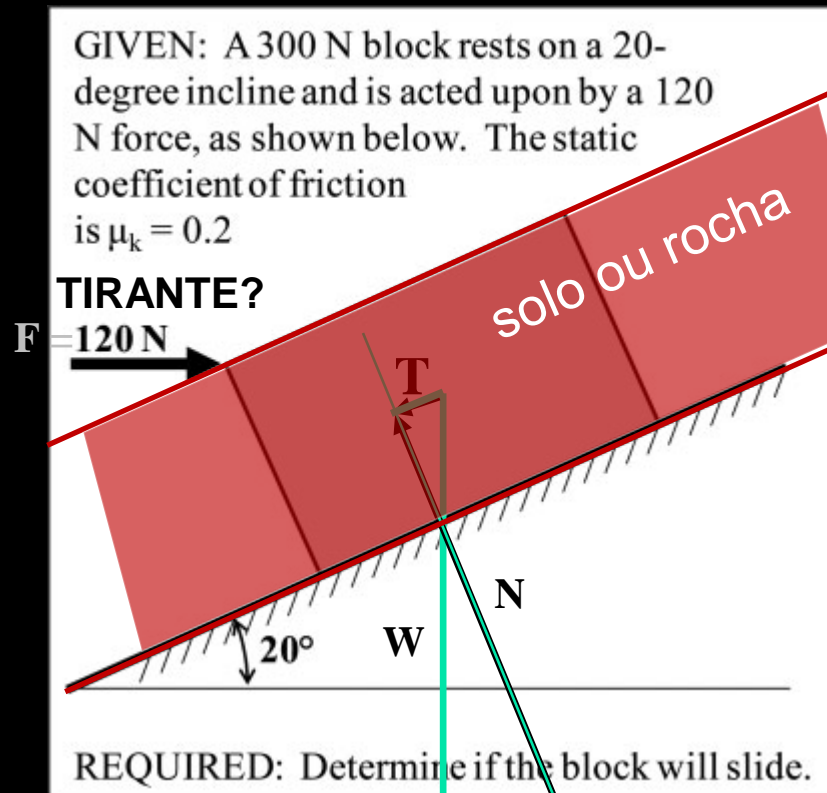
Linhas de ação (direções) conhecidas



Escorrega?

Comparar  $\mu_k \times N$  (resistência) com T (solicitação)

# Talude escorregando



**Escorrega?**

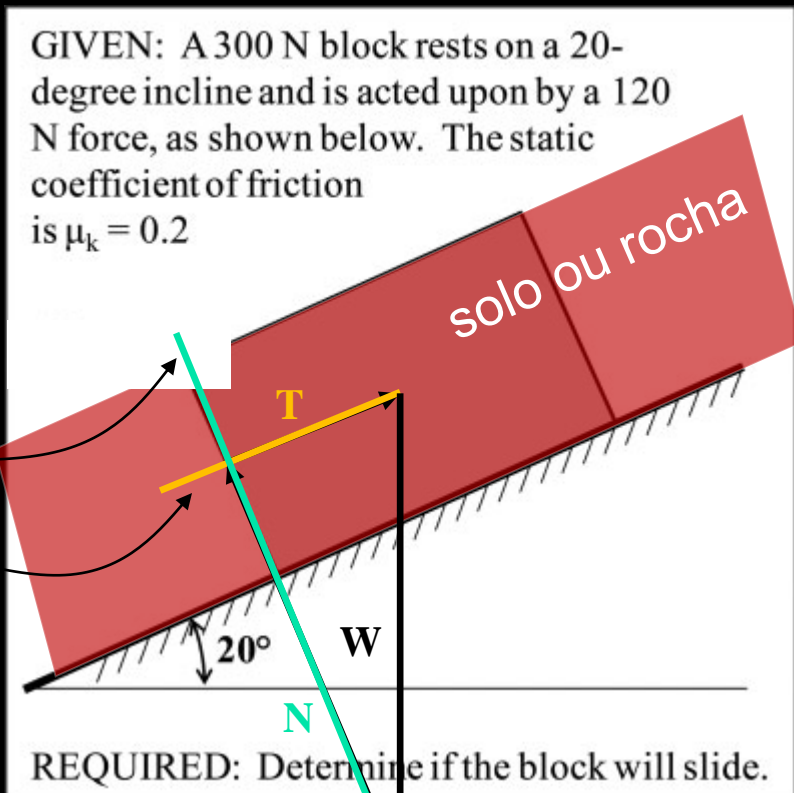
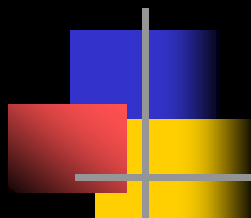
**Comparar**  
 $\tan(\phi) \times N$   
**(resistência)**  
**com T**  
**(solicitação)**

# Tirantes



Todas as figuras apresentadas são protegidas pelos direitos autorais dos respectivos autores e, sendo assim, só podem ser utilizadas para fins acadêmicos de aprendizado

# Bloco ou talude (sem força horizontal na face)



Linhas de ação (direções) conhecidas

Hipótese do Equilíbrio Limite

$$T = \frac{S}{F}$$

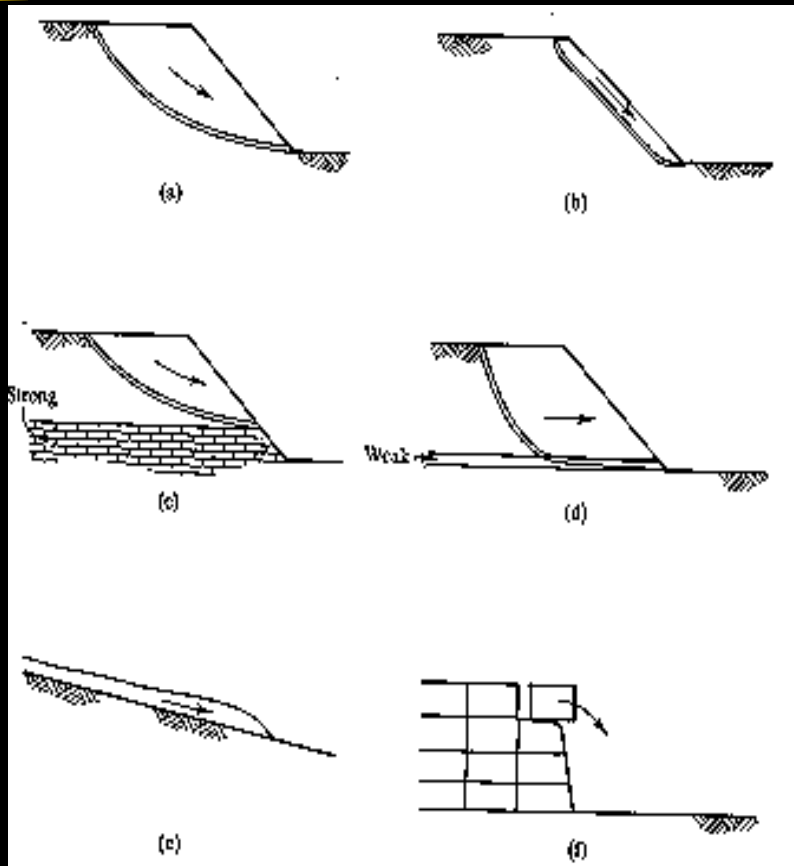
S = resistência de atrito =  $\tan(\phi) \times N$

T = solicitação

$$F = \frac{\tan(\phi) \times N}{T}$$

F = fator de segurança

# Alguns modos de ruína típicos de taludes (simplificações 2D)

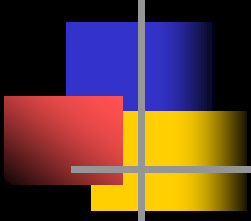


- **Escorregamentos**
  - a) rotacional
  - b) translacional
  - c) limitado por camada resistente
  - d) condicionado por camada fraca
- **Corridas de massa**
  - e) corrida de lama
- **Rastejo**
- **Outros**
  - f) condicionado por descontinuidades rochosas

# Rotacionais



Todas as figuras apresentadas são protegidas pelos direitos autorais dos respectivos autores e, sendo assim, só podem ser utilizadas para fins acadêmicos de aprendizado



Todas as figuras apresentadas são protegidas pelos autores e, sendo assim, só podem ser utilizadas para fins acadêmicos de aprendizado





Todas as figuras apresentadas são protegidas pelos direitos autorais dos respectivos autores e, sendo assim, só podem ser utilizadas para fins acadêmicos de aprendizado

- 
- 
- Brumadinho
  - <https://twitter.com/i/status/1091376058493034496>



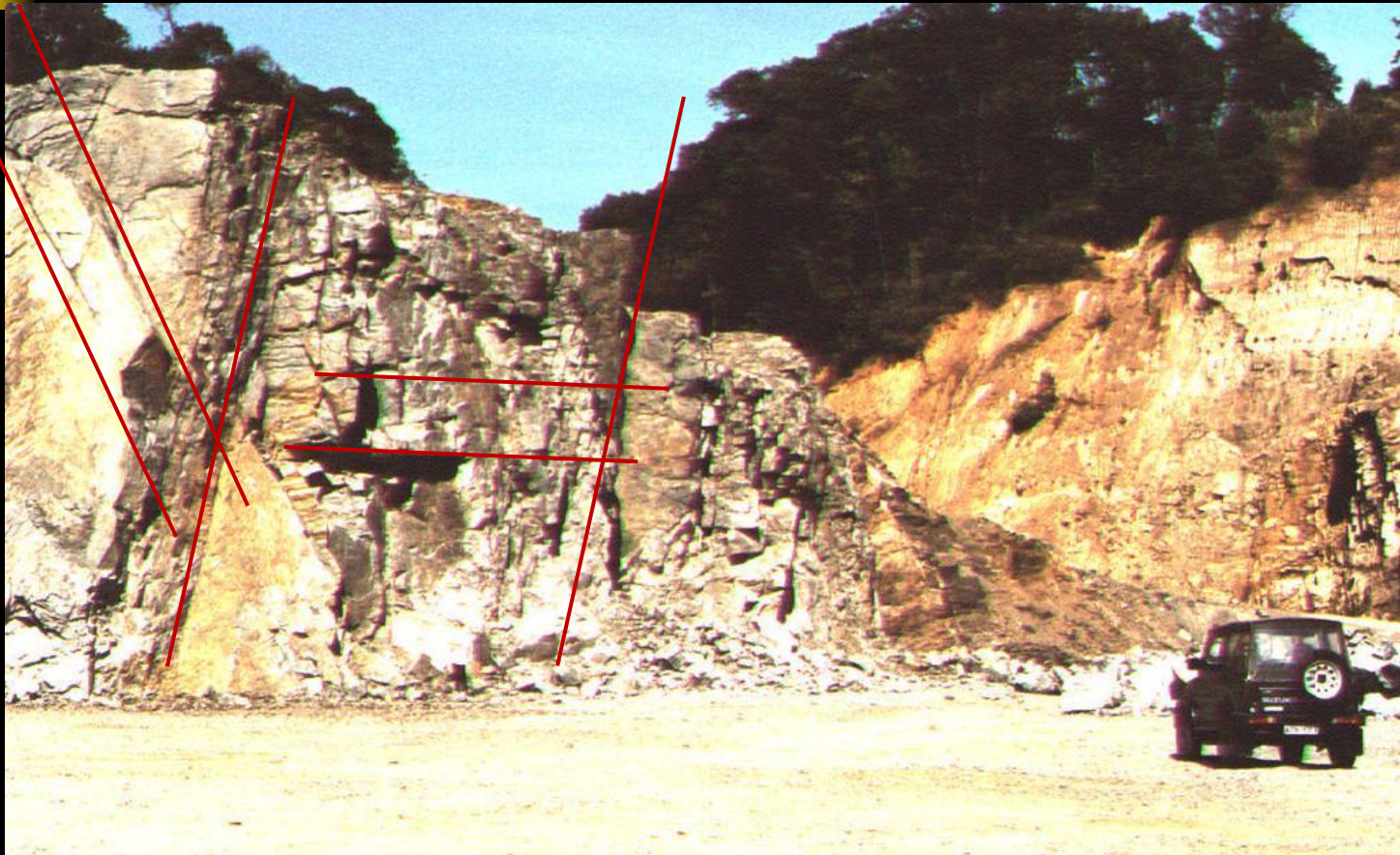
Tanslacional (tipo talude infinito)

# Translacionais (vários taludes infinitos)



Todas as figuras apresentadas são protegidas pelos direitos autorais dos respectivos autores e, sendo assim, só podem ser utilizadas para fins acadêmicos de aprendizado

# Conicionados por descontinuidades rochosas



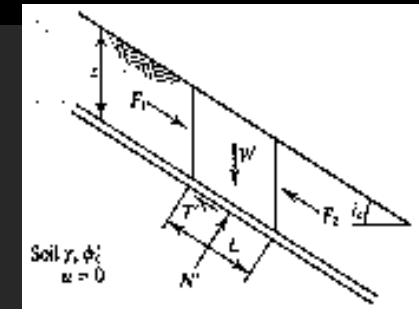
Todas as figuras apresentadas são protegidas pelos direitos autorais dos respectivos autores e, sendo assim, só podem ser utilizadas para fins acadêmicos de aprendizado



Todas as figuras apresentadas são protegidas pelos direitos autorais dos respectivos autores e, sendo assim, só podem ser utilizadas para fins acadêmicos de aprendizado

# Análise de estabilidade

- Escolher o tipo representativo do modo de ruína ~ superfície de escorregamento

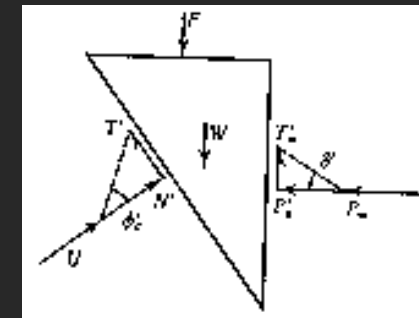


- Garantir equilíbrio do(s) bloco(s) delimitado(s) pela(s) superfície(s)

$$\Sigma V = 0$$

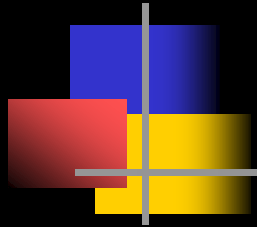
$$\Sigma H = 0$$

$$\Sigma M = 0$$

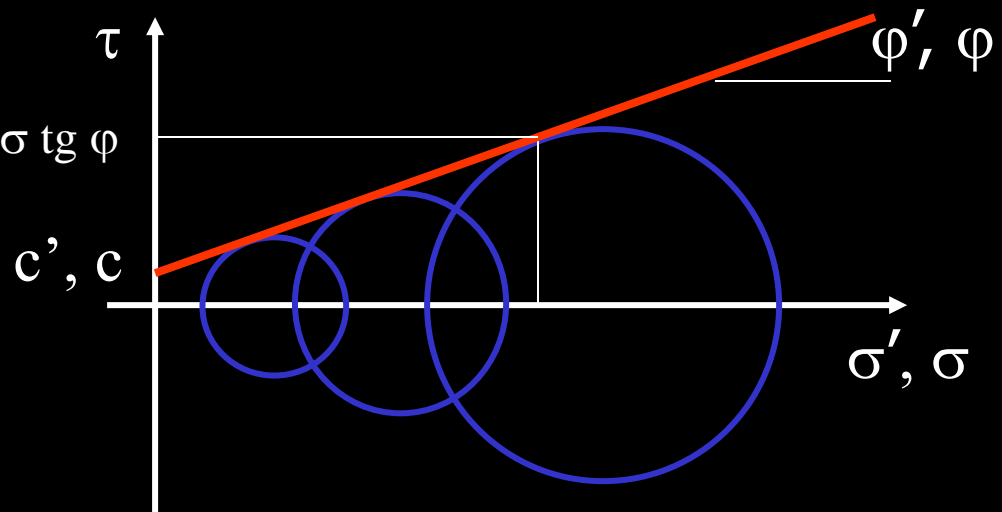


- Escolher o modelo e o valor da resistência

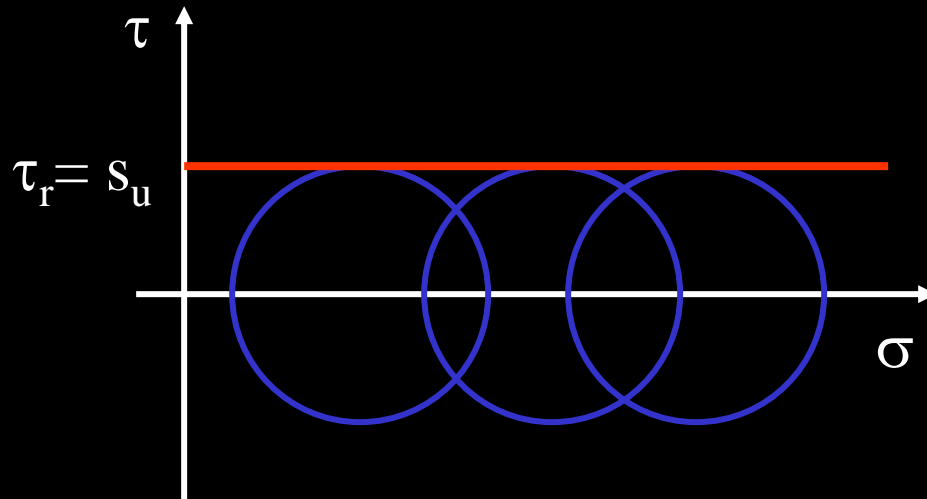
# Modelos de resistência usuais para solos e rochas



■ **Mohr-Coulomb**  $\tau_r = s = c + \sigma \operatorname{tg} \varphi$



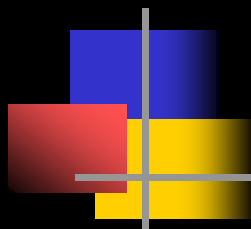
■ **Tresca**





# Escolha do modelo de resistência

- Aplicabilidade do modelo Mohr-Coulomb e do modelo Tresca
  - Diferença entre comportamento drenado e não drenado, função do tipo de solo e da velocidade da sollicitação
- Foco, neste momento, no **processo de análise de segurança**



# Equilíbrio estático (2D)

- Equilíbrio de **forças** na direção 1  
(por exemplo, **vertical**)  
 $\Sigma V = 0$
- Equilíbrio de **forças** na direção 2  
(por exemplo, **horizontal**)  
 $\Sigma H = 0$   
 $\Sigma M = 0$
- Equilíbrio de **momentos**



# Processo usual de análise

---

- Equilíbrio Limite, DOIS requisitos:
  - 1) Sistema precisa estar em **EQUILÍBRIO**  
Equilíbrio estático = Estática  
(Mecânica A!)



# Processo usual de análise

---

- Equilíbrio Limite, DOIS requisitos:
  - 1) Equilíbrio no limiar da ruptura, no LIMITE
  - 2) Equilíbrio no limiar da ruptura, no LIMITE



# Processo usual de análise

---

- Equilíbrio Limite

Como nenhuma estrutura é, em princípio, projetada para trabalhar em condição de iminência de ruptura...

# Processo usual de análise

- Limite, mas com FATOR DE SEGURANÇA (F)

a) Resistência reduzida

$$F = s / \tau$$

$$s = c' + \sigma' \operatorname{tg} \varphi'$$

ou

$$s = s_u$$

b) Solicitação aumentada

$$F = q_{\text{ult}} / q$$

$$q_{\text{ult}} = q \times F$$

ou, talvez, combinação das duas  
(fatores parciais)

# Análise de estabilidade

## Processo do equilíbrio limite

- Identificar modo de ruína (observação  $\Rightarrow$  tipo de instabilidade)
- Escolher superfície(s) condicionantes da instabilidade e identificar massa em escorregamento por ela(s) delimitada
- Identificar solicitações e resistências atuantes na massa
- Impor limiar de ruptura (**LIMITE**):
  - solicitação = resistência / F
  - ou
  - resistência = solicitação x F
- Equações de equilíbrio para determinar F (**EQUILÍBRIO**)

# Análise de estabilidade

## Processo do equilíbrio limite

---

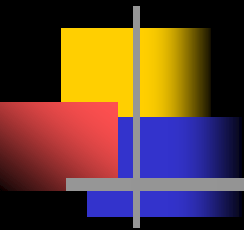
Tudo o que foi apresentado até aqui sobre equilíbrio limite

+

Pesquisa da superfície mais crítica  
(F mínimo)



# Talude infinito





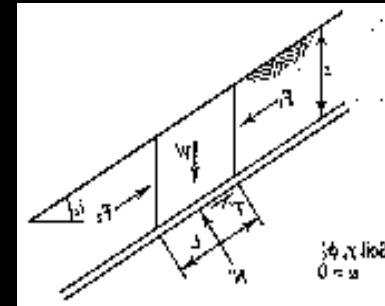
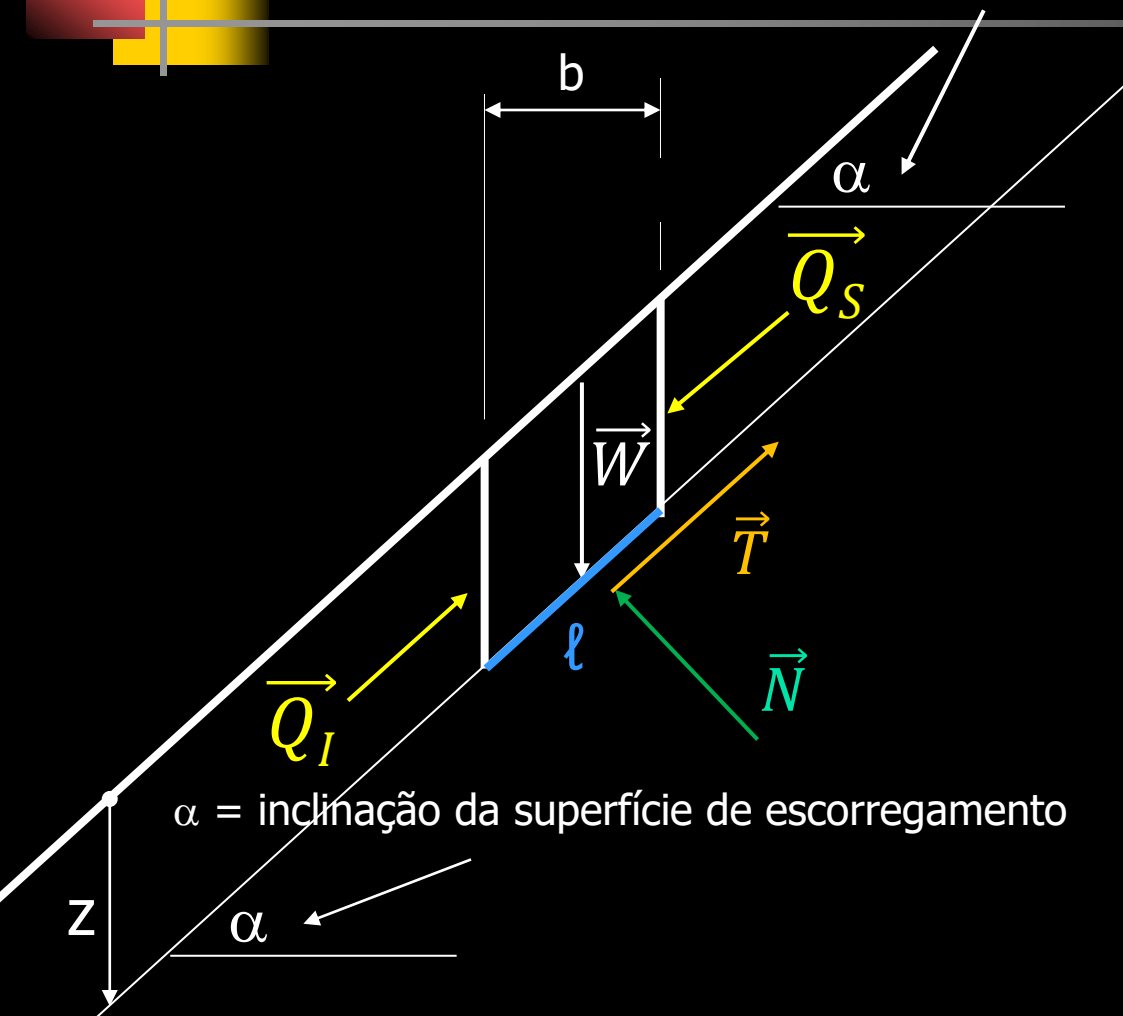
# Equilíbrio estático (no plano)

---

- Equilíbrio de **forças** na direção 1 (por exemplo, **vertical**)
- Equilíbrio de **forças** na direção 2 (por exemplo, **horizontal**)
- Equilíbrio de **momentos**

# Talude infinito

$\alpha =$  inclinação do talude



- $\vec{Q}_S = -\vec{Q}_I$
- $\vec{N} = \vec{N}' + \vec{U}$
- $W = \gamma z b =$   
 $= \gamma z l \cos \alpha$

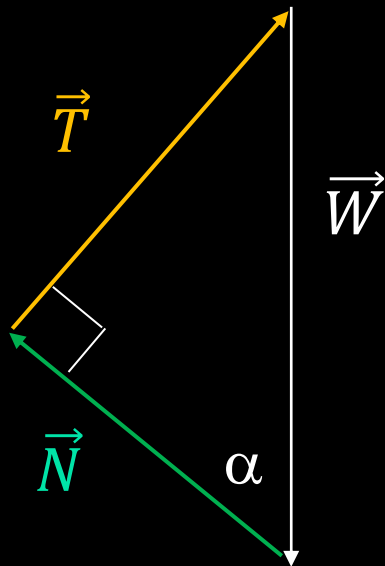
# Equilíbrio

## ■ Forças

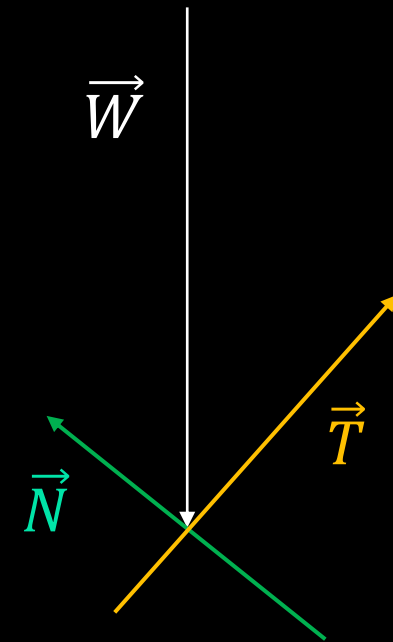
$$W = \gamma z b \quad b = \ell \cos \alpha$$

$$\blacksquare T = W \sin \alpha = \gamma z \ell \cos \alpha \sin \alpha$$

$$\blacksquare N = W \cos \alpha = \gamma z \ell \cos^2 \alpha$$



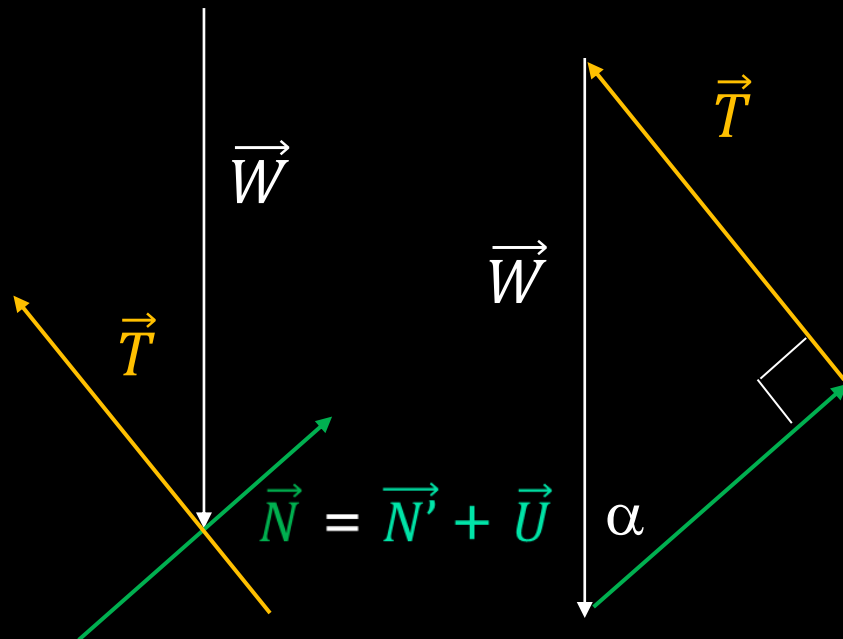
## ■ Momentos



# Equilíbrio limite

## Equilíbrio

- $T = \gamma z l \cos \alpha \sin \alpha$
- $N = \gamma z l \cos^2 \alpha$



## Limite

- $T = S / F = s l / F$
- $F = (c l + \sigma' l \operatorname{tg} \varphi) / T$
- $F = (c l + N' \operatorname{tg} \varphi) / T$

$\mu =$   
coeficiente  
de atrito

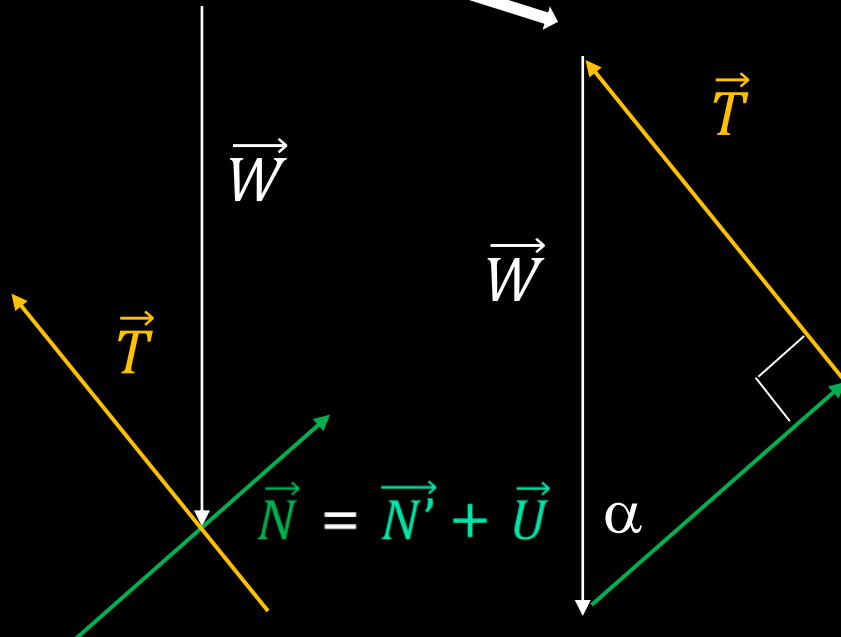
■  $F = \underline{\hspace{10cm}}$

# Equilíbrio limite

## Equilíbrio

- $T =$

- $N =$



## Limite

- $T = S / F = s\ell / F$

- $F = (c\ell + \sigma'\ell \operatorname{tg} \phi) / T$

- $F = (c\ell + N' \operatorname{tg} \phi) / T$

$\mu =$   
coeficiente  
de atrito

- $F = \frac{[c\ell + (\gamma z\ell \cos^2 \alpha - U) \tan \phi]}{\gamma z\ell \cos \alpha \sin \alpha}$

$$N' = N - U$$

$$U = u\ell$$



# Fator de Segurança

$$F = \frac{[c\ell + (\gamma z\ell \cos^2 \alpha - u\ell) \tan \phi]}{\gamma z\ell \cos \alpha \sin \alpha}$$

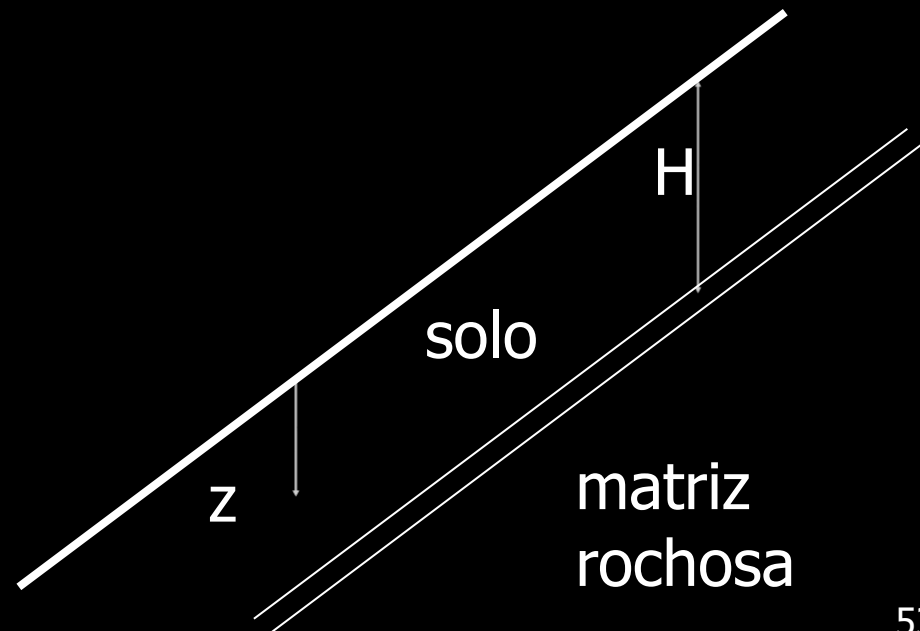
$$F = \frac{c}{\gamma z \cos \alpha \sin \alpha} + \frac{\cos \alpha}{\sin \alpha} \tan \phi - \frac{u}{\gamma z \cos \alpha \sin \alpha} \tan \phi$$

$$F = \frac{c}{\gamma z \cos \alpha \sin \alpha} + \frac{1}{\tan \alpha} \tan \phi - \frac{u}{\gamma z \cos^2 \alpha \tan \alpha} \tan \phi$$

# Equilíbrio limite de talude infinito:

$F(z)$

$$F(z) = \frac{2c}{\gamma \cdot z \cdot \sin 2\alpha} + \left( 1 - \frac{u}{\gamma \cdot z \cdot \cos^2 \alpha} \right) \cdot \frac{\tan \varphi}{\tan \alpha}$$





# Equilíbrio limite de talude infinito: pesquisa da superfície de $F_{\text{mín}}$

$$F(z) = \frac{2c}{\gamma \cdot z \cdot \sin 2\alpha} + \left( 1 - \frac{u}{\gamma \cdot z \cdot \cos^2 \alpha} \right) \cdot \frac{\tan \varphi}{\tan \alpha}$$

## Pesquisa da superfície crítica

$$\min[F(z)] \Rightarrow z = z_{\text{máx}} = H$$

$$\min[F(z)] = F(z_{\text{máx}}) = F(H)$$

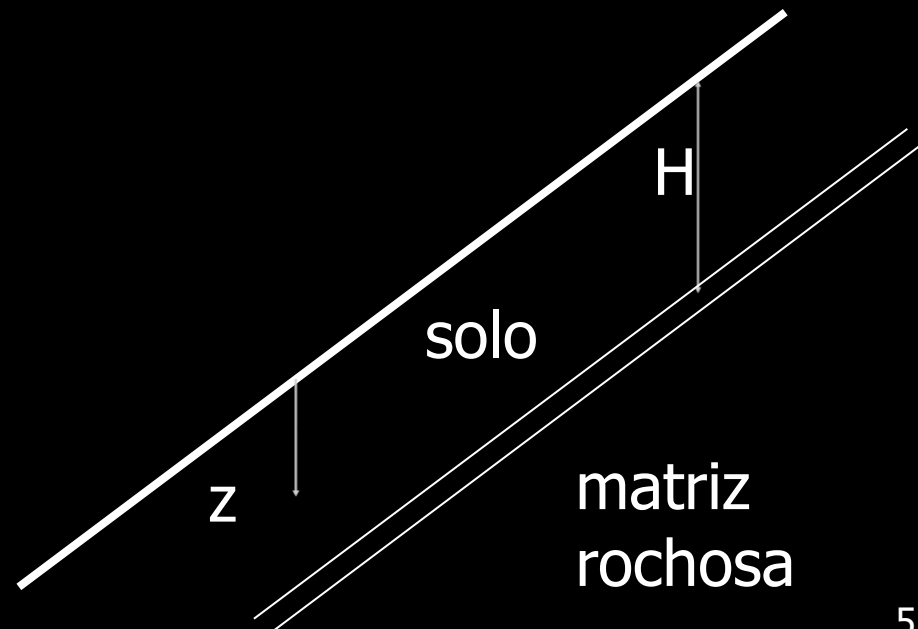
Substituir  $z$  por  $H$   
na expressão  
acima



# Equilíbrio limite de talude infinito:

$$F = F_{\text{mín}}$$

$$F_{\text{mín}} = \frac{2c}{\gamma H \sin 2\alpha} + \left( 1 - \frac{u}{\gamma H \cos^2 \alpha} \right) \frac{\tan \phi}{\tan \alpha}$$



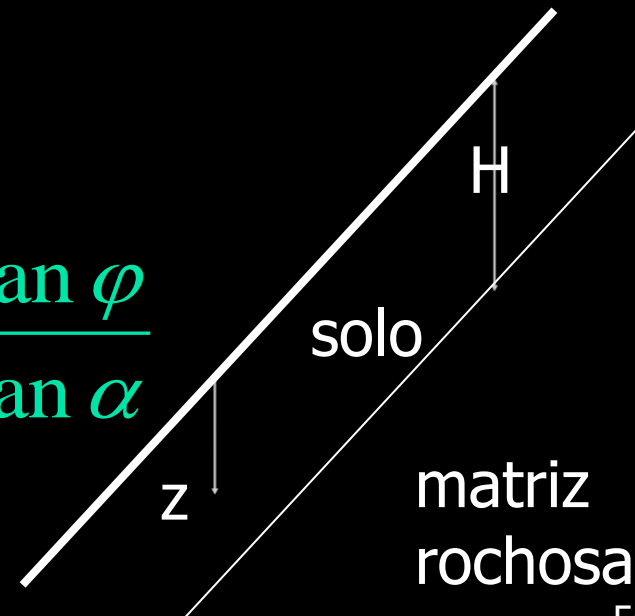


# Número de estabilidade

$$F = \frac{2c}{\gamma H \sin 2\alpha} + \left( 1 - \frac{u}{\gamma H \cos^2 \alpha} \right) \frac{\tan \phi}{\tan \alpha}$$

$$N_E = \frac{c}{\gamma \cdot H}$$

$$F = \frac{2 \cdot N_E}{\sin 2\alpha} + \left( 1 - \frac{u}{\gamma \cdot H \cdot \cos^2 \alpha} \right) \cdot \frac{\tan \phi}{\tan \alpha}$$



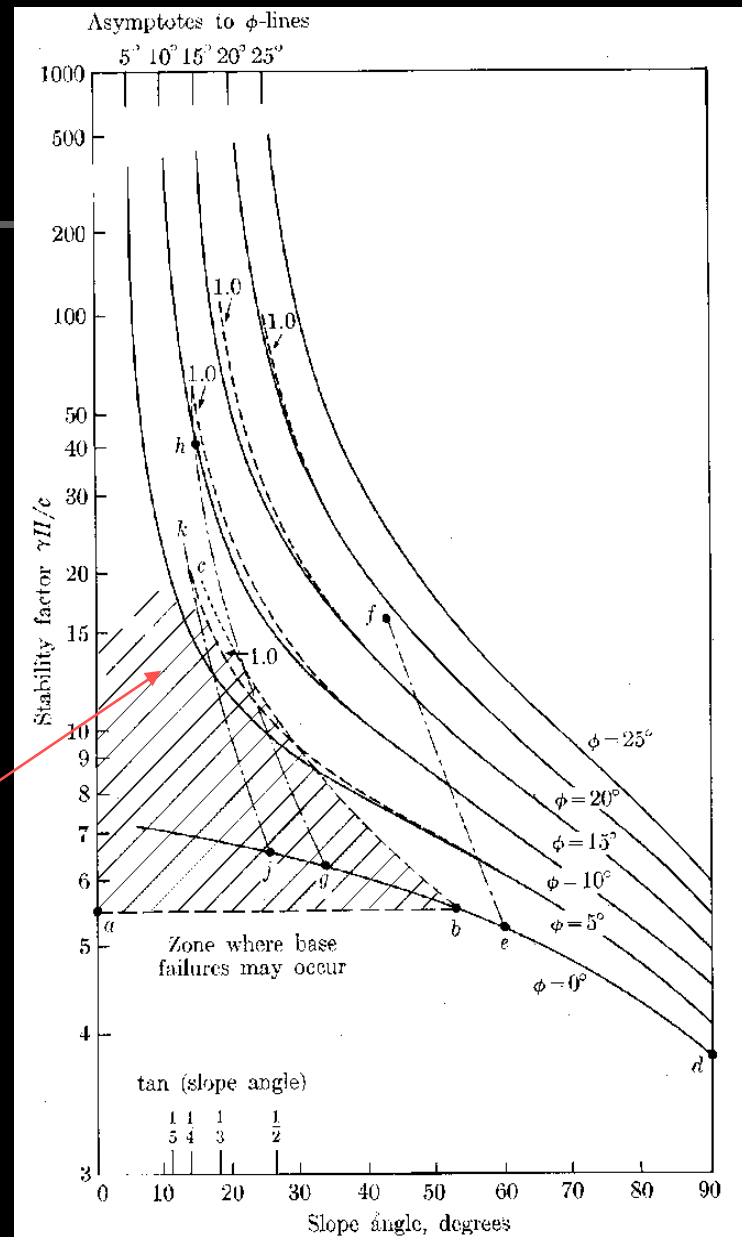
# Número de estabilidade

(importante não apenas para talude infinito!)

Exemplo dos ábacos de estabilidade de taludes (taludes em geral)

$$N_E = \frac{c}{\gamma \cdot H}$$

$1 / N_E$





# F de talude infinito

---

$$F = \frac{2c}{\gamma H \sin 2\alpha} + \left( 1 - \frac{u}{\gamma H \cos^2 \alpha} \right) \frac{\tan \phi}{\tan \alpha}$$

- Casos particulares
  - $c = 0$
  - $c = 0$  e  $u = 0$
  - $u$  de fluxo vertical
  - $u$  de fluxo horizontal
  - $u$  de fluxo paralelo ao talude



# F de talude infinito

---

$$F = \frac{2c}{\gamma H \sin 2\alpha} + \left( 1 - \frac{u}{\gamma H \cos^2 \alpha} \right) \frac{\tan \phi}{\tan \alpha}$$

- Casos particulares
  - $c = 0$

$$F = \left( 1 - \frac{u}{\gamma H \cos^2 \alpha} \right) \frac{\tan \phi}{\tan \alpha}$$



# F de talude infinito

---

$$F = \frac{2c}{\gamma H \sin 2\alpha} + \left( 1 - \frac{u}{\gamma H \cos^2 \alpha} \right) \frac{\tan \phi}{\tan \alpha}$$

- Casos particulares
  - $c = 0$  e  $u = 0$

$$F = \frac{\tan \phi}{\tan \alpha}$$



# F de talude infinito

---

$$F = \frac{2c}{\gamma H \sin 2\alpha} + \left( 1 - \frac{u}{\gamma H \cos^2 \alpha} \right) \frac{\tan \phi}{\tan \alpha}$$

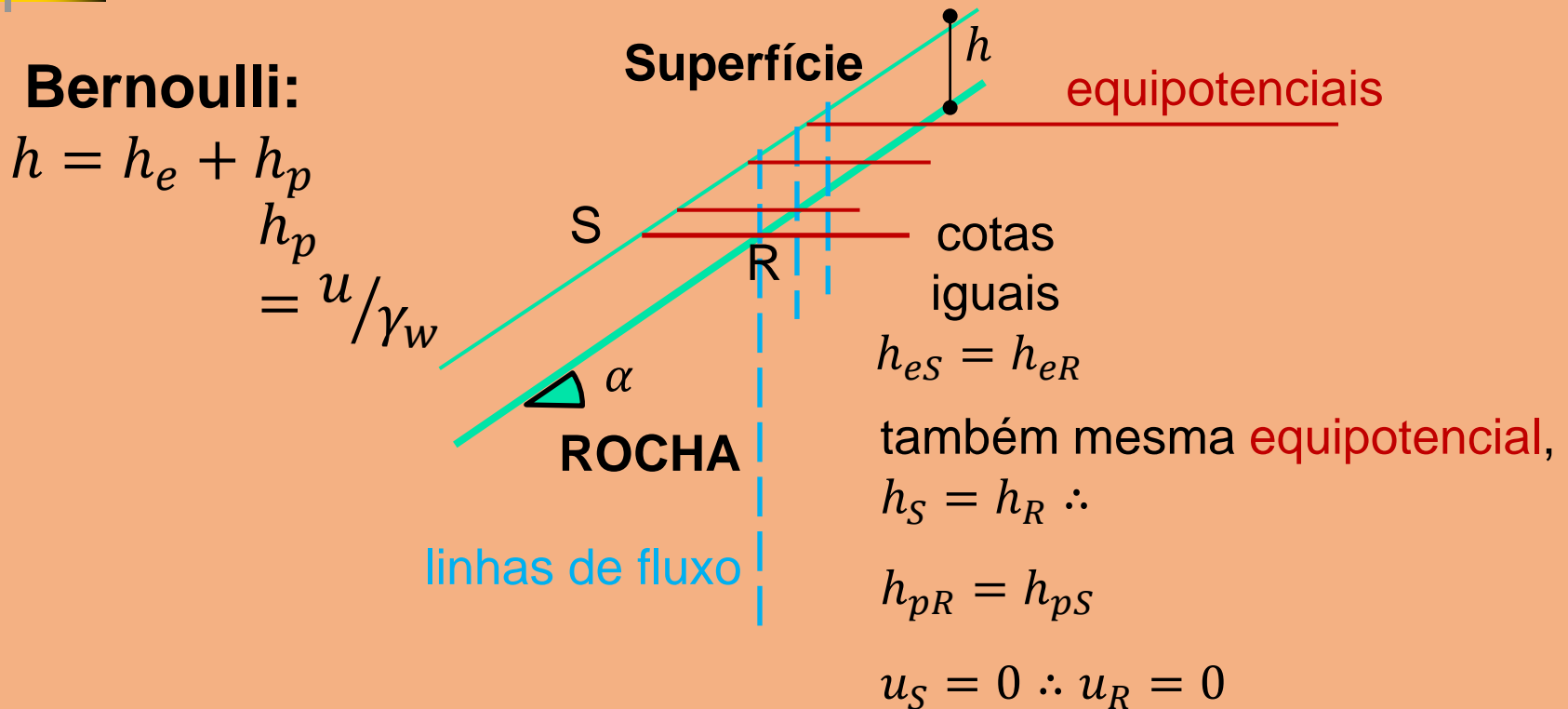
- Casos particulares

- $c = 0$  e fluxo vertical ( $u=0$ )

$$F = \frac{\tan \phi}{\tan \alpha}$$



# Fluxo vertical; rede de fluxo (ou solução numérica) dispensável





# F de talude infinito

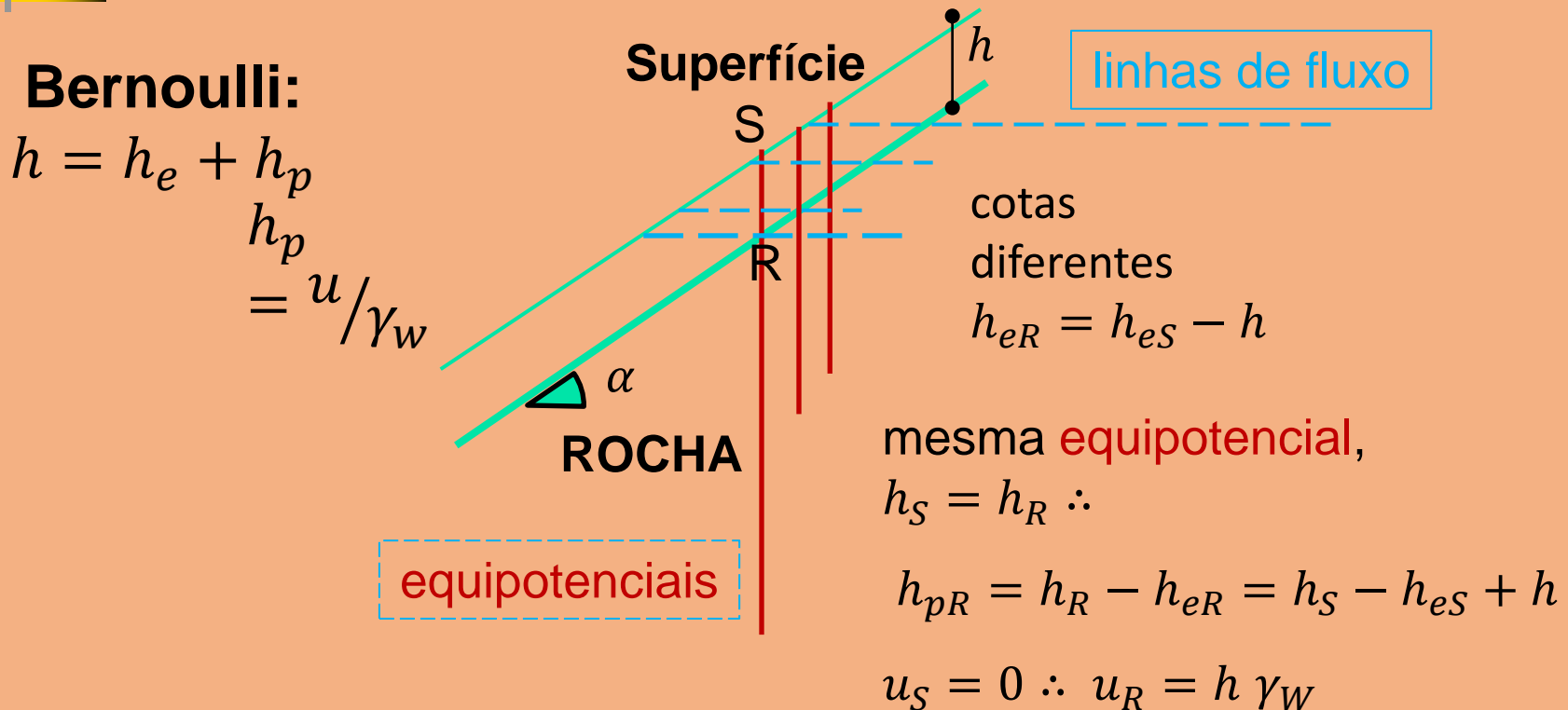
$$F = \frac{2c}{\gamma H \sin 2\alpha} + \left( 1 - \frac{u}{\gamma H \cos^2 \alpha} \right) \frac{\tan \phi}{\tan \alpha}$$

- Casos particulares
  - $u$  de fluxo horizontal ( $u = \gamma_w H$ )

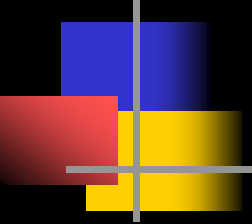
$$F = \frac{2c}{\gamma H \sin 2\alpha} + \left( 1 - \frac{\gamma_w}{\gamma \cos^2 \alpha} \right) \frac{\tan \phi}{\tan \alpha}$$

$$F = \frac{2c}{\gamma H \sin 2\alpha} + \left( 1 - \frac{\gamma_w}{\gamma} \frac{1}{\cos^2 \alpha} \right) \frac{\tan \phi}{\tan \alpha}$$

# Fluxo horizontal; rede de fluxo (ou solução numérica) dispensável



# F de talude infinito


$$F = \frac{2c}{\gamma H \sin 2\alpha} + \left( 1 - \frac{u}{\gamma H \cos^2 \alpha} \right) \frac{\tan \phi}{\tan \alpha}$$

- Casos particulares

- $c=0$  e  $u$  de fluxo paralelo ao talude ( $u=\gamma_w H_w \cos^2 \alpha$ )

$$F = \left( 1 - \frac{\gamma_w}{\gamma} \times \frac{H_w}{H} \right) \frac{\tan \phi}{\tan \alpha}$$

- Se  $H=H_w$ :

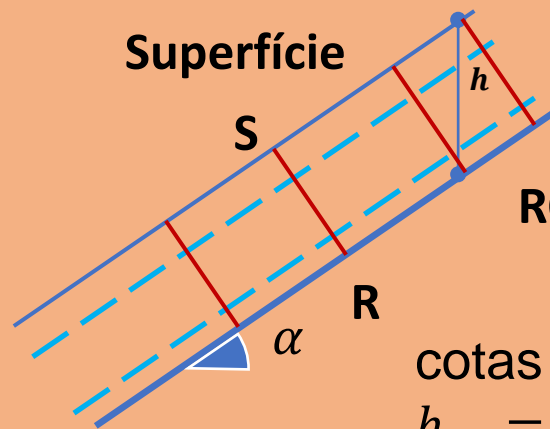
$$F = \left( 1 - \frac{\gamma_w}{\gamma} \right) \frac{\tan \phi}{\tan \alpha} \cong 0,5 \frac{\tan \phi}{\tan \alpha}$$

# Fluxo paralelo; rede de fluxo (ou solução numérica) dispensável

**Bernoulli:**

$$h = h_e + h_p$$
$$h_p = u / \gamma_w$$

Linhas de fluxo (necessariamente perpendiculares às equipotenciais)



equipotenciais

cotas diferentes

$$h_{eS} = h_{eR} + h \times \cos^2 \alpha$$

mesma equipotencial, portanto

$$h_S = h_R$$

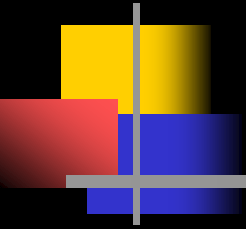
$$h_{pR} = h_R - h_{eR} = h_S - h_{eR}$$

como  $u_S = 0$ ,

$$h_S = h_{eS} \quad \text{e} \quad u_R = \gamma_w \times h \times \cos^2 \alpha$$

# Talude íngreme

---





# Processo usual de análise

---

## ■ Equilíbrio Limite

- **Equilíbrio** estático = Estática
- **Limite** = iminência da ruptura

- $\tau = s / F$

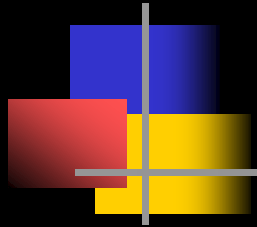
- $F = s / \tau$

$$s = c' + \sigma' \operatorname{tg} \varphi'$$

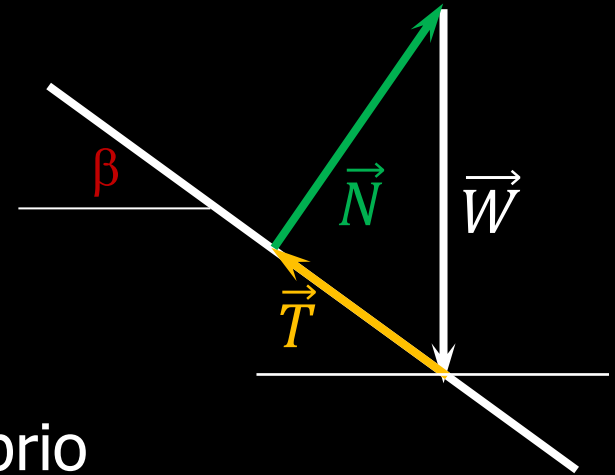
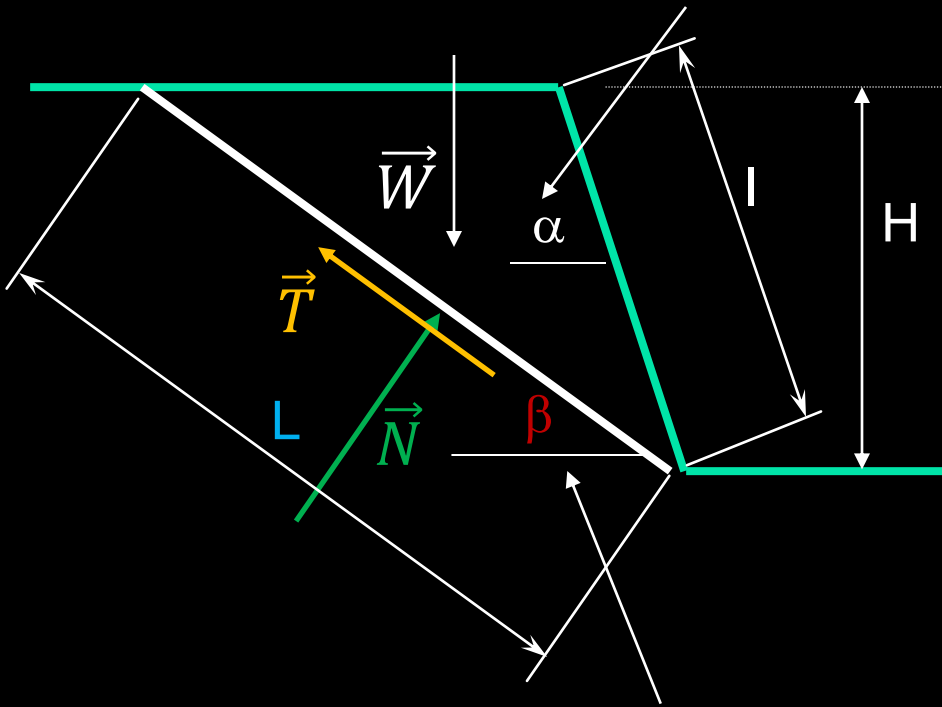
$$s = s_u$$

- Pesquisa da superfície crítica (minimização de  $F$ )

# Talude íngreme



$\alpha$  = inclinação do talude



- Equilíbrio

$$\vec{W} + \vec{T} + \vec{N} = \vec{0}$$

- Limite:

$$T = S / F$$

$$T = (c' \cdot L + N' \cdot \tan \varphi') / F$$

$\beta$  = inclinação da superfície de escorregamento ( $\beta_c$  para a crítica)



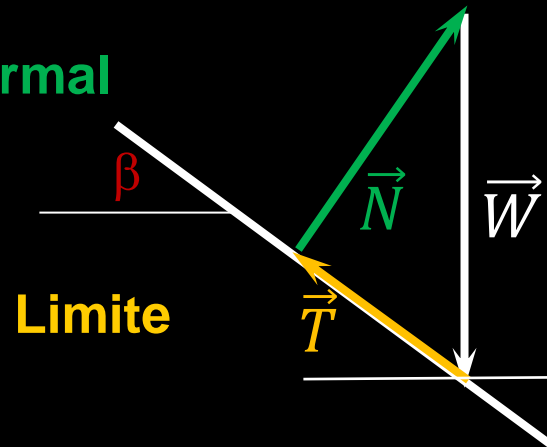
# Objetivo simples: qual a superfície crítica ( $\beta_c$ )

$$N = N' + U = W \cos \beta \quad \text{Equilíbrio na direção normal}$$

$$T = W \sin \beta \quad \text{Equilíbrio na direção tangencial}$$

$$T = \frac{S}{F} = \frac{cL + N' \tan \varphi}{F} = \frac{cL + (W \cos \beta - U) \tan \varphi}{F}$$

$$F = \frac{cL + (W \cos \beta - U) \tan \varphi}{W \sin \beta} \quad H = L \sin \beta$$



$$F = \frac{c \frac{H}{\sin \beta} + (W \cos \beta - U) \tan \varphi}{W \sin \beta}$$

Qual o  $\beta$  que leva ao  $F$  mínimo?

$W =$  também é função de  $\beta$

$W$  = peso da cunha, depende de  $\beta$

---

$$W = \gamma A \quad A = \frac{1}{2} LI \sin(\alpha - \beta) \quad I = \frac{H}{\sin \alpha}$$

$$A = \frac{1}{2} \frac{H}{\sin \beta} \frac{H}{\sin \alpha} [\sin \alpha \cos \beta - \sin(\beta) \cos \alpha]$$

$$A = \frac{1}{2} H^2 \left[ \frac{1}{\tan \beta} - \frac{1}{\tan \alpha} \right]$$

$$W = \frac{1}{2} \gamma H^2 \left[ \frac{1}{\tan \beta} - \frac{1}{\tan \alpha} \right]$$

# Expressão completa para pesquisa de $\beta_c$

$$F = \frac{c \frac{H}{\sin \beta} + \left\{ \frac{1}{2} \gamma H^2 \left[ \frac{1}{\tan \beta} - \frac{1}{\tan \alpha} \right] \cos \beta - U \right\} \tan \varphi}{\frac{1}{2} \gamma H^2 \left[ \frac{1}{\tan \beta} - \frac{1}{\tan \alpha} \right] \sin \beta}$$

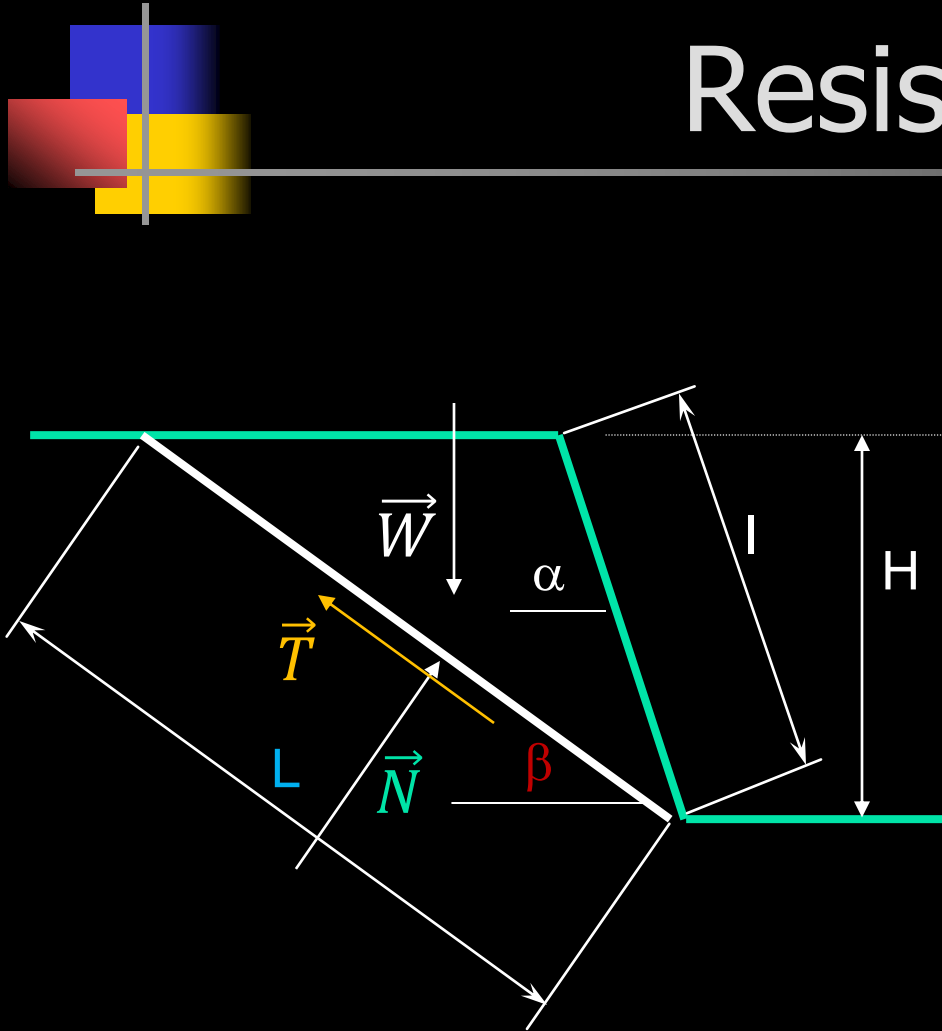
$$F = \frac{2 \frac{c}{\gamma H} \frac{1}{\sin \beta} + \left\{ \left[ \frac{1}{\tan \beta} - \frac{1}{\tan \alpha} \right] \cos \beta - \frac{2U}{\gamma H^2} \right\} \tan \varphi}{\left[ \frac{1}{\tan \beta} - \frac{1}{\tan \alpha} \right] \sin \beta}$$

$$F = \frac{2N_E \frac{1}{\sin \beta} + \left\{ \left[ \frac{1}{\tan \beta} - \frac{1}{\tan \alpha} \right] \cos \beta - \frac{2U}{\gamma H^2} \right\} \tan \varphi}{\left[ \frac{1}{\tan \beta} - \frac{1}{\tan \alpha} \right] \sin \beta}$$

Qual o  $\beta$   
que leva ao  
F mínimo?

**Simples com “Solver” de planilha eletrônica**

# Resistência mobilizada



$$T = S / F$$

$$T = (c' \cdot L + N' \times \tan \varphi') / F$$

$$T = \left( \frac{c'}{F} \cdot L + N' \times \frac{\tan \varphi'}{F} \right)$$

$$\frac{c'}{F} = c'_d = c'_m$$

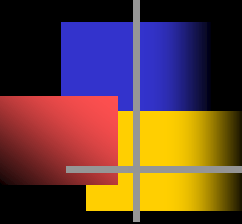
coesão  
desenvolvida ou  
mobilizada

$$\frac{\tan \varphi'}{F} = \tan \varphi'_d$$

atrito  
desenvolvido ou  
mobilizado

$$\frac{\tan \varphi'}{F} = \tan \varphi'_m$$

$$T = (c'_d + N' \times \tan \varphi'_d)$$



# Pesquisa de $\beta_c$ baseada em $c'_d$ e $\varphi'_d$

$$\frac{c_d}{\gamma \cdot H} = \frac{N_E}{F} = \frac{1}{2} \cdot \frac{\text{sen}(\alpha - \beta) \cdot \text{sen}(\beta - \varphi_d)}{\text{sen} \alpha \cdot \cos \varphi_d}$$

## Pesquisa da superfície crítica

$$\frac{\partial F}{\partial \beta} = 0 \Rightarrow \beta = \beta_c = \frac{\alpha + \varphi_d}{2}$$

# Solução analítica iterativa, não explícita em F

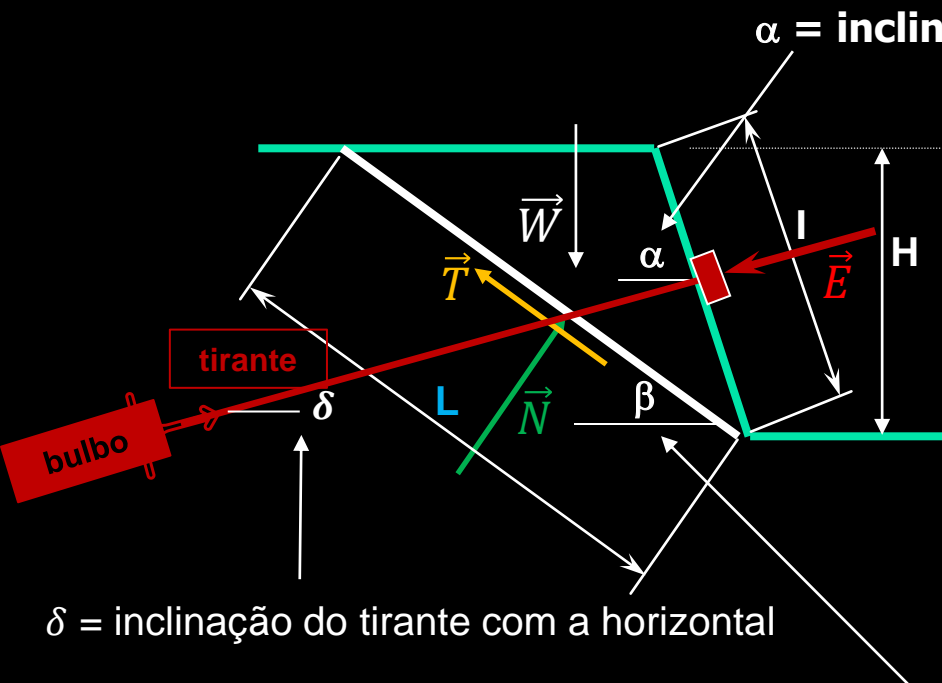
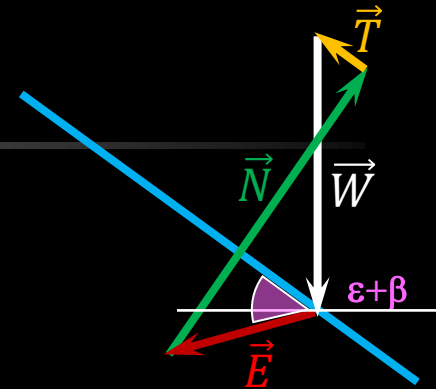
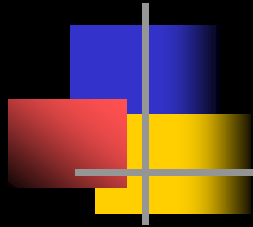
$$\text{Com: } \beta_c = \frac{\alpha + \varphi_d}{2}$$

iterativa na expressão  
iterativa nos ábacos  
iterativa nas planilhas

$$\frac{c_d}{\gamma \cdot H} = \frac{N_E}{F} = \frac{1 - \cos(\alpha - \varphi_d)}{4 \cdot \text{sen } \alpha \cdot \cos \varphi_d}$$

**Não vale para taludes com  
inclinação inferior a cerca de 60°**

# Talude íngreme com tirante



$\alpha =$  inclinação do talude

$\delta =$  inclinação do tirante com a horizontal

$\beta =$  inclinação da superfície de escorregamento ( $\beta_c$  para a crítica)

- Equilíbrio
- $\vec{W} + \vec{T} + \vec{N} + \vec{E} = \vec{0}$
- Limite:
  - $T = S / F$
  - $T = (c' \cdot L + N' \cdot \tan \phi') / F$

# Equilíbrio limite com tirante

$$N - E \sin(\delta + \beta) - W \cos \beta = 0$$

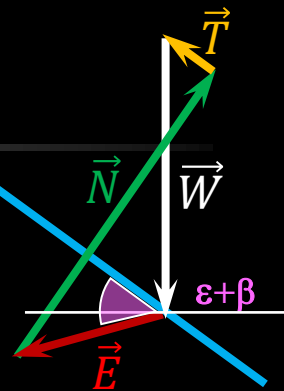
$$N' = W \cos \beta - U + E \sin(\delta + \beta)$$

$$T + E \cos(\varepsilon + \beta) = W \sin \beta$$

$$T = W \sin \beta - E \cos(\delta + \beta)$$

Equilíbrio na direção normal

Equilíbrio na direção tangencial



$$T = \frac{S}{F} = \frac{cL + N' \tan \varphi}{F} = \frac{cL + [W \cos \beta - U + E \sin(\delta + \beta)] \tan \varphi}{F}$$

Limite

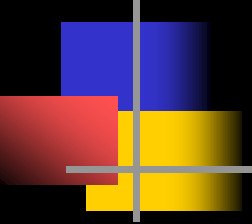
$$E = \frac{-c \frac{H}{\sin \beta} + FW \sin \beta - W \cos \beta \tan \varphi + U \tan \varphi}{[F \cos(\beta + \delta) - \sin(\beta + \delta) \tan \varphi]} \quad L = \frac{H}{\sin \beta}$$

$$E = \frac{F * W \sin \beta - c \frac{H}{\sin \beta} - W \cos \beta * \tan \varphi + U * \tan \varphi}{(F * \cos(\beta + \delta) + \sin(\beta + \delta) * \tan \varphi)}$$

Qual o  $\beta$   
que leva ao  
E mínimo?

Simplem com “Solver” de planilha eletrônica





(W = Peso da cunha com  
terrapleno horizontal)

---

$$W = \gamma A \quad A = \frac{1}{2} LI \sin(\alpha - \beta) \quad I = \frac{H}{\sin \alpha}$$

$$A = \frac{1}{2} \frac{H}{\sin \beta} \frac{H}{\sin \alpha} [\sin \alpha \cos \beta - \sin(\beta) \cos \alpha]$$

$$A = \frac{1}{2} H^2 \left[ \frac{1}{\tan \beta} - \frac{1}{\tan \alpha} \right]$$

$$W = \frac{1}{2} \gamma H^2 \left[ \frac{1}{\tan \beta} - \frac{1}{\tan \alpha} \right]$$



# Talude genérico

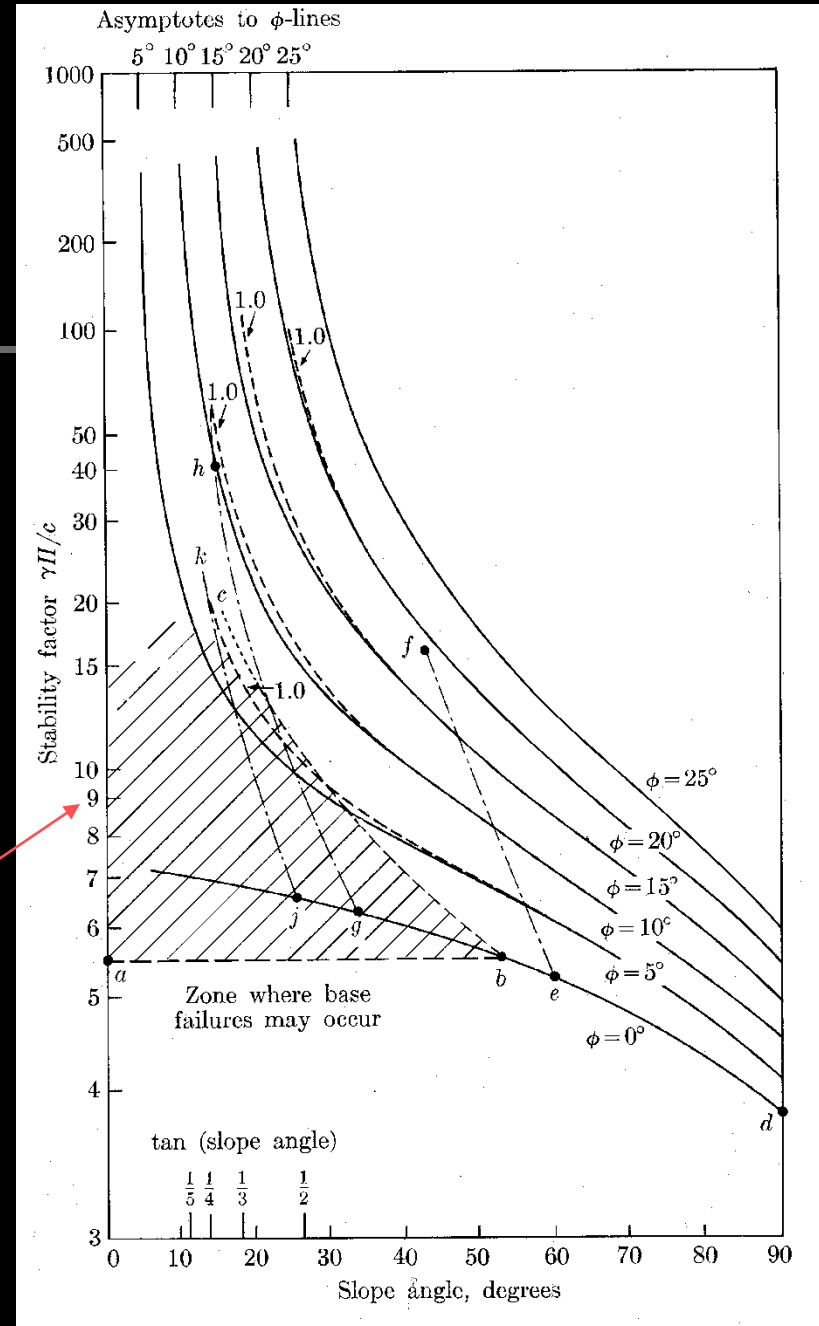
---

Ábacos para pré-dimensionamento  
(também obtidos pelo processo de  
equilíbrio limite usual)

# Ábacos de estabilidade de taludes (taludes em geral)

$$1 / N_E$$

O mesmo  $N_E$ , número de estabilidade, do talude infinito!

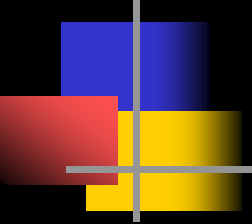




# Talude genérico

---

Processos de análise de  
equilíbrio limite



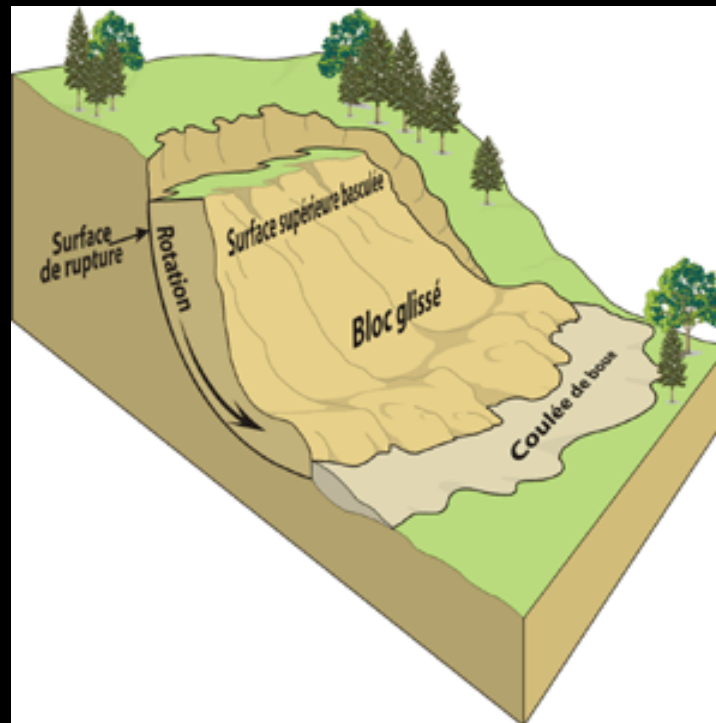
# Análise de estabilidade

## Processo do equilíbrio limite

---

- Identificar tipo de instabilidade (modo de ruína)
- Escolher superfície de escorregamento para análise
- Identificar massa em escorregamento delimitada pela superfície escolhida
- Identificar forças atuantes na massa
- Atribuir às tensões na superfície de escorregamento valor compatível com o critério de resistência (minorado por  $F$ )
- Escrever equações de equilíbrio
- **Pesquisar superfície mais crítica**

# Escorregamento rotacional

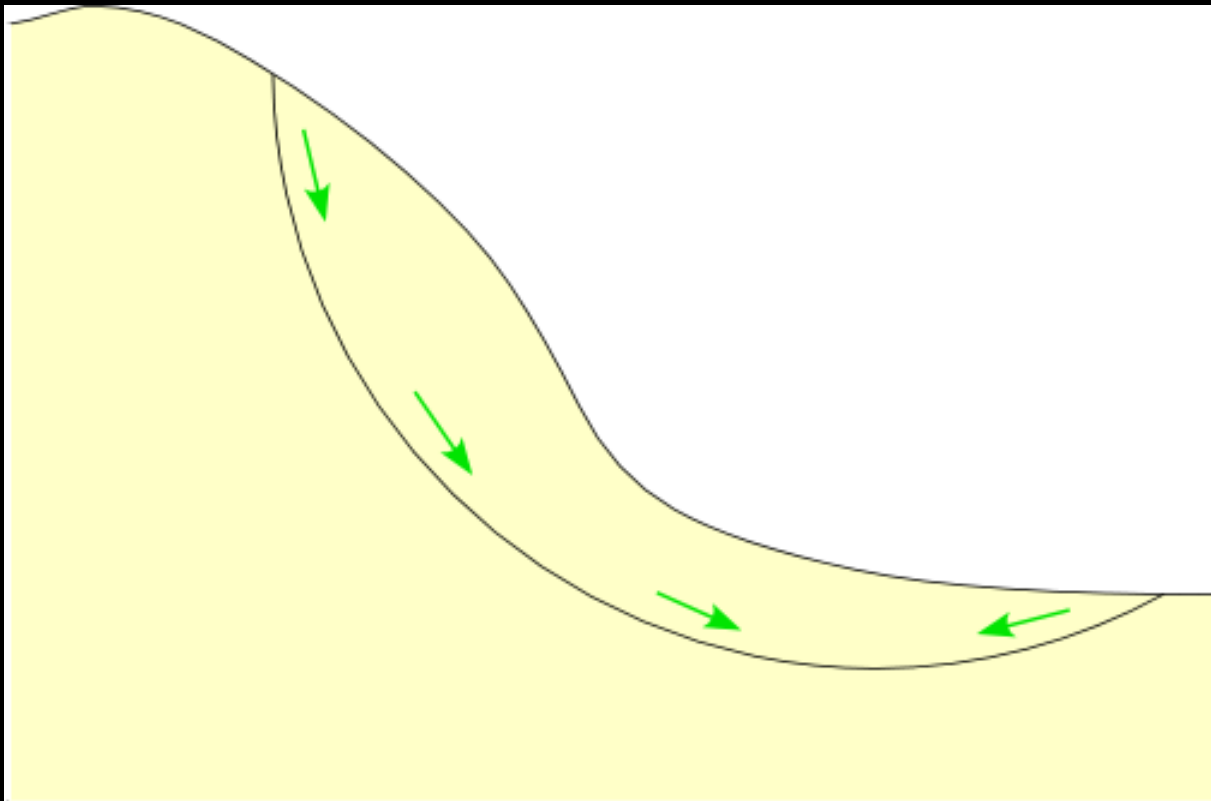


12/10/2018

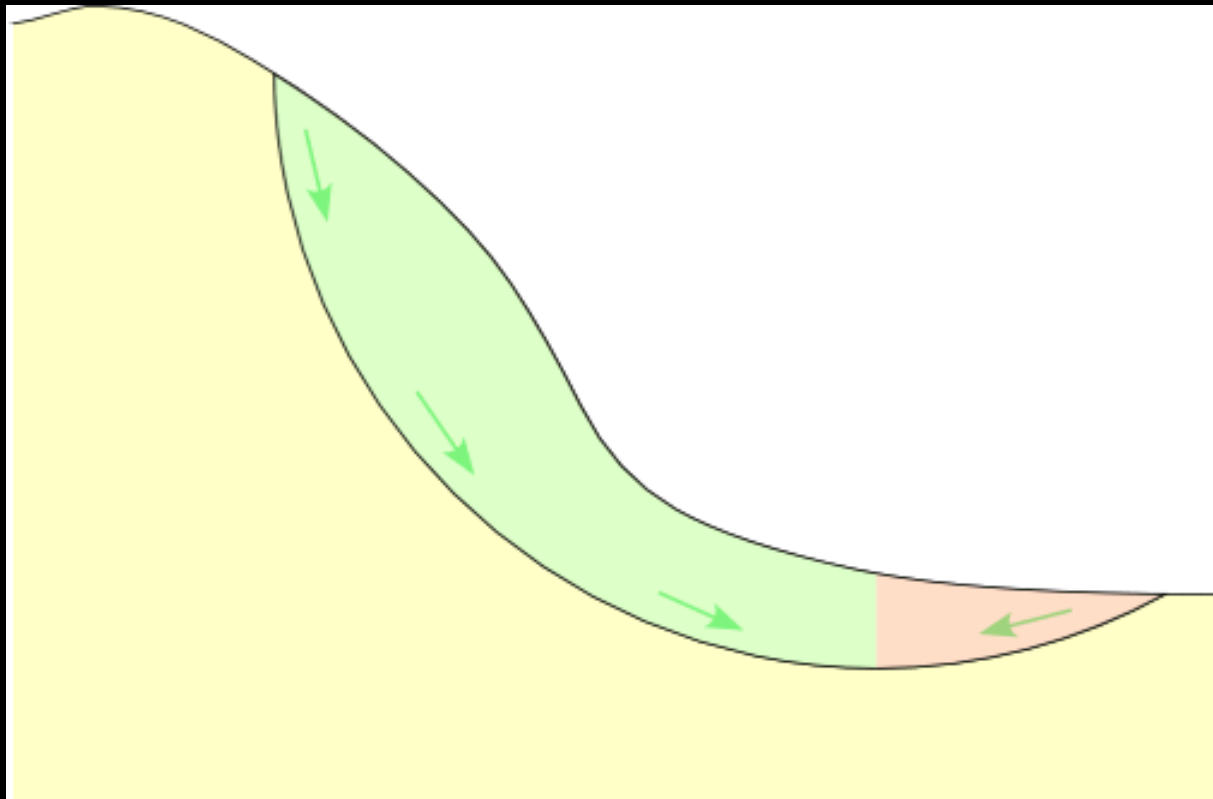
Waldemar Hachich

83

# Escolher superfície para análise (2D?)

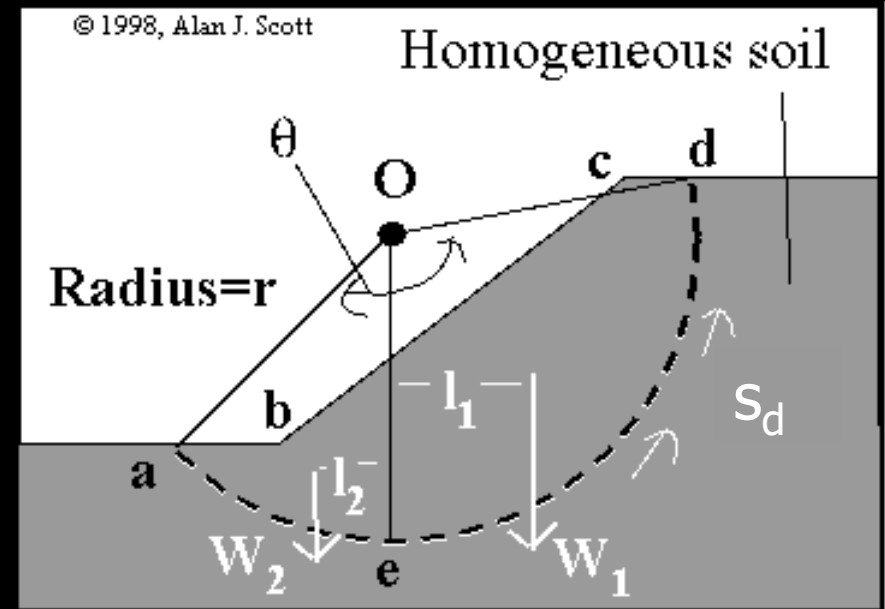
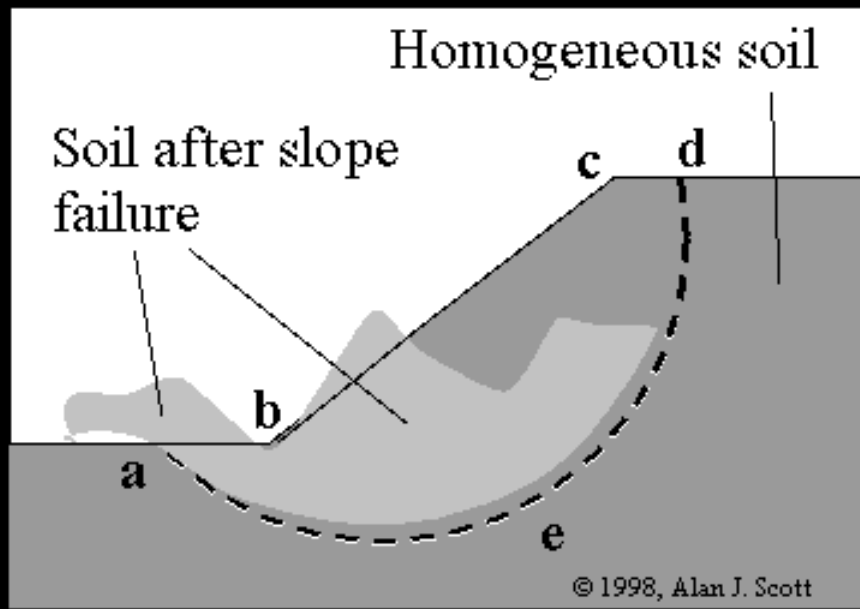


# Massa em escorregamento

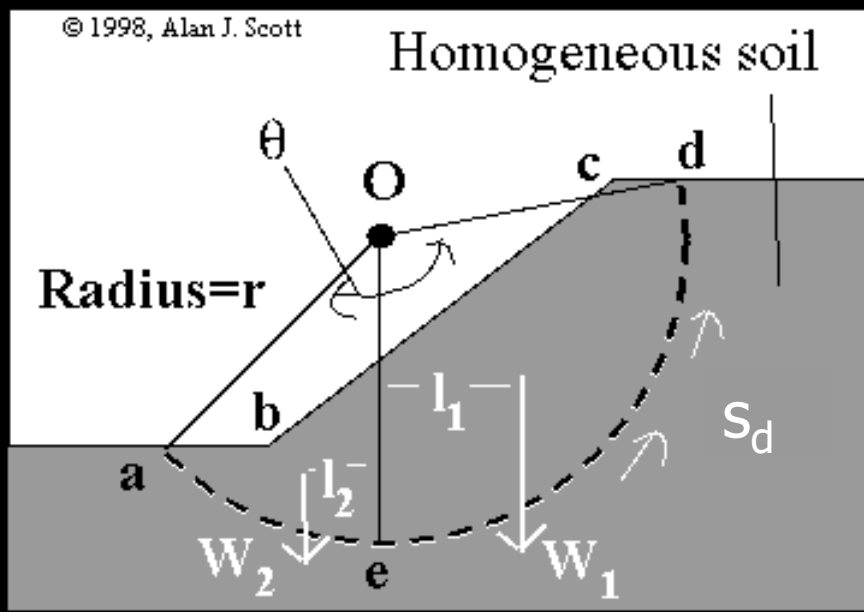




# Forças atuantes na massa

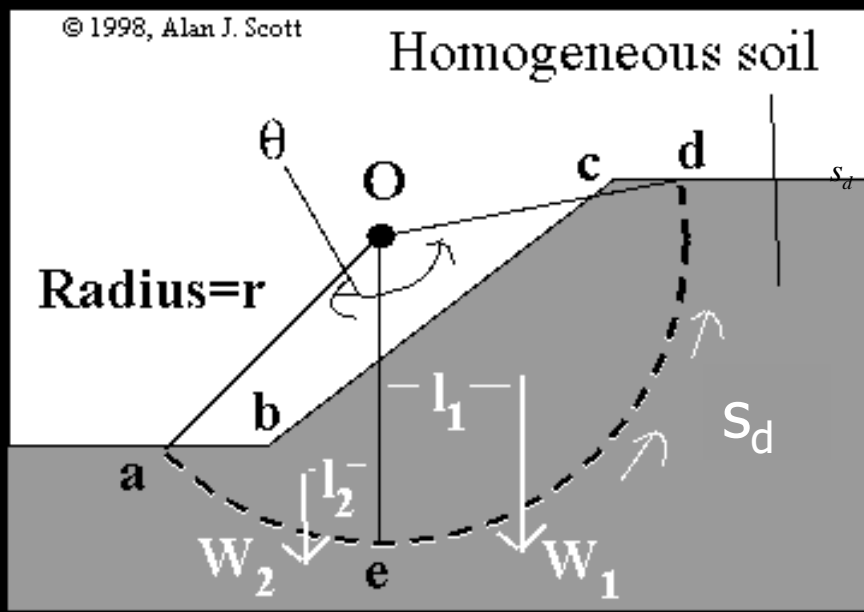


# Tensão de cisalhamento na superfície = resistência / F



$$S_d = s / F$$

# De acordo com a situação, resistência / F pode ser...



$$S_d = \begin{aligned} & s_u / F \\ & \text{ou} \\ & c' / F + \sigma' (\text{tg } \phi') / F \end{aligned}$$

# Equações de equilíbrio da massa

- Equilíbrio de **forças** na direção **vertical**
- Equilíbrio de **forças** na direção **horizontal**
- Equilíbrio de **momentos**
  - $M_S = W_1 \ell_1 - W_2 \ell_2$
  - $M_D = M_R/F = s_d (\text{arco}) \times 1 \times r$
  - Equilíbrio limite:  $M_S = M_D$

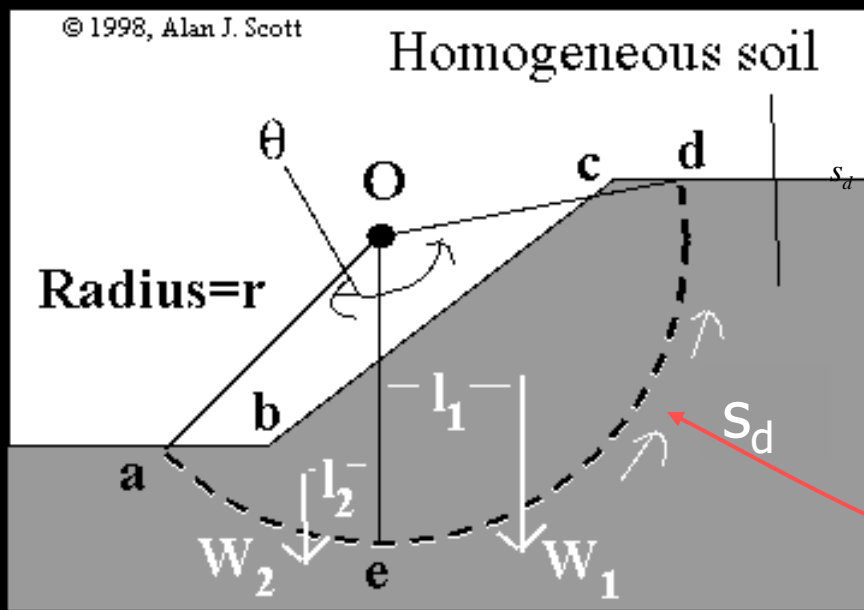
# Equilíbrio de momentos da massa

- $M_S = W_1 \ell_1 - W_2 \ell_2$
- $M_D = M_R/F = s/F (\theta \times r) \times 1 \times r$
- Equilíbrio limite:  $M_S = M_D$

- $$F = \frac{M_R}{M_S}$$

$$F = \frac{s \theta r^2}{W_1 \ell_1 - W_2 \ell_2}$$

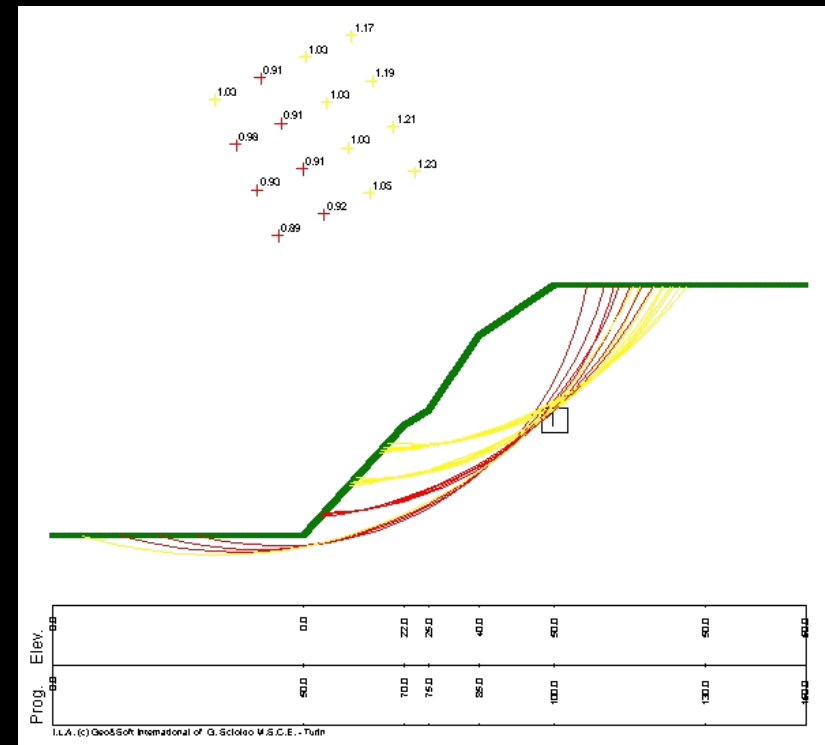
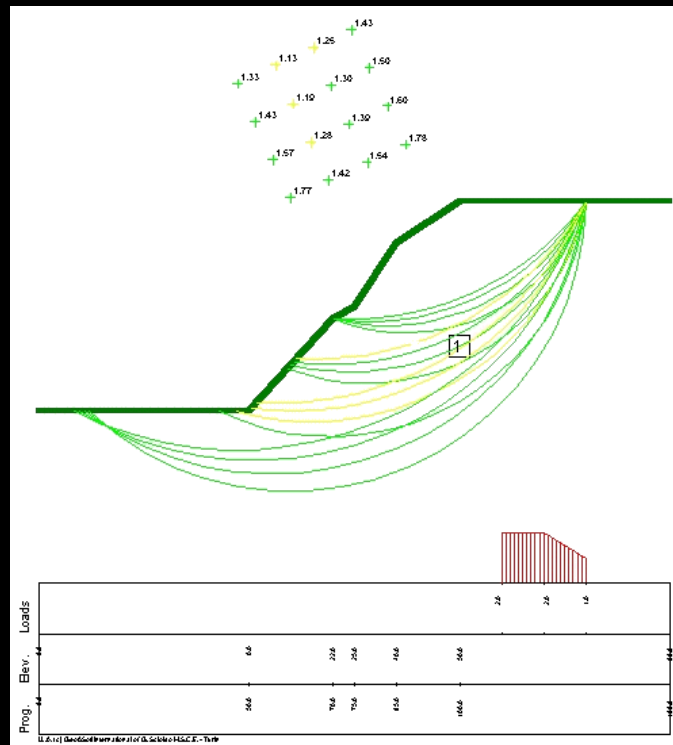
# Superfície analisada é a mais crítica?



$$F = \frac{s \theta r^2}{W_1 l_1 - W_2 l_2}$$

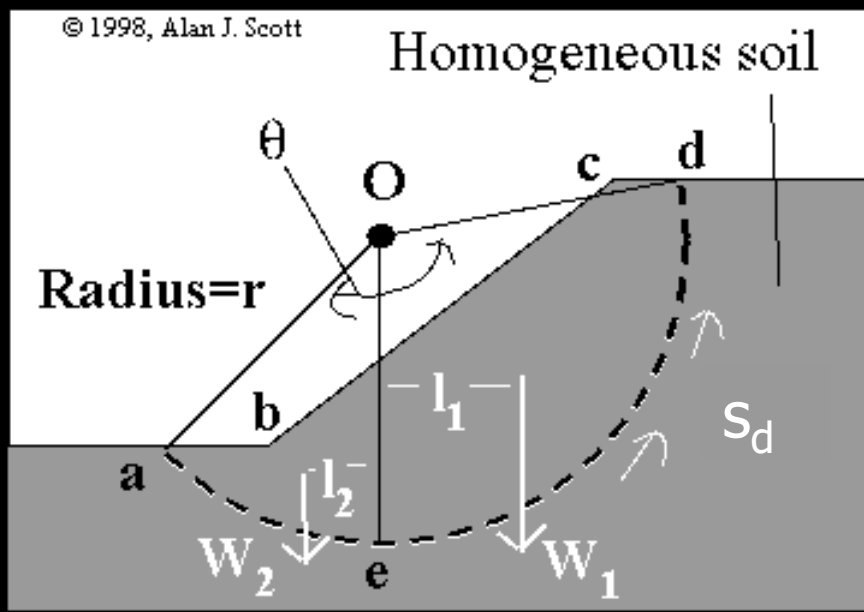
Necessário pesquisar superfície de mínimo  $F$

# Pesquisar superfície crítica ( $F_{\min}$ )



12/10/2018

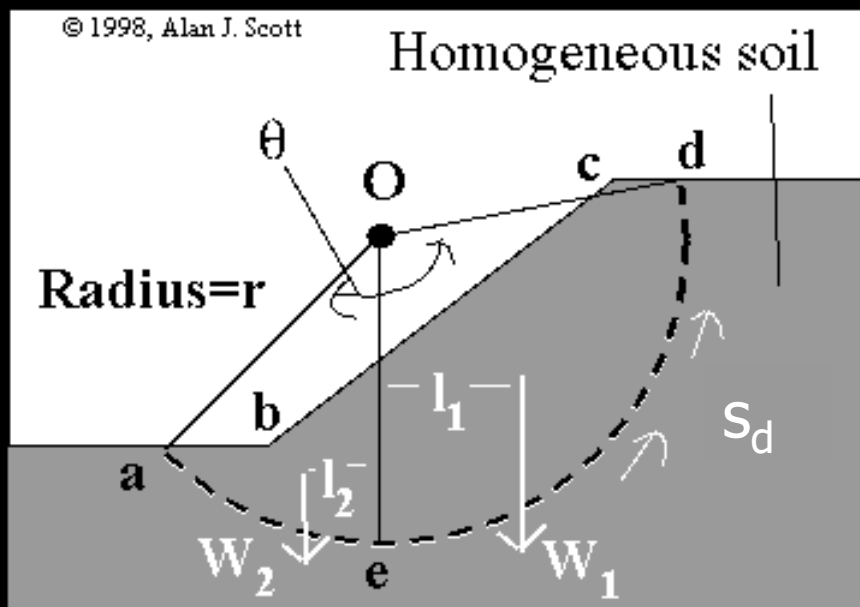
# Massa precisa ser dividida em fatias (lamelas)?



$$S_d = S / F$$



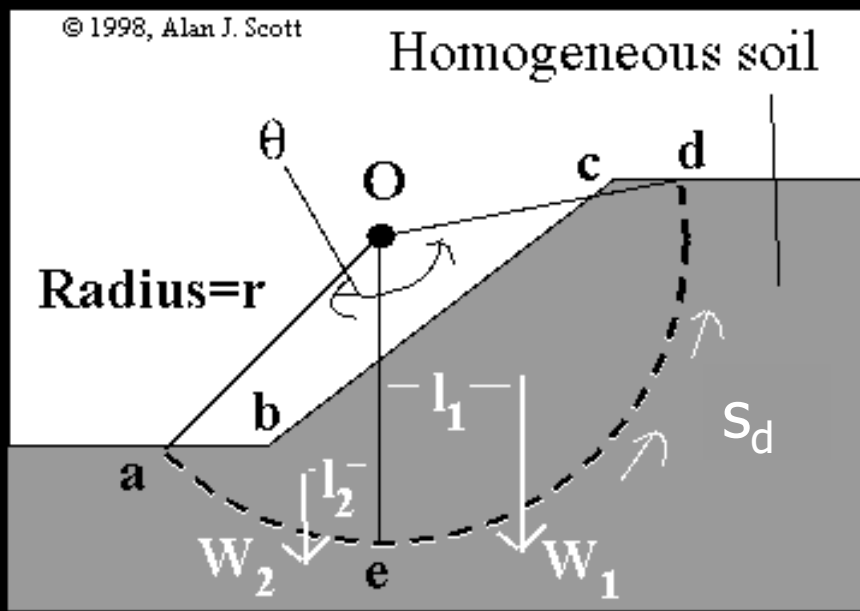
# Massa precisa ser dividida em fatias (lamelas)?



$$S_d = s / F$$

**Fatias só se a resistência ( $s$ ) depender da tensão normal**

# Talude genérico com $s = s_u$

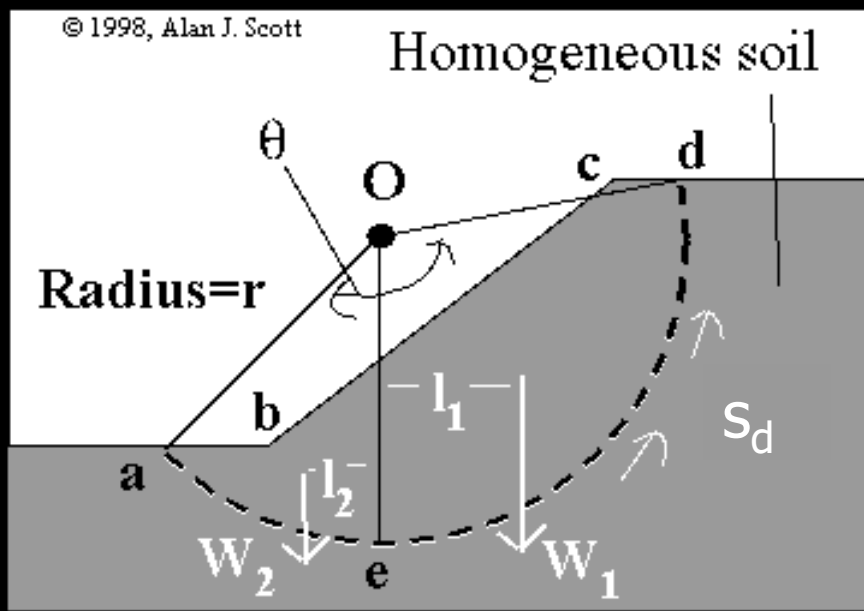


$$F = \frac{s \theta r^2}{W_1 l_1 - W_2 l_2}$$

Se  $s = s_u$  ( $s$  não depende de atrito)...

**Desnecessário calcular força normal**

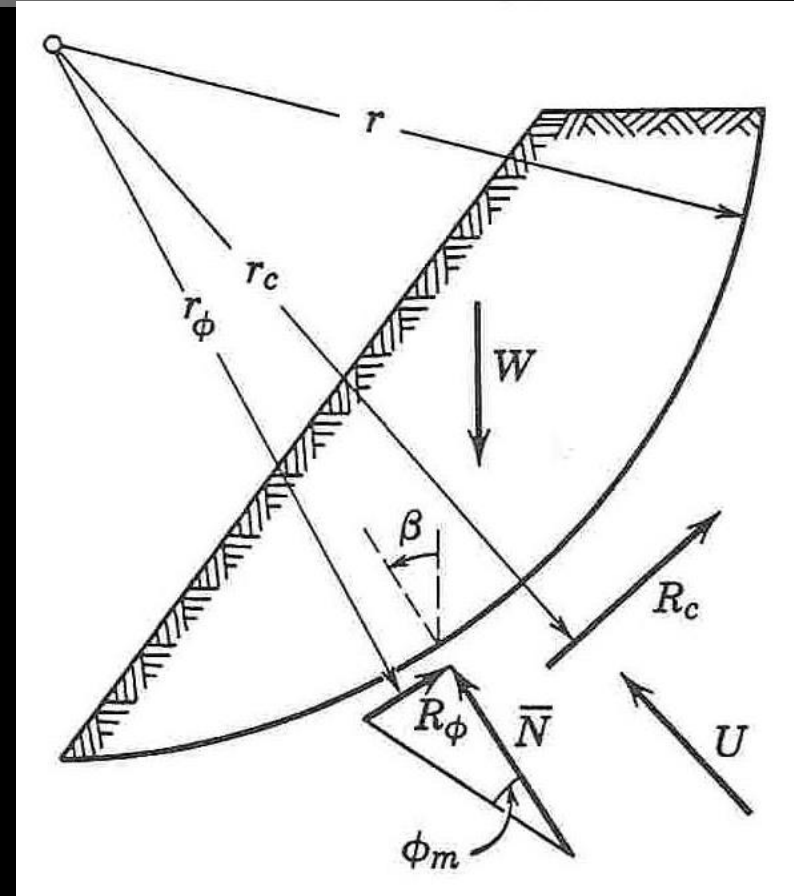
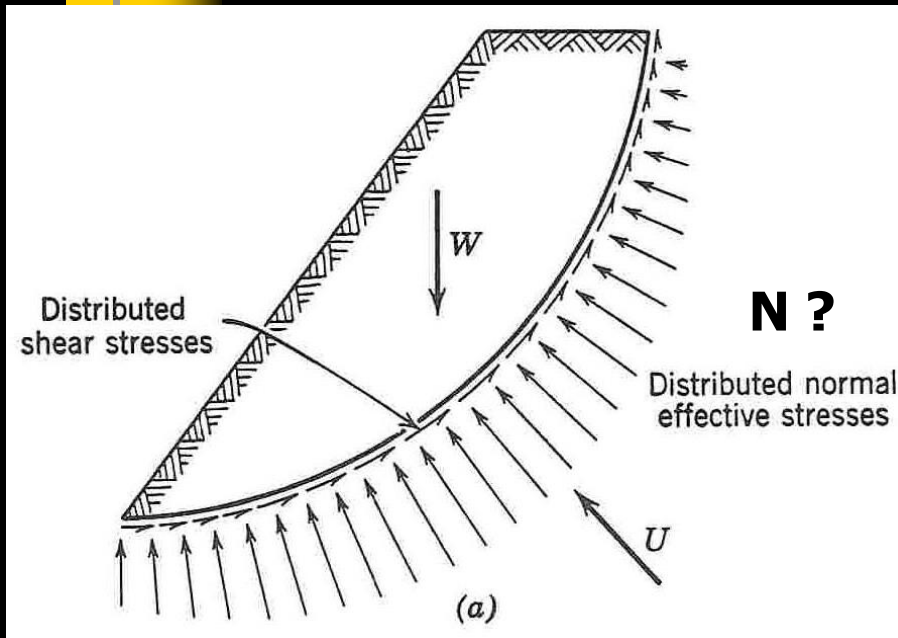
Mas se  $s$  depende do atrito (e, portanto, da tensão normal)...



$$S_d = c' / F + \sigma' (\text{tg } \phi') / F$$

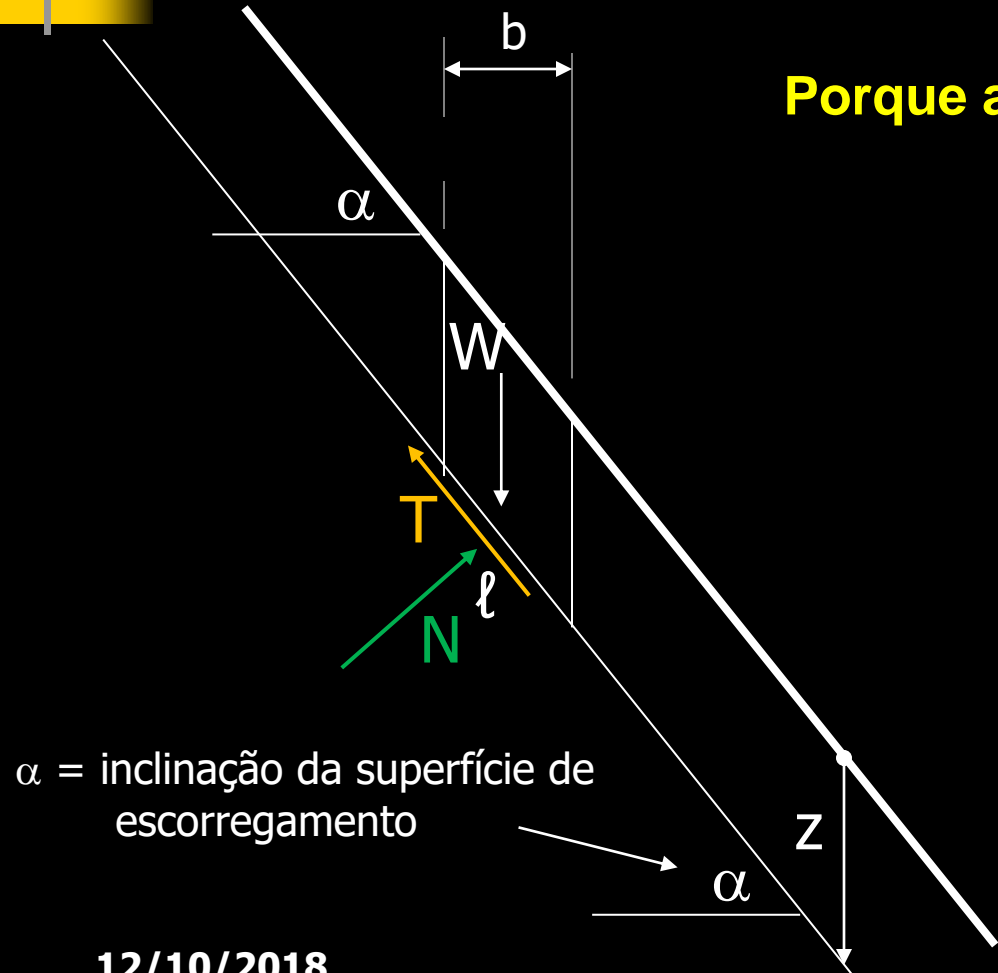
Lamelas para calcular força normal

# Qual a força normal resultante na massa em escorregamento?

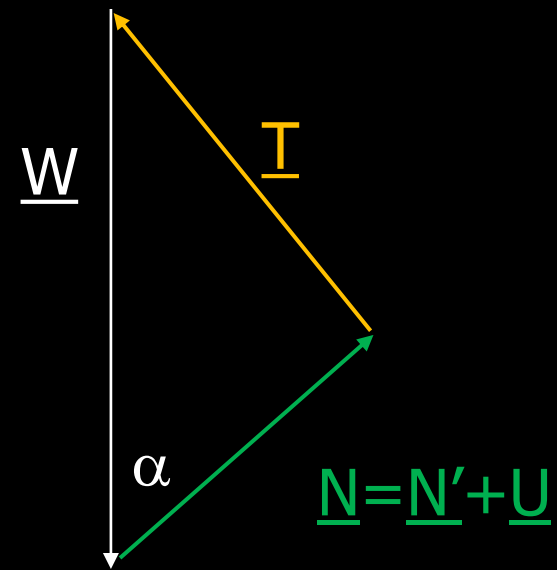


# Não havia problema em talude infinito

Porque a direção de  $N$  era conhecida!



$\alpha$  = inclinação da superfície de escorregamento



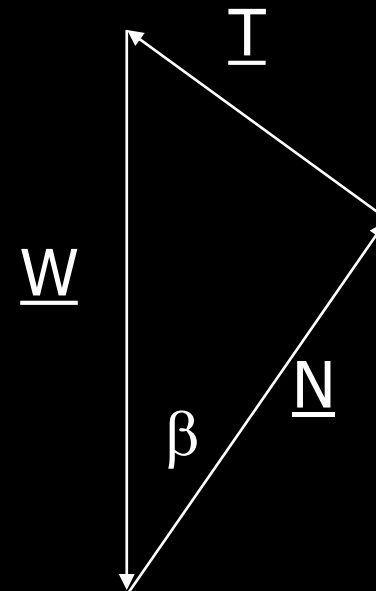
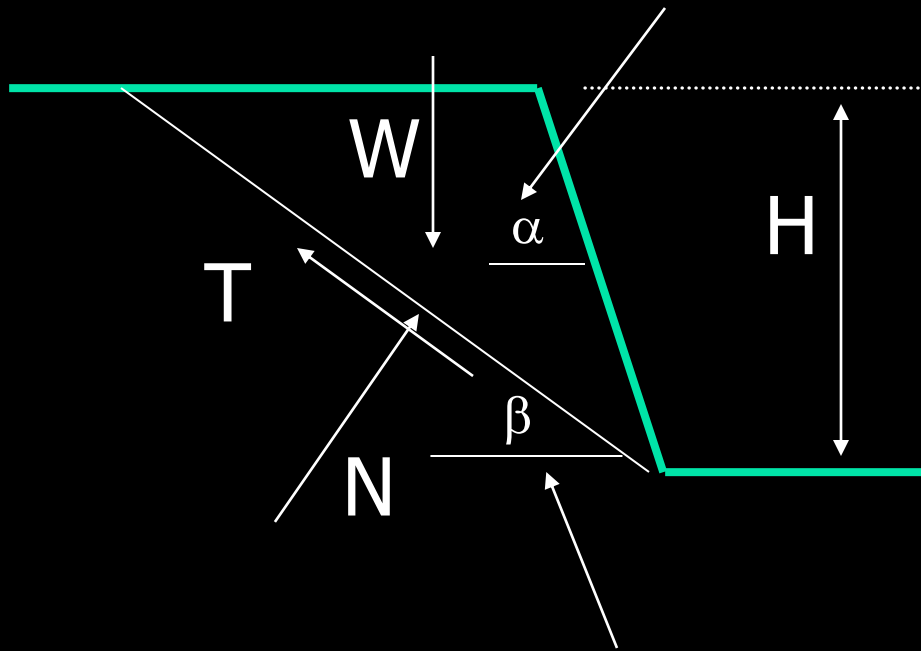
12/10/2018

Waldemar Hachich

# Não havia problema em talude íngreme

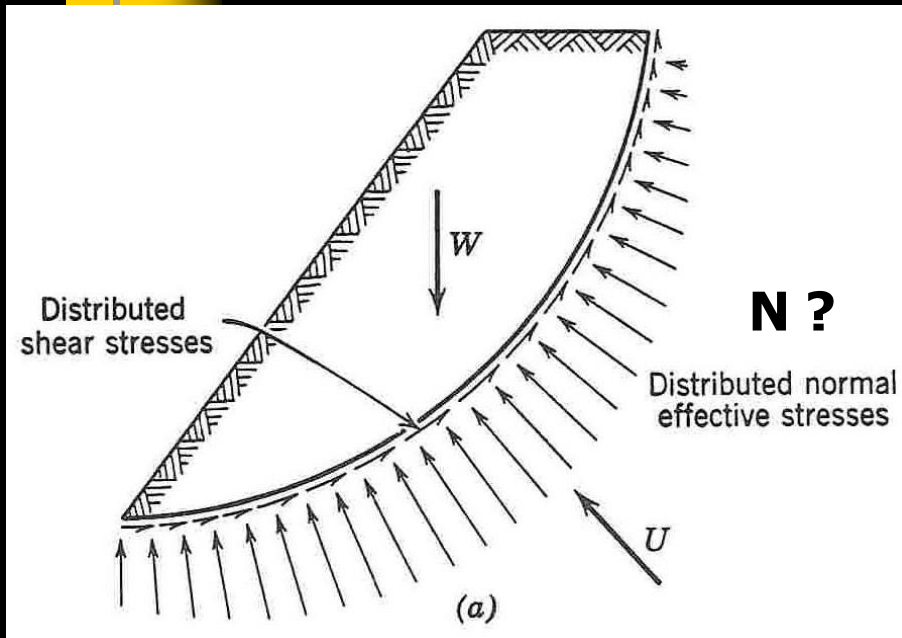
$\alpha$  = inclinação do talude

**Porque a direção de N era conhecida!**



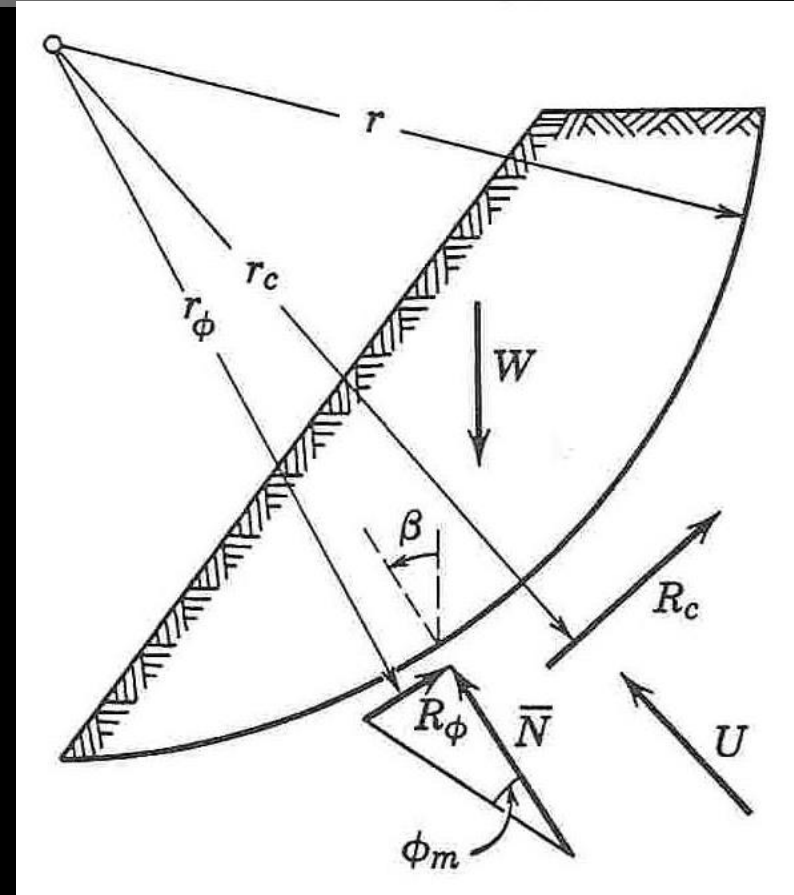
$\beta$  = inclinação da superfície de escorregamento ( $\beta_c$  para a crítica)

# Qual a força normal resultante na massa em escorregamento?

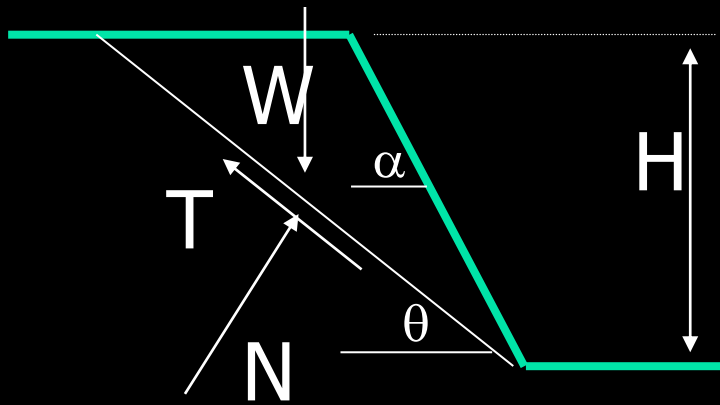


**SOLUÇÃO:**

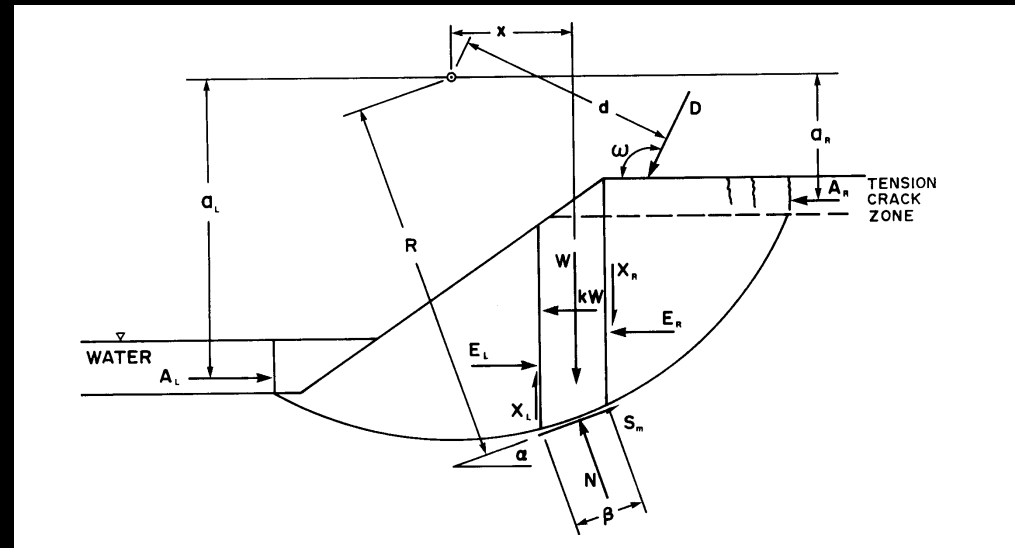
**Dividir em Lamelas**



# Lamelas: essencialmente para estimar as forças normais



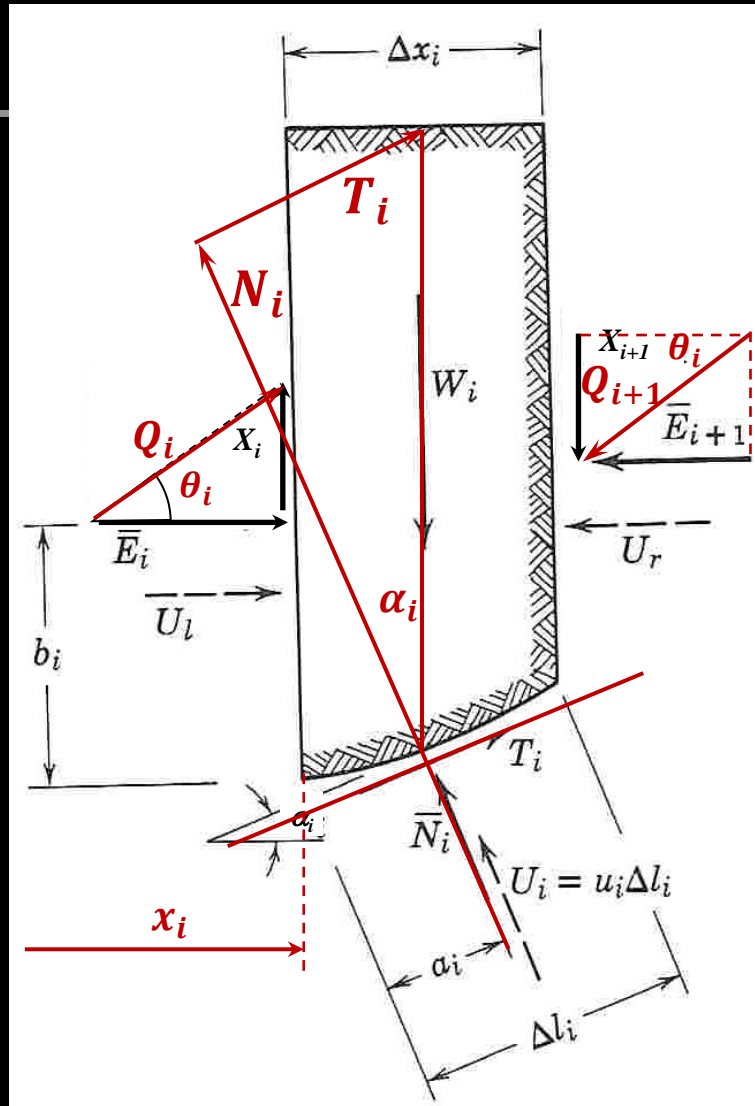
Lamelas desnecessárias



Lamelas necessárias



# Forças atuantes na lamela $i$



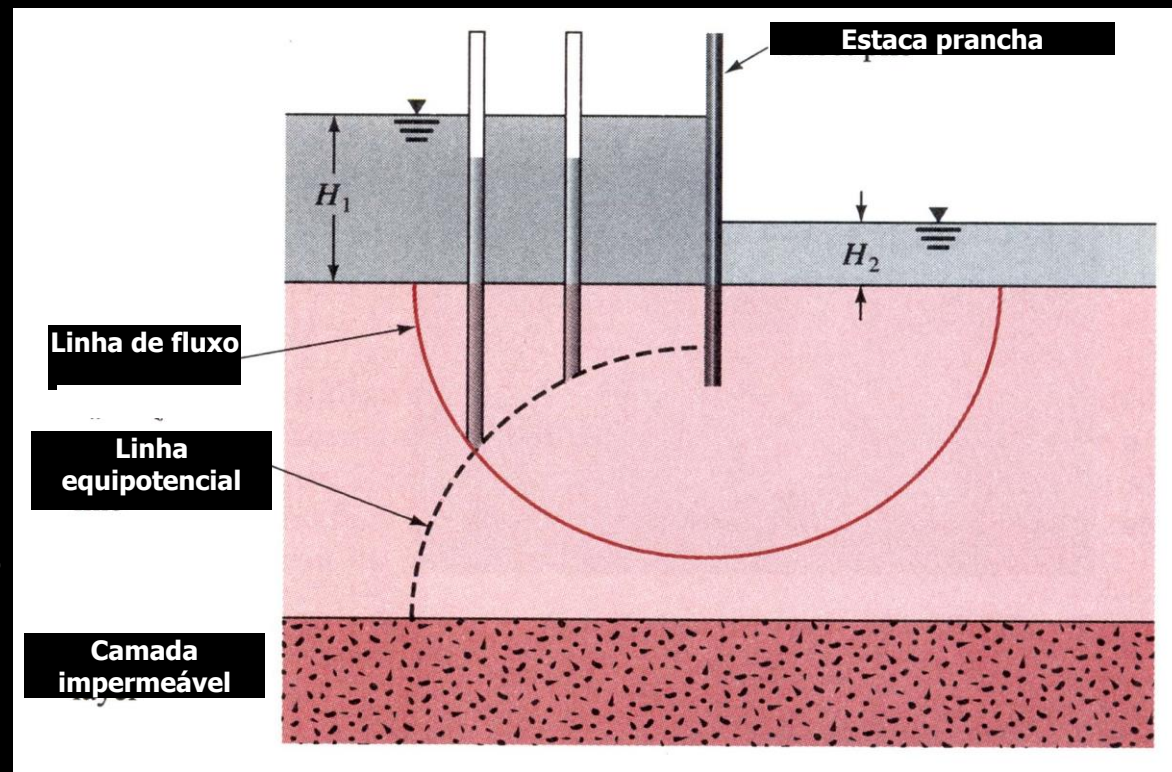
Forças interlamelares:

$Q_i$  e sua direção ( $\theta_i$ ) ou suas componentes horizontal e vertical

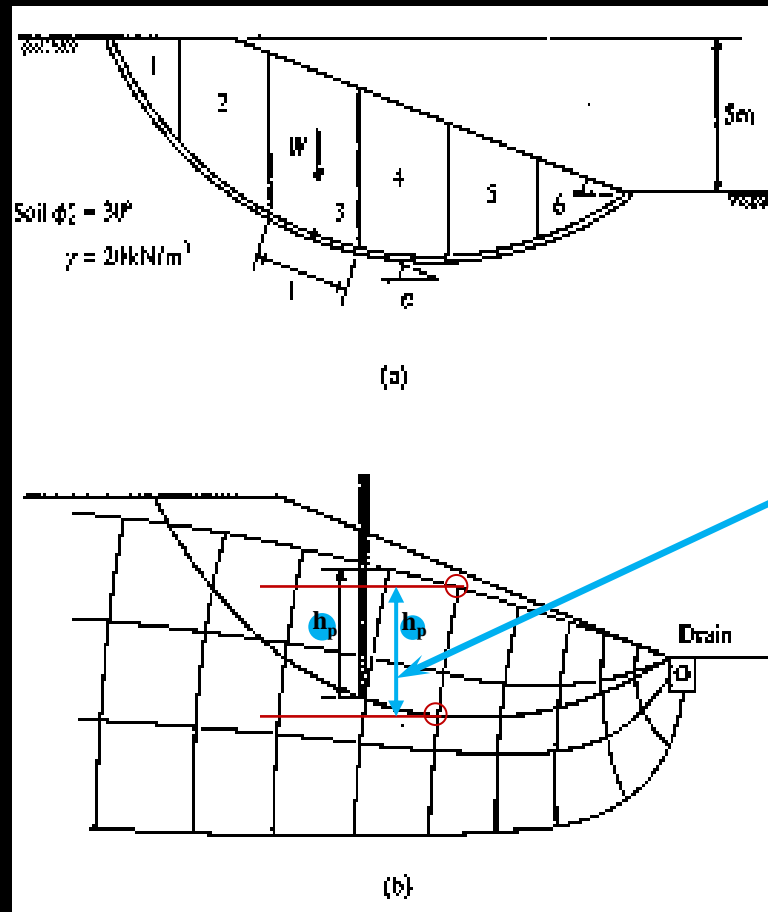
$$T_i = S_{d_i} = \frac{S_i}{F}$$

# Pressões neutras em qualquer análise de fluxo (e de estabilidade drenada)

- Se forem colocados piezômetros ao longo de uma equipotencial, os níveis de água serão os mesmos em todos eles.
- Isto significa que a carga total é constante ao longo de uma equipotencial.

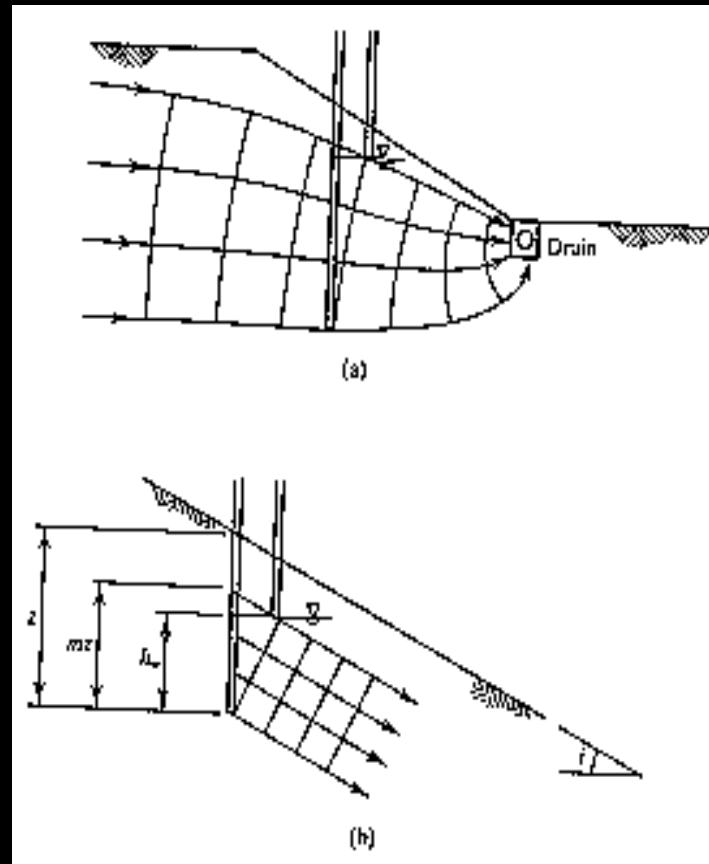


# Pressões neutras no processo das lamelas

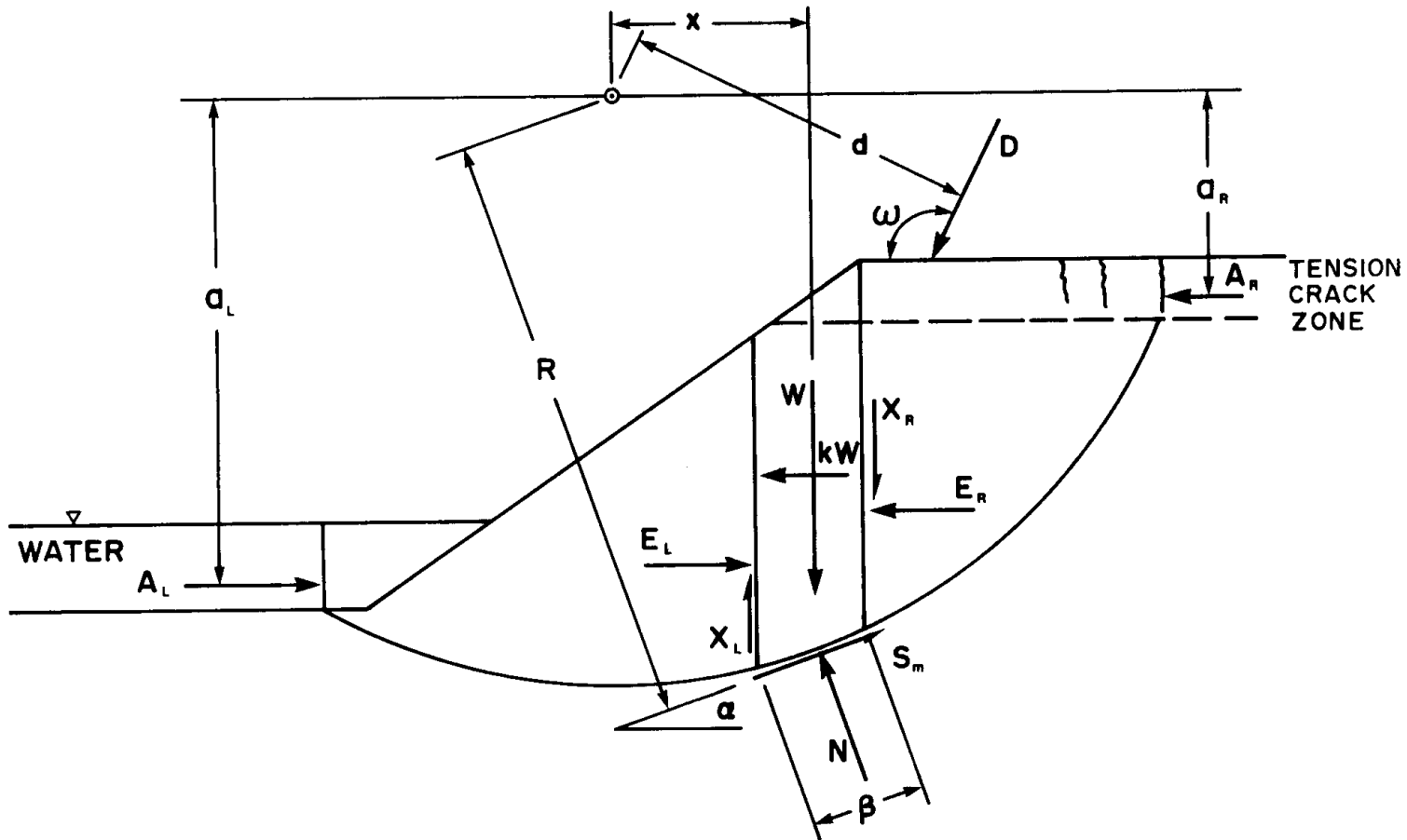


Não esquecer das pressões neutras na superfície de escorregamento!

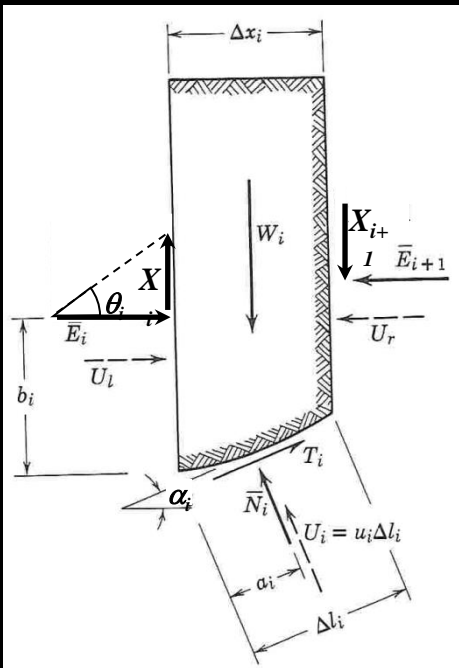
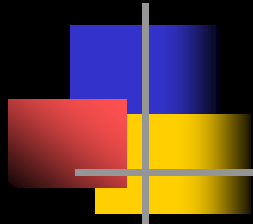
# Determinação (usual) das pressões neutras de percolação



# Forças em uma lamela: superfície circular



# Problema hiperestático: Incógnitas > Equações



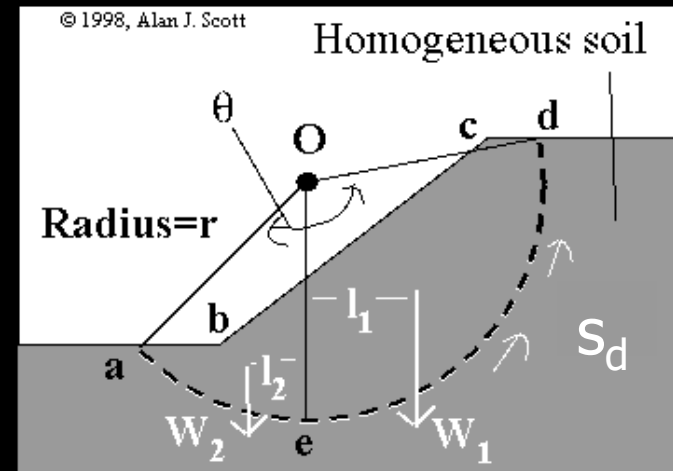
Incógnitas			Equações Disponíveis	
Tipo	Número	Sub-Total	Tipo	Número
$\bar{N}$	$n$	$3n-1$	equilíbrio de forças	$2n$
$F$	$1$			
$\bar{E}$	$n-1$			
$X$ (ou $\theta$ )	$n-1$	$2n-1$	equilíbrio de momentos	$n$
$a$	$n$			
$b$	$n-1$			
$n^\circ$ total de incógnitas		$5n-2$	$n^\circ$ total de equações	$3n$

- **$n = 1$ , lamela (ou cunha) única**
- **Mais hipóteses simplificadoras**
- **Introdução da rigidez do material para cálculo tensão-deformação**

# Equilíbrio de momentos da massa (sem lamelas)

- $M_S = W_1 \ell_1 - W_2 \ell_2$
- $M_D = M_R/F = s_d (\theta \times r) \times 1 \times r$
- Equilíbrio limite:  $M_S = M_D$

- $$F = \frac{M_R}{M_S}$$



$$F = \frac{s \theta r^2}{W_1 \ell_1 - W_2 \ell_2}$$

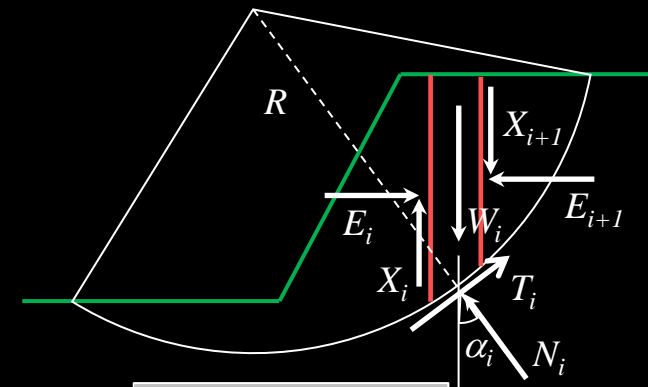
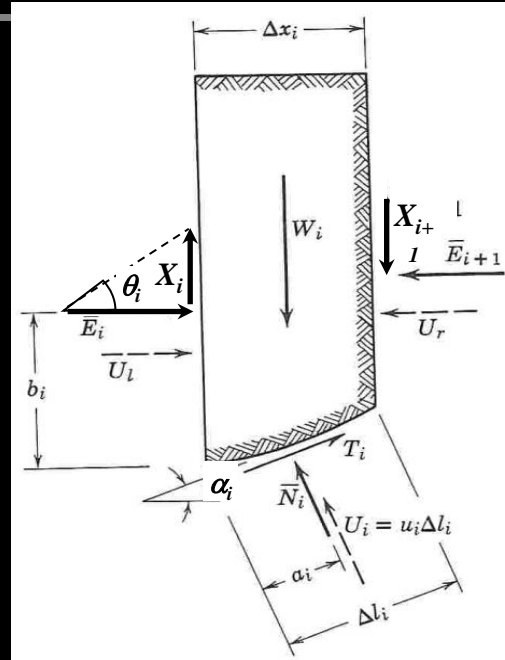
s não depende de  $\sigma'$  (e  $N'$ )

# Equilíbrio de momentos da massa (com lamelas)

$$M_S = \sum W_i R \sin \alpha_i$$

$$M_R = \sum S_i R$$

$$M_D = \sum T_i R = \sum \frac{S_i}{F} R$$



$$\bar{N}_i = N_i - U_i$$

Equilíbrio limite:  $M_S = M_D$        $F = \frac{M_R}{M_S}$

$$F = \frac{\sum S_i}{\sum W_i \sin \alpha_i}$$

$$S_i = \bar{c}_i \Delta l_i + \bar{N}_i \tan \bar{\varphi}_i$$

O único problema é mesmo **determinar  $N_i$**



# Comparação dos processos de lamelas (resumo)

## ■ Semelhanças

- Todos fazem **equilíbrio em cada lamela** para estimar a **força normal na base**
- Todos fazem alguma hipótese simplificadora (umas mais realistas, outras menos) sobre as **forças nas faces laterais** das lamelas
- Todos escrevem uma ou mais **equações de equilíbrio de toda a massa** para estimar F

## ■ Diferenças

Forças na direção normal à base	Fellenius
Forças na vertical	Bishop, Janbu
Equilíbrio completo	Spencer, M&P

Fellenius	Resultante paralela à base
Bishop, Janbu	Resultante horizontal
Spencer	Direção constante (calculada)
M&P	Direção variável definida por função

Só momento	Fellenius, Bishop
Só força horizontal	Janbu
Forças e momento	Spencer, M&P

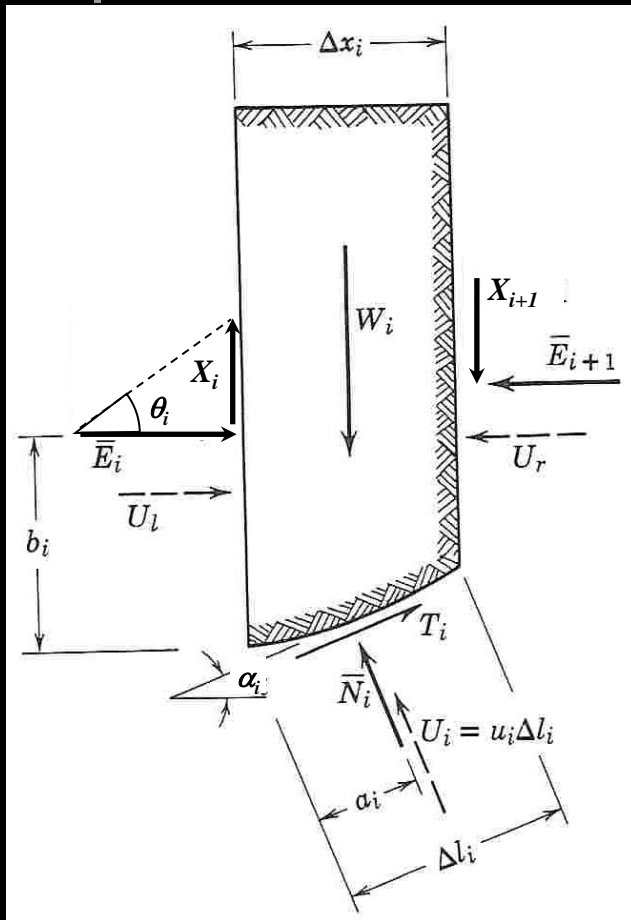
# Processo de Fellenius (hipótese e consequência)

Hipótese simplificadora adicional:

$(\vec{E}_i + \vec{X}_i + \vec{E}_{i+1} + \vec{X}_{i+1}) = \vec{B}_i$  é paralela à base da lamela (não tem componente radial)

Consequência conveniente:

Equilíbrio de forças na direção normal à base da lamela  $\Rightarrow$   
 $\Rightarrow N$  independente das forças inter-lamelares (e de  $T$ !)



# Processo de Fellenius (outras consequências)

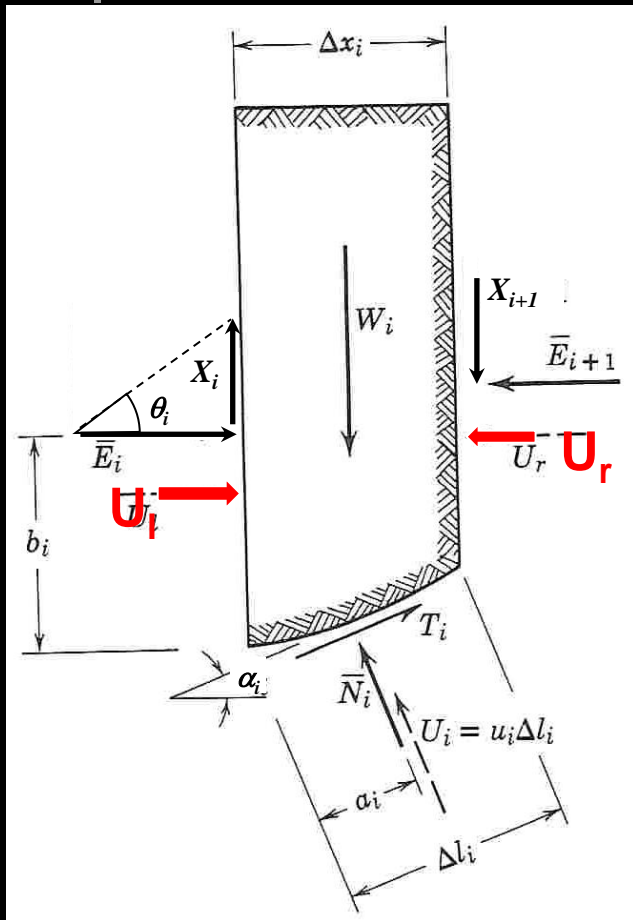
Hipótese inclui  $U$  nas interfaces!

$(\vec{E}_i + \vec{X}_i + \vec{E}_{i+1} + \vec{X}_{i+1}) = \vec{B}_i$  é paralela à base da lamela (não tem componente radial)

Consequência indesejável:

Componentes radiais das pressões neutras horizontais também são ignoradas!

Quanto maiores, maior o erro no F: de maneira geral 5% a 15% a favor da segurança.



# Processo de Fellenius (equações resultantes)

Equilíbrio na direção radial:

$$\bar{N}_i + U_i = W_i \cos \alpha_i$$

$$\Delta l_i = \frac{\Delta x_i}{\cos \alpha_i}$$

$$\bar{N}_i = W_i \cos \alpha_i - u_i \Delta l_i$$

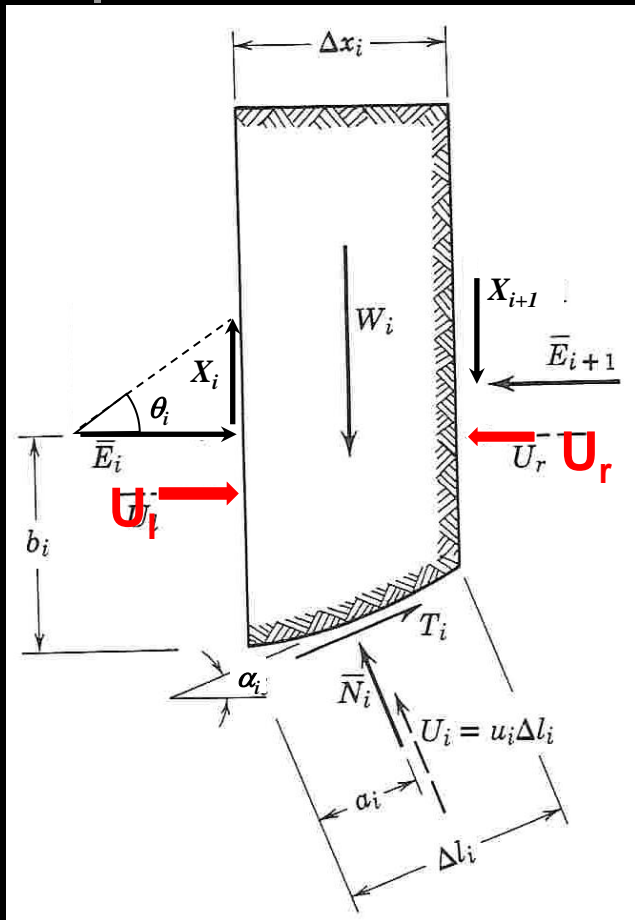
Lembrando que (slide 107):

$$F = \frac{\sum S_i}{\sum W_i \sin \alpha_i}$$

e

$$S_i = \bar{c}_i \Delta l_i + \bar{N}_i \tan \bar{\varphi}_i$$

$$F = \frac{\sum [\bar{c}_i \Delta l_i + (W_i \cos \alpha_i - u_i \Delta l_i) \tan \bar{\varphi}_i]}{\sum W_i \sin \alpha_i}$$



# Processo de Bishop

(hipótese e consequência)

Hipótese simplificadora adicional:

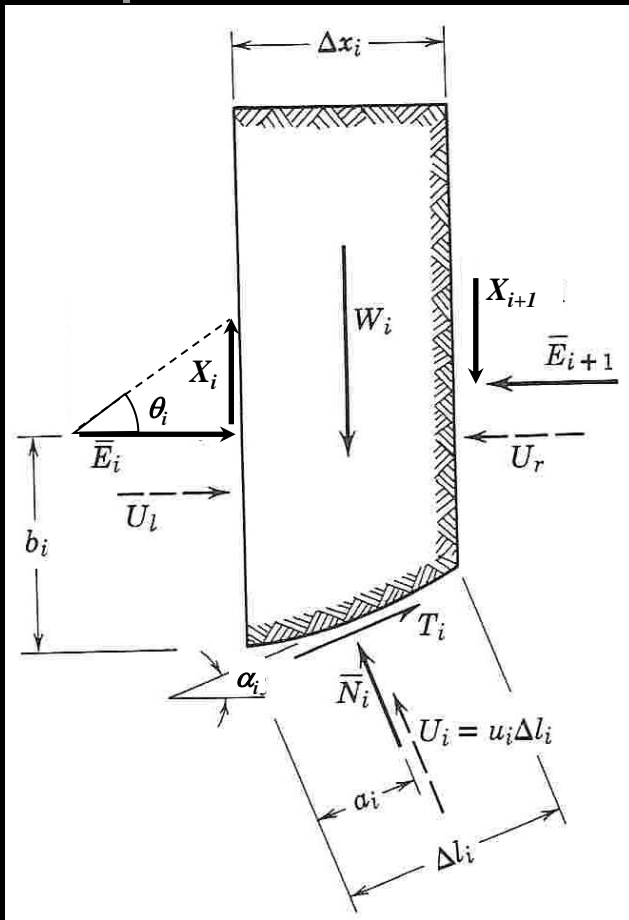
$(\vec{E}_i + \vec{X}_i + \vec{E}_{i+1} + \vec{X}_{i+1}) = \vec{B}_i$  é horizontal (não tem componente vertical)

Consequências:

$$\vec{X}_i + \vec{X}_{i+1} = \vec{0}$$

Equilíbrio de forças na direção vertical  $\Rightarrow$

$\Rightarrow N$  independe das forças inter-lamelares (mas não de  $T$ !)



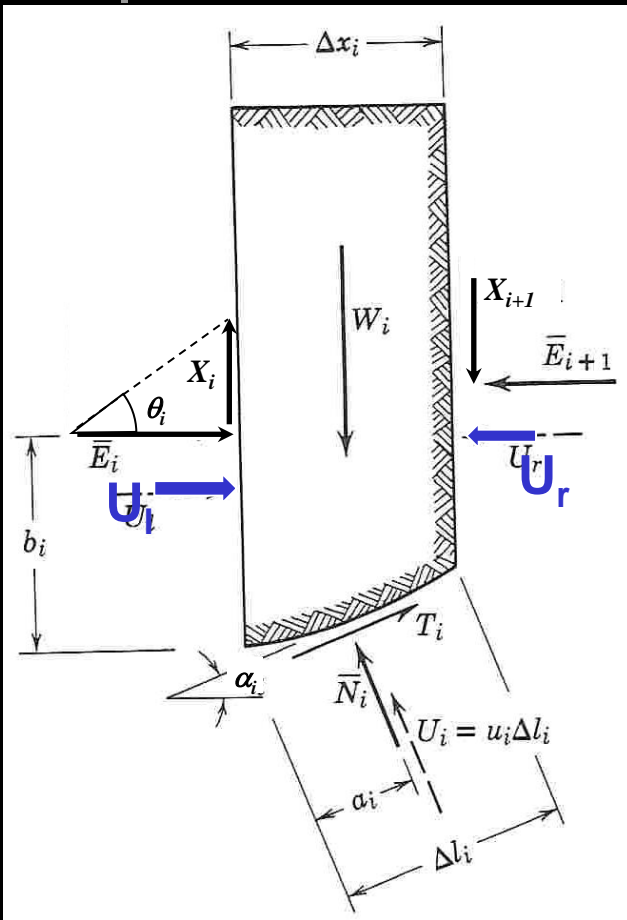
# Processo de Bishop

(outra consequência)

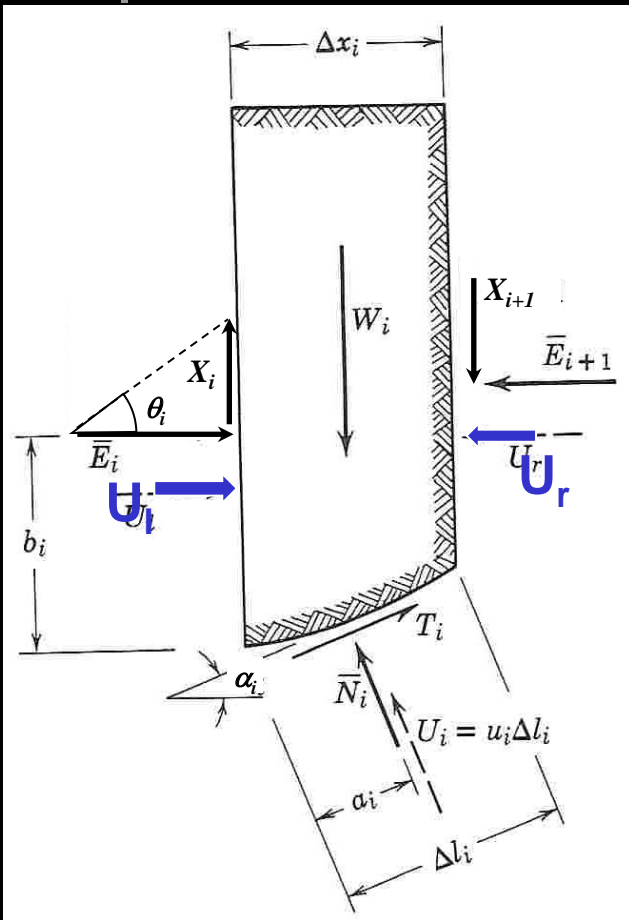
Hipótese simplificadora adicional:

$(\vec{E}_i + \vec{X}_i + \vec{E}_{i+1} + \vec{X}_{i+1}) = \vec{B}_i$  é horizontal (não tem componente vertical)

Pressões neutras nas interfaces,  $U_l$  e  $U_r$ , são mesmo horizontais, tal como admitido na hipótese simplificadora



# Processo de Bishop simplificado (equilíbrio na vertical)



Equilíbrio na direção vertical:

$$(\bar{N}_i + U_i) \cos \alpha_i + T_i \sin \alpha_i = W_i$$

$$\bar{N}_i = \frac{W_i}{\cos \alpha_i} - \frac{S_i \sin \alpha_i}{F \cos \alpha_i} - U_i$$

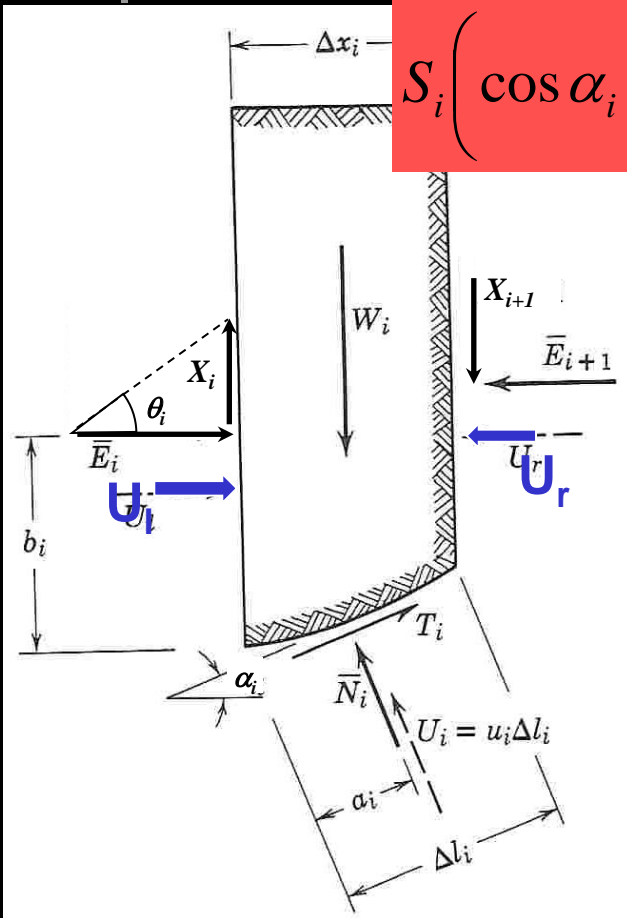
Lembrando que:

$$S_i = \bar{c}_i \Delta l_i + \bar{N}_i \tan \bar{\varphi}_i$$

$$S_i = \bar{c}_i \Delta l_i + \left( \frac{W_i}{\cos \alpha_i} - \frac{S_i \sin \alpha_i}{F \cos \alpha_i} - U_i \right) \tan \bar{\varphi}_i$$

$$S_i \left( 1 + \frac{1}{F} \frac{\sin \alpha_i}{\cos \alpha_i} \tan \bar{\varphi}_i \right) = \bar{c}_i \Delta l_i + \left( \frac{W_i}{\cos \alpha_i} - U_i \right) \tan \bar{\varphi}_i$$

# Processo de Bishop simplificado (equações resultantes)



$$S_i \left( \cos \alpha_i + \frac{\sin \alpha_i \tan \bar{\varphi}_i}{F} \right) = \bar{c}_i \Delta l_i \cos \alpha_i + (W_i - U_i \cos \alpha_i) \tan \bar{\varphi}_i$$

$$m_{\alpha_i} = \left( \cos \alpha_i + \frac{\sin \alpha_i \tan \bar{\varphi}_i}{F} \right)$$

$$\Delta l_i = \frac{\Delta x_i}{\cos \alpha_i}$$

$$S_i = [\bar{c}_i \Delta x_i + (W_i - u_i \Delta x_i) \tan \bar{\varphi}_i] / m_{\alpha_i}$$

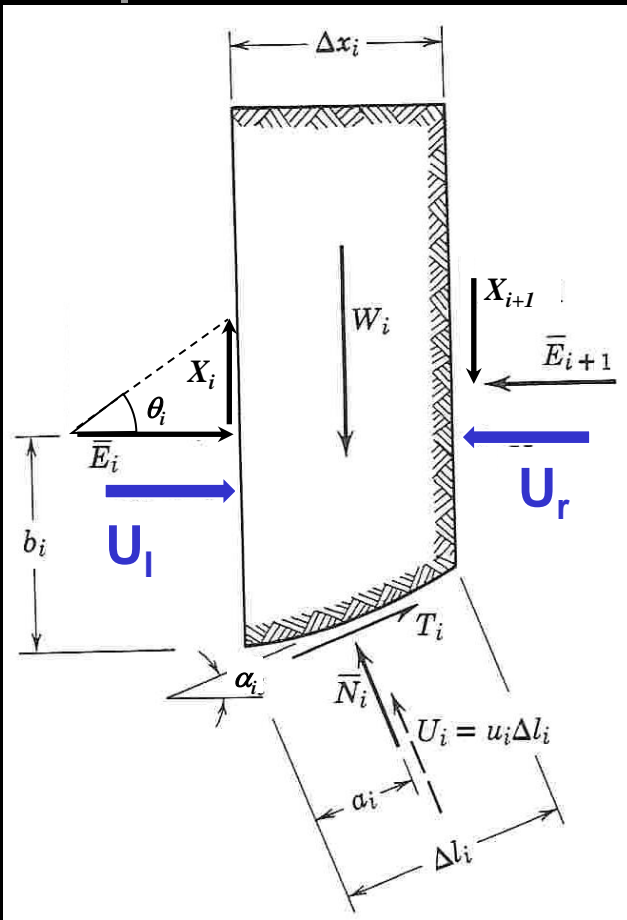
Lembrando que  
(slide 107):

$$F = \frac{\sum S_i}{\sum W_i \sin \alpha_i}$$

$$F = \frac{\sum [\bar{c}_i \Delta x_i + (W_i - u_i \Delta x_i) \tan \bar{\varphi}_i] / m_{\alpha_i}}{\sum W_i \sin \alpha_i}$$



# Comparação Fellenius x Bishop



$$F = \frac{\sum (\bar{c}_i \Delta l_i + \bar{N}_i \tan \bar{\varphi}_i)}{\sum W_i \sin \alpha_i}$$

**Geral**

$$F = \frac{\sum [\bar{c}_i \Delta x_i + (W_i \cos^2 \alpha_i - u_i \Delta x_i) \tan \bar{\varphi}_i] / \cos \alpha_i}{\sum W_i \sin \alpha_i}$$

**Fellenius**

$$F = \frac{\sum [\bar{c}_i \Delta x_i + (W_i - u_i \Delta x_i) \tan \bar{\varphi}_i] / m_{\alpha_i}}{\sum W_i \sin \alpha_i}$$

**Bishop**

$$m_{\alpha_i} = \left( \cos \alpha_i + \frac{\sin \alpha_i \tan \bar{\varphi}_i}{F} \right)$$

# Comparação dos processos de lamelas (pormenores)

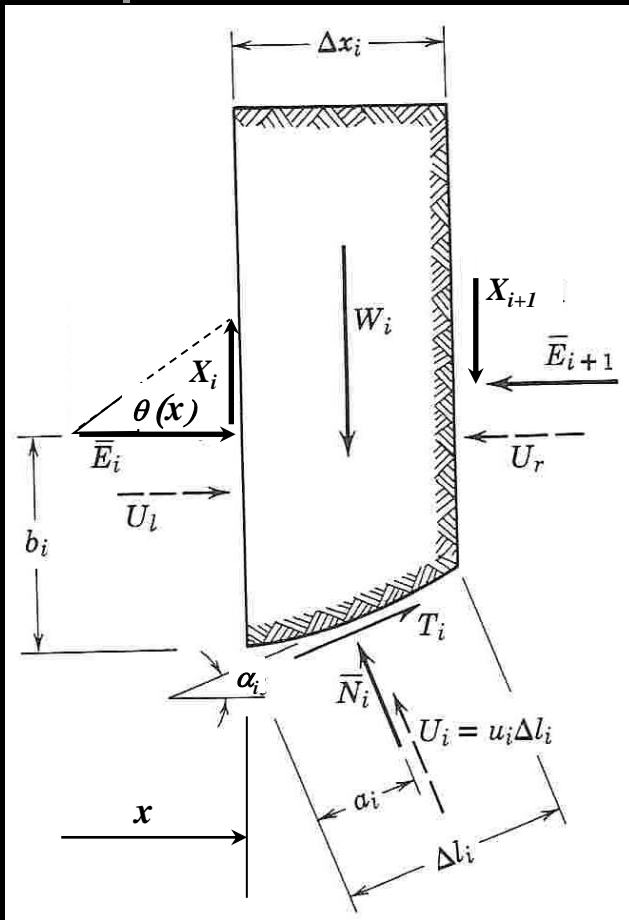
## ■ Semelhanças

- Todos fazem **equilíbrio em cada lamela** para estimar a **força normal na base**
- Todos fazem alguma hipótese simplificadora (umas mais realistas, outras menos) sobre as **forças nas faces laterais** das lamelas
- Todos escrevem uma ou mais **equações de equilíbrio de toda a massa** para estimar F

## ■ Diferenças

- F por equilíbrio de **momento** da massa, superfície circular
  - **Fellenius**: resultante das forças inter-lamelares é **paralela à base** da lamela (viola equilíbrio de uma lamela para a próxima)
  - **Bishop**: equilíbrio correto de cada lamela, com hipótese sobre relação entre componente normal e tangencial, mas muito trabalhoso
  - **Bishop simplificado**: **componentes verticais das forças inter-lamelares se equilibram na lamela**
- F por equilíbrio de **força horizontal** da massa, qualquer superfície
  - **Janbu**: similar ao Bishop simplificado, mas F determinado pelo equilíbrio de **forças na horizontal** para toda a massa
- F por equilíbrio de **momento e força horizontal** da massa, qualquer superfície
  - **Spencer**: **relação constante** (determinada na análise) entre componentes horizontal e vertical da força inter-lamelar
  - **Morgenstern-Price**: **relação variável** (admitida) entre componentes horizontal e vertical da força inter-lamelar

# Direção das forças interlamelares: variação



variação de  $\theta$  com  $x$

$$\theta_i = \theta(x_i)$$

$x$  = abscissa da interface  $i$

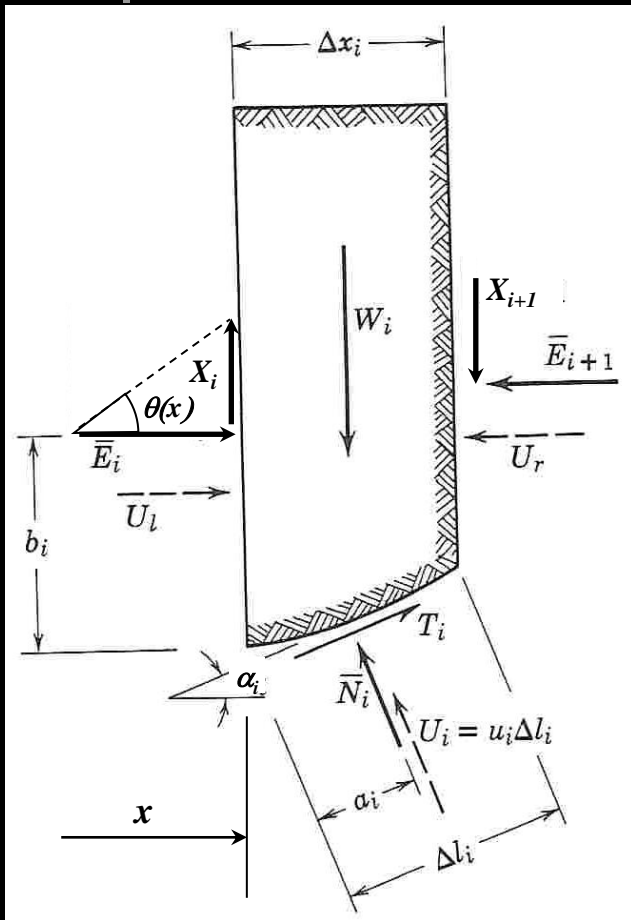
Pode-se escrever, então:

$$\theta(x) = \lambda f(x)$$

$f(x)$  é uma função (entre 0 e 1) que define somente a **forma** variação de  $\theta$  com  $x$

$\lambda$  é um escalar que define a **escala** dos valores de  $\theta(x)$

# Inclinação das forças interlamelares: expressão geral



$$\theta(x) = \lambda f(x)$$

variação de  $\theta$  com  $x$

$x =$  abscissa da interface  $i$

$\lambda$  e  $\theta(x)$  nos processos de lamelas usuais

- *Bishop simplificado:*

$$\lambda = 0, f(x) = 0$$

$\theta(x) = 0 \Rightarrow$  forças interlamelares verticais = 0

- *Spencer:*

$f(x) = 1$  e  $\lambda$  determinada pelo equilíbrio completo

$$\theta(x) = \lambda \text{ (constante)}$$

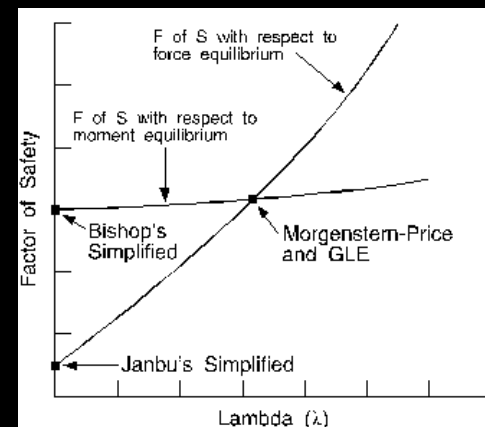
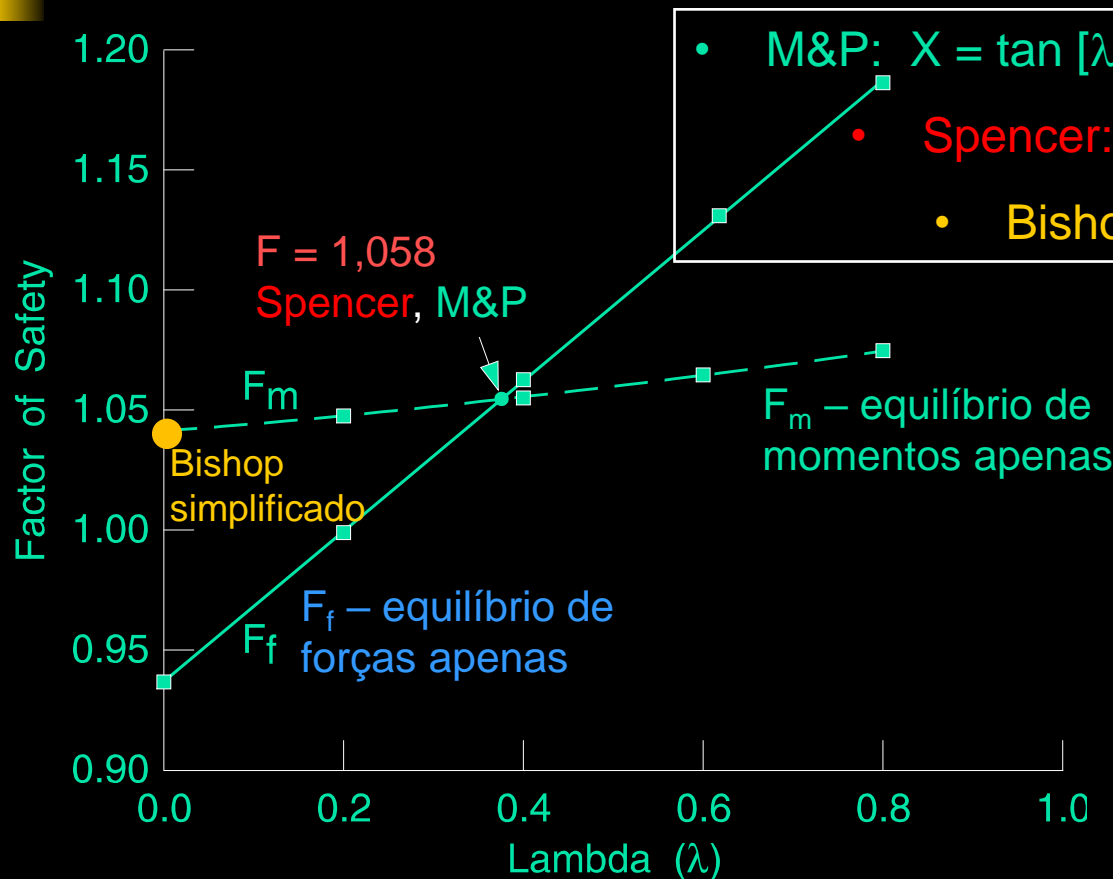
- *Morgenstern e Price:*

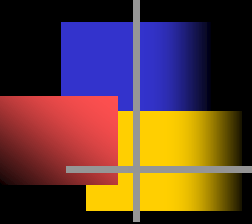
$f(x)$  escolhido entre 0 e 1 (meio seno frequente)

$\lambda$  determinada pelo equilíbrio completo

$$\theta(x) = \lambda f(x)$$

# Comparação dos resultados: M&P, Spencer, Bishop



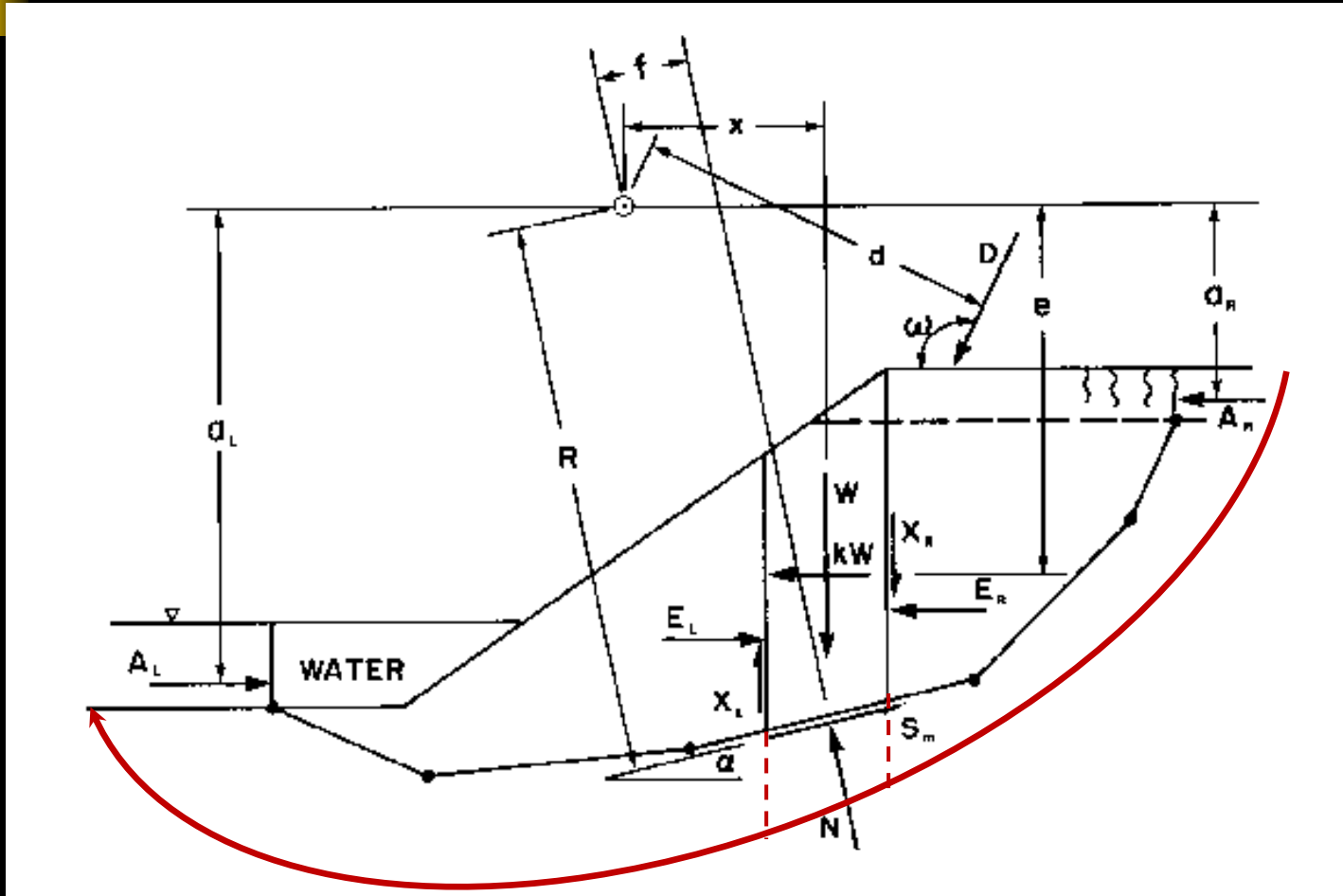


# Relação entre processos de cálculo

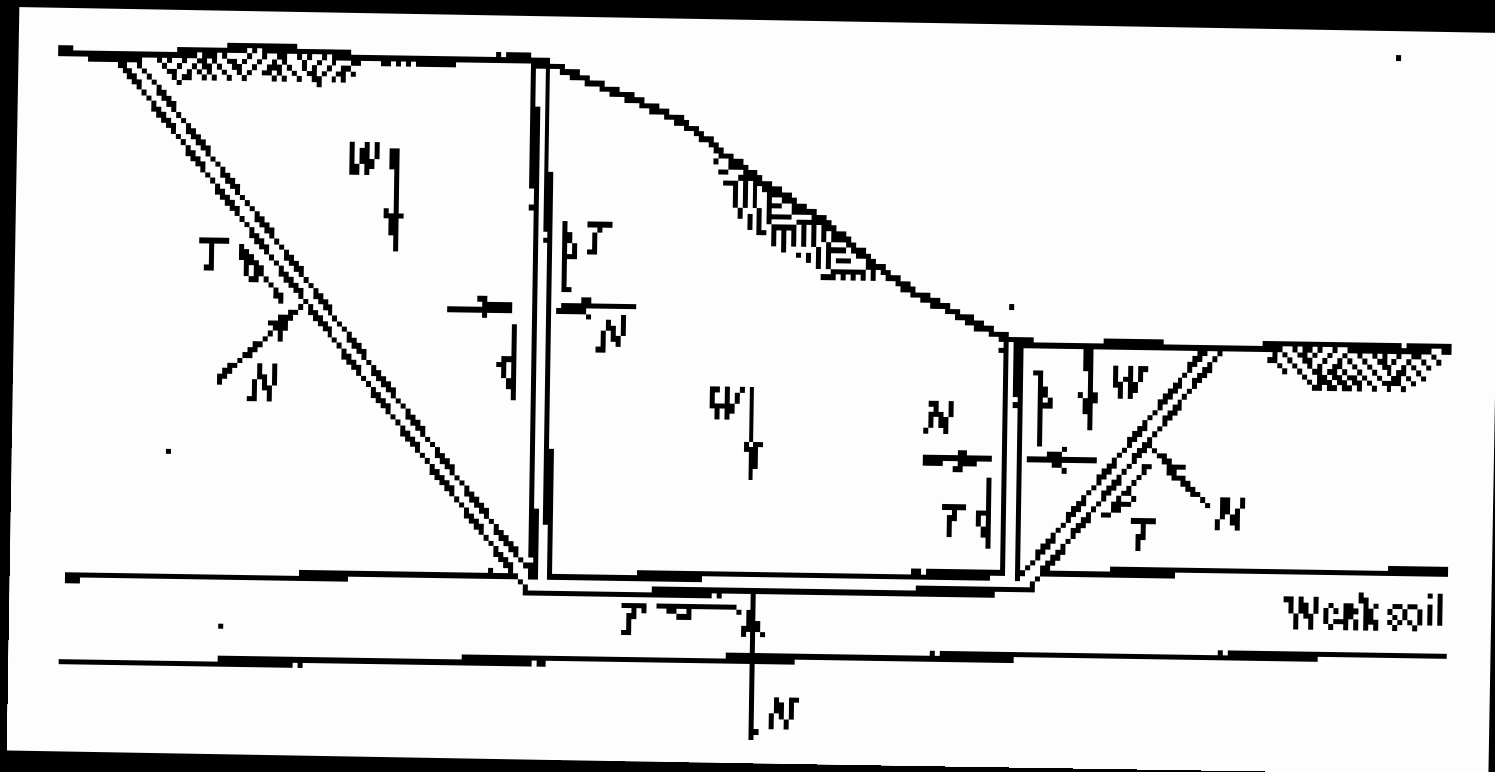
---

- Morgenstern & Price (M&P)
  - Spencer é caso particular de M&P
    - Bishop é caso particular de Spencer

# Forças em uma lamela: circunferência, superfície poligonal ou qualquer



# Processo das cunhas: caso particular de lamelas







# Parâmetros de Resistência

---

**Qual a resistência do solo a ser adotada?**

**Qual o ensaio mais adequado para estimar essa resistência?**

**Ensaio triaxiais?**

**CD, CU, UU?**

# Escolha do modelo de resistência

F  
A  
S  
E  
D  
E  
P  
R  
E  
P  
A  
R  
A  
C

- Como são as tensões efetivas no terreno antes das novas solicitações da obra? (aterro sobre solo mole, por exemplo)
  - Iguais à tensão de pré-adensamento
    - Solo normalmente adensado ( $OCR=1$ )
    - Envoltórias (Mohr-Coulomb) de ensaios CD e CU passam pela origem ( $c'=0$ ;  $c=0$ )
    - Envoltória (Tresca) de ensaios CU (ou UU) ( $s=s_u$ ;  $S_u = RR \times \sigma'_a$ ;  $\phi_u=0$ )
  - Inferiores à tensão de pré-adensamento (ou pré-compressão)
    - Solo sobre-adensado ( $OCR>1$ )
    - Nenhuma envoltória linear passa pela origem ( $c' \neq 0$ ;  $c \neq 0$ ;  $S_u$  é função de  $RR$  e de  $OCR$ )

F  
A  
S  
E  
D  
E  
R  
U  
P  
T  
U  
R  
A

- Como será a variação de tensões provocada pela obra? Velocidade da solicitação vs. velocidade de drenagem (critério de velocidade:  $c_v$ )
  - Lenta  $\approx$  drenagem plena
    - $OCR=1$ 
      - Envoltória de tensões efetivas (só  $\phi'$ ,  $c'=0$ )
    - $OCR>1$ 
      - Envoltória de tensões efetivas ( $c'$  e  $\phi'$ )
  - Rápida  $\approx$  drenagem restrita
    - Solo saturado: admite-se drenagem nula, a favor da segurança
      - $OCR=1$ 
        - Resistência não drenada associada à tensão de pré-adensamento  $s_u = RR \times \sigma'_a$ ; ou
        - Previsão de sobrepressões neutras + envoltória de tensões efetivas (só  $\phi'$ ,  $c'=0$ )
      - $OCR>1$ 
        - Resistência não drenada associada à tensão de pré-adensamento ( $s_u$  é função de  $RR$  e de  $OCR$ ); ou
        - Previsão de sobrepressões neutras + envoltória de tensões efetivas ( $c'$  e  $\phi'$ )
        - Atenção: compactação tem o efeito de conferir ao solo uma certa tensão de pré-adensamento
    - Solo não saturado: drenagem nula ou parcial
      - Envoltória de tensões totais ( $c$  e  $\phi$ , retilínea como aproximação de envoltória curva); ou
      - Envoltória de tensões totais com resistência variável em função da sucção ( $u_\sigma - u_w$ )

# Ensaaios triaxiais: nomenclatura

FASE	PREPARO ou ADENSAMENTO		RUPTURA ou CISLHAMENTO		ENSAIO			
	S	(Consolidated)	S	(Drained)	CD	(SS)	Adensado, drenado	Lento (S)
S	(Consolidated)	N	(Undrained)	CU	(SN)	Adensado, não drenado	Adensado-rápido (R)	
N	(Unconsolidated)	N	(Undrained)	UU	(NN)	Não adensado, não drenado	Rápido (Q)	

S = com drenagem

N = sem drenagem

# Ensaio triaxiais: nomenclatura

FASE	DRENAGEM		
PREPARO OU ADENSAMENTO	S ( <i>C</i> onsolidated)	S ( <i>C</i> onsolidated)	N ( <i>U</i> nconsolidated)
RUPTURA OU CISALHAMENTO	S ( <i>D</i> rained)	N ( <i>U</i> ndrained)	N ( <i>U</i> ndrained)
<b>ENSAIO</b>	<b>CD</b> (SS) Adensado, drenado  Lento (S)	<b>CU</b> (SN) Adensado, não drenado  Adensado-rápido (R)	<b>UU</b> (NN) Não adensado, não drenado  Rápido (Q)